

МІНІСТЕРСТВО ОСВІТИ І НАУКИ УКРАЇНИ  
КРИВОРІЗЬКИЙ НАЦІОНАЛЬНИЙ УНІВЕРСИТЕТ  
ФАКУЛЬТЕТ МЕХАНІЧНОЇ ІНЖЕНЕРІЇ ТА ТРАНСПОРТУ  
КАФЕДРА ТЕХНОЛОГІЇ МАШИНОБУДУВАННЯ

**КВАЛІФІКАЦІЙНА МАГІСТЕРСЬКА РОБОТА**

зі спеціальності 131 – Прикладна механіка

на тему: Підвищення ефективності виробництва вузлів опорних бурових верстатів за рахунок використанням CAD/CAM технологій в проектуванні технологічного процесу виготовлення шпинделя.

Виконав: магістрант  
групи ПМ-23м  
Ковалевський А.В.

Керівник КМР:  
к.т.н., доцент  
Цивінда Н.І.

Кривий Ріг  
2024 р.

МІНІСТЕРСТВО ОСВІТИ І НАУКИ УКРАЇНИ  
КРИВОРІЗЬКИЙ НАЦІОНАЛЬНИЙ УНІВЕРСИТЕТ  
ФАКУЛЬТЕТ МЕХАНІЧНОЇ ІНЖЕНЕРІЇ ТА ТРАНСПОРТУ  
КАФЕДРА ТЕХНОЛОГІЇ МАШИНОБУДУВАННЯ

**ПОЯСНЮВАЛЬНА ЗАПИСКА  
ДО КВАЛІФІКАЦІЙНОЇ МАГІСТЕРСЬКОЇ РОБОТИ**

зі спеціальності 131 – Прикладна механіка

на тему: Підвищення ефективності виробництва вузлів опорних бурових верстатів за рахунок використання CAD/CAM технологій в проектуванні технологічного процесу виготовлення шпинделя.

Виконав магістрант гр. ПМ-23м

\_\_\_\_\_ Ковалевський А.В.  
(підпис)

Керівник КМР

\_\_\_\_\_ Цивінда Н.І.  
(підпис)

Нормоконтроль

\_\_\_\_\_ Нечаєв В.П.  
(підпис)

Завідувач кафедри

\_\_\_\_\_ Рязанцев А.О.  
(підпис)

м. Кривий Ріг  
2024 р.

Криворізький національний університет  
Факультет: механічної інженерії та транспорту  
Кафедра: технології машинобудування  
Ступінь вищої освіти: магістр  
Спеціальність: 131 Прикладна механіка  
Освітньо-професійна програма: Технології машинобудування

Затверджую  
Зав. кафедри, доцент, к.т.н., Рязанцев А.О.

---

(підпис)

---

(дата)

### **ЗАВДАННЯ** на кваліфікаційну магістерську роботу

Магістранта гр. ПМ-23м Ковалевського Артема Володимировича

**1. Тема:** Підвищення ефективності виробництва вузлів опорних бурових верстатів за рахунок використання CAD/CAM технологій в проектуванні технологічного процесу виготовлення шпинделя.

**2. Керівник КМР:** доц., к.т.н. Цивінда Н.І.  
Затверджена наказом по КНУ № 858с від «18» 09 2024 р.

**3. Термін подання магістрантом закінченої роботи** 06.12.2024р.

**4. Вихідні дані до роботи:** 1. Креслення вузла. 2. Креслення деталі «Шпиндель». 3. Річна програма випуску деталей

**5. Зміст пояснювальної записки:** 1. Проектування технологічного процесу складання. 2. Техніко-економічний аналіз вихідних даних. 3. Проектування технологічного процесу. 4. Техніко-економічне обґрунтування варіантів обробки. 5. Розробка РТК. 6. Проектування технологічного оснащення 7. Наукова частина

**6. Перелік графічного матеріалу:** 1. Складальне креслення. 2. Шпиндель. 3. Шпиндель (поковка). 4. Ескізи операцій. 5. Верстатно-інструментальне налагодження. 6. Верстатне пристосування. 7. Контрольне пристосування. 8. Наукова частина.

## 6. Консультанти розділів роботи

Розділ	Прізвище, ініціали та посада консультанта	Підпис, дата	
		Завдання видав	Завдання прийняв
Організаційно-економічна підготовка виробництва	Цивінда Н.І. к.т.н., доцент		

## 7. Календарний план:

Розділи пояснювальної записки	Термін виконання
1 Розробка та узгодження технічного завдання	12.09.2024
2 Проектування технологічного процесу складання	28.09.2024
2.1 Службове призначення виробу	05.10.2024
3 Техніко-економічний аналіз вихідних даних	15.10.2024
4 Проектування технологічного процесу обробки деталі	18.10.2024
5 Розробка РТК	23.10.2024
6 Проектування технологічного оснащення	06.11.2024
7 Техніко-економічне обґрунтування варіантів маршруту технологічного процесу	16.11.2024
Наукова частина	17.11.2024
Висновки	20.11.2024
Додатки	20.11.2024
Попередній захист	21.11.2024

Дата видачі завдання: « \_\_\_\_ » \_\_\_\_\_ 2024 р.

Завдання видав керівник  
кваліфікаційної магістерської роботи \_\_\_\_\_ / Цивінда Н.І./

Завдання отримав  
магістрант \_\_\_\_\_ /Ковалевський А.В./

## РЕФЕРАТ

Об'єктом проектування є технологічний процес для виготовлення деталі шпиндель.

Мета роботи: підвищити ефективність виробництва за рахунок розробки прогресивного технологічного процесу механічної обробки шпинделя з використанням CAD/CAM технологій. Для цього було проєктоване та розраховане пристосування для обробки деталі та контролю параметрів заданих технічними умовами. По заданій річній програмі  $N_p=2000$  шт. визначений серійний тип виробництва, розроблений маршрутний, операційний, технологічний процес, обрано обладнання і різальний інструмент, розраховані й вибрані припуски на обробку, режими різання.

В результаті проведеного техніко-економічного аналізу, показана ефективність розробленого варіанту технологічного процесу в порівнянні з базовим.

БУРОВИЙ ВЕРСТАТ, ВУЗОЛ ОПОРНИЙ, ШПИНДЕЛЬ,  
ТЕХНОЛОГІЧНИЙ ПРОЦЕС, ОСНАЩЕННЯ, НОРМУВАННЯ,  
ТЕХНОЛОГІЧНА ДОКУМЕНТАЦІЯ

## ABSTRACT

The design object is a technological process for the manufacture of spindle parts.

The purpose of the work: to increase the efficiency of production due to the development of a progressive technological process of mechanical processing of the spindle using CAD/CAM technologies. For this, a device was designed and calculated for processing the part and controlling the parameters specified by the technical conditions. According to the given annual program  $N_p=2000$  pieces. the serial type of production is determined, the routing, operational, technological process is developed, the equipment and cutting tool are selected, the allowances for processing are calculated and selected, cutting modes.

As a result of the technical and economic analysis, the efficiency of the developed variant of the technological process in comparison with the basic one is shown.

DRILL MACHINE, SUPPORT UNIT, SPINDLE, TECHNOLOGICAL  
PROCESS, EQUIPMENT, STANDARDIZATION, TECHNOLOGICAL  
DOCUMENTATION

					КНУ.КМР.131.24.1-09.Р			
Змн.	Арк.	№ докум.	Підпис	Дата				
Розроб.		Ковалевський			РЕФЕРАТ	Літ.	Арк.	Акрушів
Перевір.		Пивінла						
Н. Контр.		Нечаєв						
Зав. каф.		Рязанцев						
						Каф. ТМ, гр.ПМ-23м		

Формат	Зона	Лист	Обозначение	Наименование	Кол.	Примечание
<i>Документація</i>						
A4	1	КНУ.КМР.131.24.1-09.ПЗ	Пояснювальна записка			
<i>Графічна частина</i>						
A1	2	КНУ.КМР.131.24.1-09.КС	Креслення складальних розмірних ланцюгів	1		
A3	3	КНУ.КМР.131.24.1-09.КШ	Креслення шпинделя	1		
A3	4	КНУ.КМР.131.24.1-09.КШП	Креслення шпинделя (поковка)			
A1	5	КНУ.КМР.131.24.1-09.КЕ	Креслення ескізів операцій	2		
A1	6	КНУ.КМР.131.24.1-09.КІН	Креслення інструментального налагодження	1		
A1	7	КНУ.КМР.131.24.1-09.КВП	Креслення верстатного пристосування	1		
A4	8	КНУ.КМР.131.24.1-09.ПП	Пристосування для перевірки ширини шпоночного пазу	1		
<b>КНУ.МВР.131.24.1-09.В0</b>						
Изм. Лист		№ док.м.		Подп.	Дата	
Разраб. Проб.		Ковалевський Цивинда				
Н.контр. Утв.		Нечаєв Рязанцев				
<b>ВІДОМІСТЬ ОБ'ЄМУ КМР</b>				Лит. \N\	Лист 1	Листов 2
<b>КМР</b>				Каф. ТМ гр. ПМ-23м		

Копировал

Формат А4

## ЗМІСТ

Стор.

	Вступ	
1	Проектування технологічного процесу складання вузла	
1.1	Призначення та умови роботи машини	
1.2	Виявлення та розрахунок лінійних та кутових розмірних ланцюгів	
1.3	Технологічний процес складання	
2.	Техніко-економічний аналіз вихідних даних проекту	
2.1	Службове призначення деталі. Вибір матеріалу і варіантів замін.	
2.2.	Аналіз якості поверхонь деталі.	
2.3.	Технічний контроль робочого креслення.	
2.4	Аналіз технологічності деталі.	
2.5	Вибір типу виробництва . Задачі проектування.	
3	Проектування технологічного процесу	
3.1	Вибір, техніко-економічне обґрунтування й проектування заготовок.	
3.2.	Проектування кування.	
3.3.	Техніко-економічне обґрунтування методу одержання заготовок.	
3.4.	Вибір і обґрунтування баз	
3.5	Вибір і обґрунтування послідовності обробки поверхонь.	
3.6	Розробка маршруту обробки деталі.	
3.7	Розробка технологічних операцій	
3.8	Розрахунок міжопераційних розмірів і припусків на обробку	
3.9	Вибір міжопераційних розмірів і припусків на обробку	
3.10	Розрахунок і вибір режимів різання, нормування технологічних операцій	
4	Техніко-економічне обґрунтування варіантів маршруту технологічного процесу	
6	Розробка розрахунково-технологічної карти та керуючої програми на верстат з ЧПК.	
6	Проектування технологічного оснащення	
7	Науково-дослідна частина	
	Список використаних джерел	
	Висновки	
	Додатки	

					КНУ.КМР.131.24.1-09.3									
Змн.	Арк.	№ докум.	Підпис	Дата	ЗМІСТ					Літ.	Арк.	Аркушів		
Розроб.		Ковалевський												
Перевір.		Пивінла												
Н. Контр.		Нечаєв								Каф. ТМ, гр.ПМ-23м				
Зав. каф.		Рязанцев												

## ВСТУП

Машинобудування, що забезпечує продукцією всі галузі народного господарства, визначає рівень технічного прогресу й впливає на створення матеріально-технічної бази. У зв'язку із цим розвитку машинобудування надається першорядне значення. Одним з факторів, що підвищує рівень машинобудування є розробка прогресивних технологічних процесів.

Виходячи із цього я обрав актуальне питання підвищення ефективності виробництва вузлів бурового верстату за рахунок використання САД/САМ технологій в проектуванні технологічного процесу виготовлення шпинделю. Для цього був проведений конструкторський аналіз розмірних ланцюгів, обраний метод складання, який визначив точність виготовлення деталі шпиндель. На базовому підприємстві виготовляється буровий верстат з виготовленням комплектуючих деталей.

В проекті розробляються прогресивний технологічний процес обробки деталі шпиндель в умовах серійного виробництва, (програма випуску деталей по 2000 тис. шт.). Технологічний процес спроектований під прогресивні технології виготовлення деталей, із застосуванням продуктивного устаткування з ЧПУ.

Заготовка обрана з урахуванням техніко-економічного аналізу.

На деталь розраховані припуски й лінійні розміри, що враховують досягнення кінцевої точності розміру з мінімальною собівартістю, а так само призначені прогресивні режими різання й здійснене нормування технологічного процесу виготовлення деталей.

В роботі розглянуті довготривалі спостереження за роботою бурових установок у різних гірничо-геологічних та кліматичних умовах, а також низка досліджень і змін у коментарях, пропозиціях і побажаннях гірничих підприємств, що дозволили покращити конструкцію установок. Під час буріння вибухових свердловин у складних структурних масивах гірських порід однією з основних недоліків методу буріння за допомогою роликів конусів є збільшена вібрація бурового струни, що змушує операторів працювати в режимах, які нижчі за ті, що зазначені в паспорті установки.

В альбомі технологічних карт наведені маршрутні та операційні карти для деталей.

					КНУ.КМР.131.24.1-09.В			
<i>Змн.</i>	<i>Арк.</i>	<i>№ докум.</i>	<i>Підпис</i>	<i>Дат</i>				
<i>Розроб.</i>		Ковалевський			ВСТУП	<i>Лім.</i>	<i>Арк.</i>	<i>Аркуше</i>
<i>Перевір.</i>		Пивінла						
<i>Н. Контр.</i>		Нечаєв				Каф. ТМ, гр.ПМ-23м		
<i>Зав. каф.</i>		Рязанцев						



# 1 ПРОЕКТУВАННЯ ТЕХНОЛОГІЧНОГО ПРОЦЕСУ СКЛАДАННЯ ВУЗЛА

## 1.1 Призначення та умови роботи машини

Деталь шпindelь входить до складу Опорного вузла, який в свою чергу входить до складу верстату СБШ-250МНА-32 (рис.1.1)

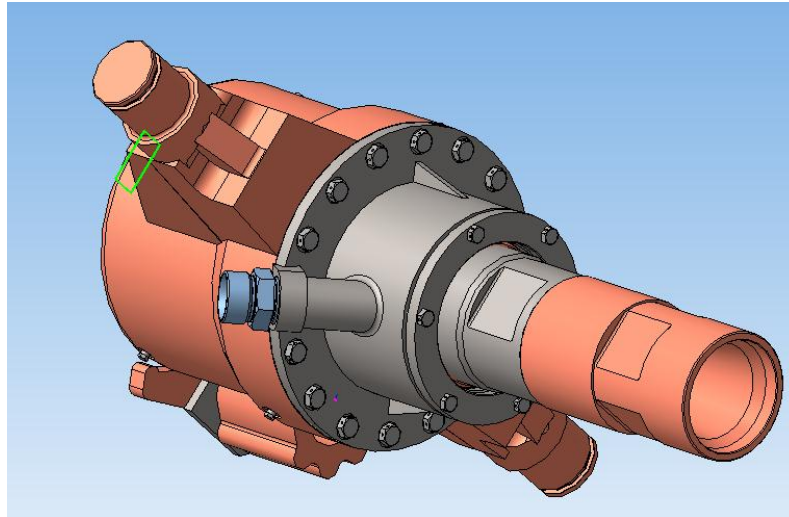


Рисунок 1.1- Вузол опорний верстату СБШ-250МНА-32 (3D)

Верстат буровий шарошечний призначений для буріння вертикальних і похилих (15 град. і 30 град. до вертикалі) вибухових свердловин при видобутку корисних копалин відкритим способом і інших буропідривних робіт.

Вузол опорний призначений для передачі осьового зусилля і крутного моменту, при бурінні на долото, а також підведення легко-водяної суміші для охолодження долота і очищення свердловини. Передача осьового зусилля при бурінні відбувається в наступній послідовності: з траверси на підшипник, шпindelь і далі на буровий снаряд і долото.

					КНУ.КМР.131.24.1-09.01.ПТПС			
Змн.	Арк.	№ докум.	Підпис	Дата				
Розроб.		Ковалевський			ПРОЕКТУВАННЯ ТЕХНОЛОГІЧНОГО ПРОЦЕСУ СКЛАДАННЯ ВУЗЛА	Літ.	Арк.	Акрушів
Перевір.		Пивінла						
Н. Контр.		Нечаєв			Каф. ТМ, гр.ПМ-23м			
Зав. каф.		Рязанцев						

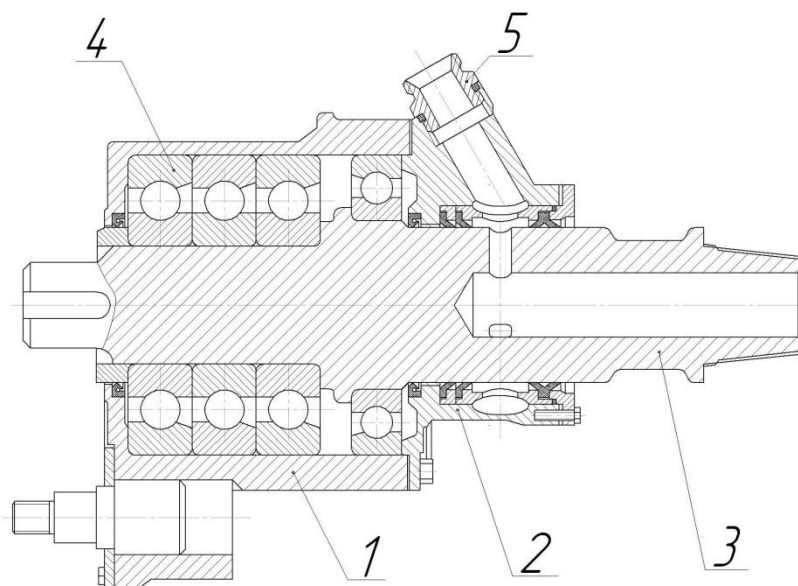


Рисунок 1.2 – Вузол опорний (схема): 1 – траверса, 2 – корпус сальника, 3 – шпindelь, 4 – підшипники, 5 - перехідник

## 1.2 Виявлення та розрахунок лінійних та кутових розмірних ланцюгів

Для визначення методу складання розраховуємо лінійні та кутові розмірні ланцюги.

### 1.2.1 Виявлення та розрахунок лінійних розмірних ланцюгів

Розглянемо вузол опорний та виділимо лінійний розмірний ланцюг А, що представлений на рисунку 1.3.

					КНУ.КМР.131.24.1-09.01.ПТПС	Арк.
Змн.	Арк.	№ докум.	Підпис	Дата		





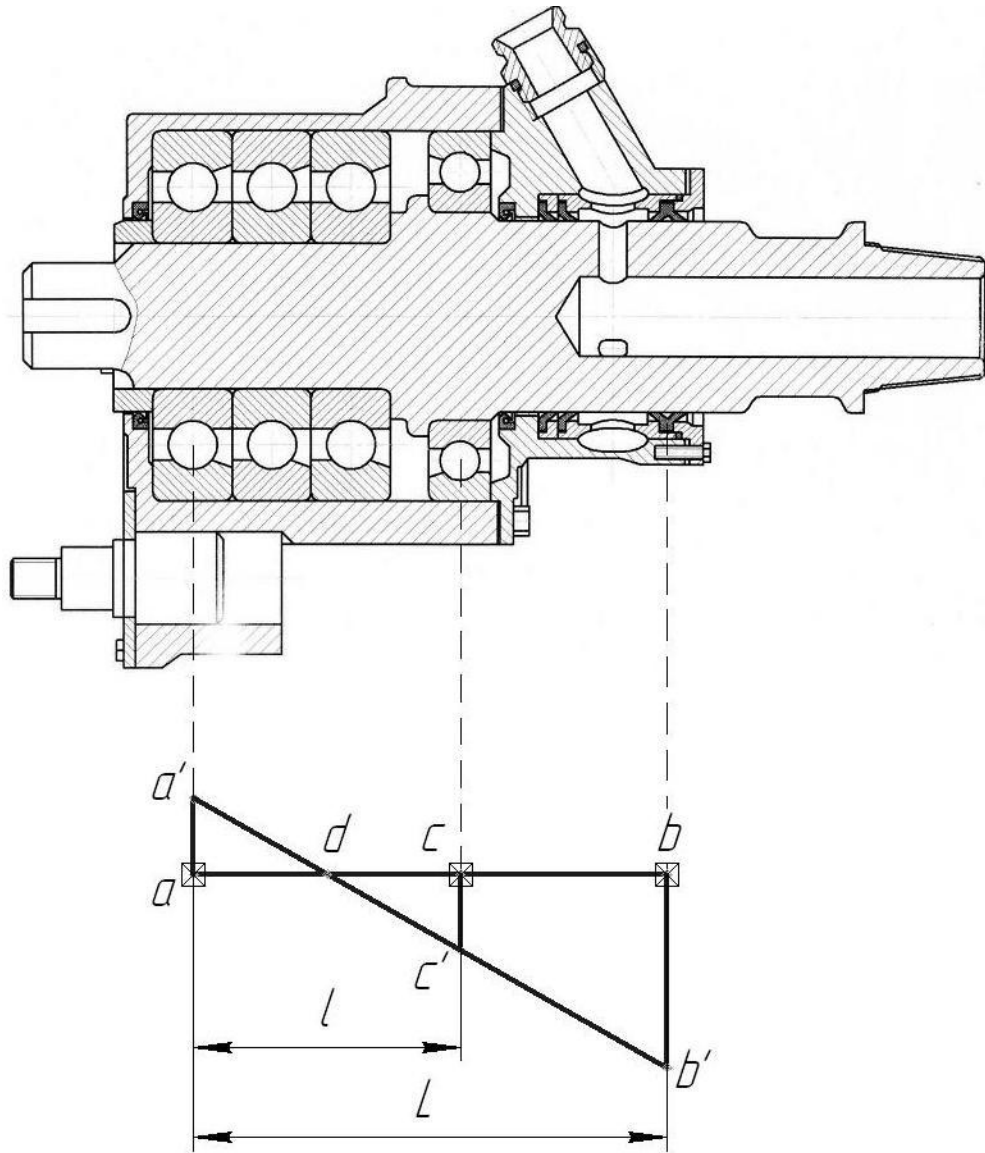


Рисунок 1.5 – Схема для визначення кута та величини перекосу шпинделя

де  $aa' = cc' = G_{\text{РАД}} = 75 \text{ мкм}$  – радіальний зазор [10],  $l = 290 \text{ мм}$  – відстань між підшипниками,  $L = 315 \text{ мм}$  – вильот шпинделя за межі траверси.

Кут перекосу вала:

$$\alpha = \arctg\left(\frac{2G_{\text{РАД}}}{l}\right) \quad (1.7)$$

де  $G_{\text{РАД}}$  – максимальний радіальний зазор у підшипнику,  $l$  – відстань між підшипниками ковзання.

$$\alpha = \arctg\left(\frac{2 \cdot 0,075}{290}\right) = 0,02963 \approx 1'46''$$

З умови подібностей трикутників  $aa'd$  та  $dbb'$  визначимо радіальне зміщення кінця шпинделя у зоні гумового ущільнення:

$$bb' = \frac{aa' \cdot (2L - l)}{l} = \frac{0,075 \cdot (2 \cdot 315 - 290)}{290} = 0,088 \text{ мм} \quad (1.8)$$

Отже, допуск на радіальне зміщення кінця шпинделя у зоні гумового ущільнення приблизно становить  $0,09 \text{ мм} (\pm 0,045 \text{ мм})$ .

Змн.	Арк.	№ докум.	Підпис	Дата



Таблиця 1.2 – Технологічний процес складання Вузла опорного

№	Зміст переходу	Пристосування	Інструмент	T <sub>очн</sub> , хв.
1	Розмістити манжету поз.17 у траверсі поз.2	-	-	0,1
2	Напресувати 3 підшипники поз. 19 на шпindel ь поз.1	Підйомник, прес	-	0,42
3	Напресувати підшипник поз. 18 на шпindel ь поз.1	Підйомник, прес	-	0,14
4	Завести складальну одиницю Шпindel ь у траверсу	Підйомник, прес	-	0,3
5	Розмістити кільце поз. 9 у корпусі сальника поз.5	-	-	0,1
6	Розмістити втулку поз. 6 у корпусі сальника поз.5	-	-	0,1
7	Розмістити воротник поз. 7 у корпусі сальника поз.5	-	-	0,1
8	Пригвинтити кришку поз.8 шістьма болтами поз. 15	-	Ключ торцевий	6
9	Насадити кільце поз.11 на проходник поз.4	-	-	0,1
10	Загвинтити перехідник у корпус сальника	-	Ключ рожковий	1,2
11	Розмістити манжету поз. 17 у траверсі	-	-	0,1

					КНУ.КМР.131.24.1-09.01.ПТПС	Арк.
Змн.	Арк.	№ докум.	Підпис	Дата		

Змін.	Арк.	Таблиця 1.2-Розрахунок кутового розмірного ланцюга							
		Зображення розмірного ланцюга.			Визначення похибки		Рівняння для розрахунку	Значення	
№ докum.				1. Відносний зсув		$l_{\Sigma} = \sqrt{0.36 * \Sigma T_{si}^2 + 0.85 * \Sigma l_j^2}$	0,098		
				2. Відносний перекіс		$P_{\Sigma} = \frac{L}{l} * l_{\Sigma}$	0,057		
Підпис	Величини вхідні в розмірний ланцюг.								
	Пов.	Найменування поверхні		Розмір	Зазор	Величина	$T_i$	$K_i$	$\alpha_i$
КНУ.КМР.131.24.1-09.01.ПТПС	1	Вісь стакану		-	S <sub>1</sub>	0	0	1.22	0.1
	2	Розточення стакану		Ø62					
	3	Зовнішній діаметр стакану		Ø80n6 <sup>(+0,039 / +0,020)</sup>					
	4	Діаметр внутрішнього кільця підшипника		Ø80H7 <sup>(+0,030)</sup>	S <sub>2</sub>	0.103	0.103		
	5	Діаметр зовнішнього кільця підшипника		Ø125h7 <sup>(-0,040)</sup>					
	6	Діаметр розточення корпусу		Ø125H8 <sup>(+0,063)</sup>					
	7	Діаметр розточення корпусу		Ø125H8 <sup>(+0,063)</sup>	S <sub>3</sub>	0	0		
	8	Діаметр зовнішнього кільця підшипника		Ø125h7 <sup>(-0,040)</sup>					
	9	Діаметр внутрішнього кільця підшипника		Ø80H7 <sup>(+0,030)</sup>					
	10	Зовнішній діаметр стакану		Ø80n6 <sup>(+0,039 / +0,020)</sup>	S <sub>4</sub>	0.103	0.103		
	11	Розточення стакану		Ø62					
	12	Вісь стакану		-					
Арк.									



Таблиця 1.3- Розрахунок розмірного ланцюга методом максимуму - мінімуму

Схема розмірного ланцюга		Вихідні дані			Розрахункові величини		
Позначення ланки	Номинальний розмір	i	Квалітет	Допуск	Розмір з відхиленням	$\Delta C_i$	
	$\bar{A}_1$	86	2,17	12	350	$86(\pm 0,175)$	0
	$\bar{A}_2$	22	1,31	12	210	$22(-0,210)$	0,10 5
	Розрахунок розмірного ланцюга.	$\bar{A}_3$	37	1,56	12	250	$37(-0,250)$
$\bar{A}_1$ - глибина розточення в корпусі	$\bar{A}_4$	22	1,31	12	210	$22(-0,210)$	0,10 5
$\bar{A}_2$ - ширина підшипника	$\bar{A}_5$	6	0,73	12	120	$6(-0,120)$	0,06 0
$\bar{A}_3$ - довжина втулки	$\bar{A}_6$	1	0,55	12	100	$1(-0,253)$ $(-0,353)$	0,30 3
$\bar{A}_4$ - ширина підшипника		$\Sigma i = 7,63$					
$\bar{A}_5$ - довжина обточування кришки	$\bar{A}_\Sigma$	0,95			1500	$0,95(\pm 0,75)$	0
$\bar{A}_6$ - товщина прокладки	$\bar{\beta}_2$	86		10	100		50
$\bar{\beta}_2$ - торцеве биття розточення в корпусі	$\bar{\beta}_4$	1		10	25		12,5
$\bar{\beta}_4$ - торцеве биття прокладки	$\bar{\beta}_8$	22		10	25		12,5
$\bar{\beta}_8$ - торцеве биття підшипника	$\bar{\beta}_{10}$	37		10	60		30
$\bar{\beta}_{10}$ - торцеве биття втулки	$\bar{\beta}_{12}$	22		10	25		12,5
$\bar{\beta}_{12}$ - торцеве биття підшипника					$T_\Sigma = 1475$		

КНУ.КМР.131.24.1-09.01.ПТПС

Арк.

Змін.	Таблиця 1.4 – Розрахунок розмірного ланцюга теоретико-імовірнісним методом									
Арк.	Призначення розмірного ланцюга	Забезпечення зазору між торцем підшипника й кришкою	Значення вихідної ланки	$A_{\Sigma} = 0,95 \pm 0,75$						
№ докум.	Схема розмірного ланцюга		Вихідні дані			Розрахункові величини				
Підпис			Позначення ланки	Номинальний розмір	i	Квалітет	Допуск	Розмір з відхиленням	$\Delta C_i$	
Дата			$\bar{A}_1$	86	2,17	14	870	$86(\pm 0,435)$	0	
			$\bar{A}_2$	22	1,31	13	330	$22(-0,330)$	-0,165	
	Розрахунок розмірного ланцюга.		$\bar{A}_3$	37	1,56	14	620	$37(-0,620)$	-0,310	
КНУ. КМР. 131.24.1-09.01.ПТПС	$\bar{A}_1$ - глибина розточення в корпусі		$\bar{A}_4$	22	1,31	13	330	$22(-0,330)$	-0,165	
	$\bar{A}_2$ - ширина підшипника		$\bar{A}_5$	6	0,73	14	300	$6(-0,300)$	-0,150	
	$\bar{A}_3$ - довжина втулки		$\bar{A}_6$	1	0,55	14	250	$1(-0,327)$ $-0,577$	-0,452	
	$\bar{A}_4$ - ширина підшипника				$\Sigma i^2 = 11,41$					
	$\bar{A}_5$ - довжина обточування кришки		$\bar{A}_{\Sigma}$	0,95			1500	$0,95(\pm 0,75)$	0	
	$\bar{A}_6$ - товщина прокладки		$\bar{\beta}_2$	86		12	200		100	
	$\bar{\beta}_2$ - торцеве биття розточення в корпусі		$\bar{\beta}_4$	1		12	40		20	
	$\bar{\beta}_4$ - торцеве биття прокладки		$\bar{\beta}_8$	22		11	25		12,5	
	$\bar{\beta}_8$ - торцеве биття підшипника		$\bar{\beta}_{10}$	37		12	80		40	
	$\bar{\beta}_{10}$ - торцеве биття втулки		$\bar{\beta}_{12}$	22		11	25		12,5	
$\bar{\beta}_{12}$ - торцеве биття підшипника						$T_{\Sigma}$				
Арк.										

## 2 ТЕХНІКО-ЕКОНОМІЧНИЙ АНАЛІЗ ВИХІДНИХ ДАНИХ ПРОЕКТУ

### 2.1 Службове призначення деталі. Вибір матеріалу та варіантів замін

За способом буріння всі бурові верстати й установки поділяються на обертальні, ударні, комбіновані та вібраційні.

Залежно від типу обертача бурові установки поділяють на шпindelьні, роторні та з рухомим обертачем. У шпindelьних верстатах за допомогою затискних патронів ведучу трубу закріплюють в шпindelі, а її обертання і подачу здійснюють безпосередньо шпindelем. Це дозволяє обертачем створювати осьове навантаження на породоруйнівний інструмент. Шпindelьний обертач знаходить найбільше застосування в установках для алмазного буріння свердловин малого діаметра, в геологічних розрізах, складених твердими і середньої твердості гірськими породами.

Переваги шпindelьного обертача – компактність і простота конструктивної ув'язки шпindelя з механізмом подачі, а також можливість буріння свердловини під різними кутами до горизонту.

Технологічні можливості шпindelьного обертача повністю задовольняють вимоги колонкового буріння в твердих породах: нарощування бурильних колон без відриву снаряда від забою підвищує ресурс алмазних коронок і збільшує вихід керна; незначні витрати робочого часу на перекріплювання патронів і нарощування снаряда збільшує швидкість буріння. Основний недолік шпindelьного обертача – невелика довжина ходу подачі (0,5–0,6 м). Необхідність частих перекріплювань патронів при бурінні м'яких гірських порід істотно знижує швидкість буріння і зменшує відсоток виходу керна.



Рисунок 2.1-Шпindelь

					КНУ.КМР.131.24.1-09.02.ТЕА		
Змн.	Арк.	№ докум.	Підпис	Дат			
Розроб.		Ковалевський			Літ.	Арк.	Акрушів
Перевір.		Пивінла					
Н. Контр.		Нечаєв			Каф. ТМ, гр.ПМ-23м		
Зав. каф.		Рязанцев					
ТЕХНІКО-ЕКОНОМІЧНИЙ АНАЛІЗ ВИХІДНИХ ДАНИХ ПРОЕКТУ							

Для виготовлення шпинделя використана сталь 40Х ДСТУ 7806:2015.  
Замінники - сталь: 45Х, 38ХА, 40ХН, 40 ХС, 40ХФ, 40ХР.

Таблиця 2.1- Хімічний склад в % (40Х ДСТУ 7806:2015)

C	Si	Mn	Cr	Ni	Cu	S	P
0.36÷0.44	0.17÷0.37	0.50÷0.80	0.80÷1.10	Не більше			
				0.30	0.30	0.035	0.035

Таблиця 2.2 - Механічні властивості

ДСТУ	Стан поставки термообробка.	Перетин у мм.	КП.	$\sigma_{02}$	$\sigma_B$	$\delta_5$	$\psi$	НВ		
				МПа		%				
				Не менш					Не більше	
1	2	3	4	5	6	7	8	9	10	
ДСТУ 7806: 2015	Пруток, загартування 860 <sup>0</sup> С масло. Відпустка 500 <sup>0</sup> С вода.	25	-	780	980	10	45			-
ДСТУ ГОСТ 8479-70	Кування: нормалізація	500-800 300-500	245 275	245 275	470 530	15 15	30 32			143-179 156-197
	Загартування; відпустка	500-800	275	275	530	13	30			156-197
	Нормалізація	До100 100-300	315	315	570	17 14	38 35			167-207
	Загартування; відпустка	300-500 500-800	315	315	570	12 11	30 30			167-207
	Нормалізація	До 100		345		18	45			174-217
	Загартування, відпустка.	100-300 300-500	345	345	590	17 14	40 38			
		До 100	395	395	615	17	45			187-229
		100-300 300-500				15 13	40 35			
		До 100	440	440	635	16	45			197-235
		100-300				14	40			
	До 100	490	490	655	16	45			212-248	
	100-300				13	40				

Термічну обробку деталі шпиндель роблять неодноразово.

Перша термічна обробка робиться після кування. У цьому випадку деталь піддається відпалюванню для зняття залишкових напруг після кування.

										Арк.
Змн.	Арк.	№ докум.	Підпис	Дата	КНУ.КМР.131.24.1-09.02.ТЕА					

Залишкові напруги можуть викликати зміни розмірів, жолоблення й повідцеві деталі в процесі її наступної обробки різанням, експлуатації або зберігання. При різанні, за рахунок видалення частини металу відбувається порушення рівноваги залишкових напруг, що тягнуть за собою деформацію виробу. Зміна розмірів у процесі зберігання деталей походить із за перерозподіли залишкових напруг при їхній релаксації. Відпалювання відбувається при температурі 200-700<sup>0</sup>С с наступним повільним охолодженням.

Після обробки різанням, перед шліфуванням і при необхідності, чистової обробки, застосовують інший тип термообробки: загартування, низька відпустка. Загартування роблять для одержання досить високої пластичності й в'язкості, а так само високої зносостійкості, для підвищення міцності й твердості. Загартування роблять при температурах 830-860<sup>0</sup>С у маслі.

Оскільки деталь довга вона може піддаватися ізотермічному загартуванню в розплавлених солях (240-260<sup>0</sup>С).

Відпускання є остаточною операцією термічної обробки, у результаті якої сталь одержує необхідні механічні властивості. Крім того відпускання усуває внутрішні напруження, що виникають при загартуванні. Ці напруги знімаються тим повніше чим вище температура відпускання. Низькотемпературне відпускання робиться при нагріванні до 240<sup>0</sup>С. При цьому знімаються гартівні напруги, підвищується міцність й трохи поліпшується в'язкість без помітного зниження твердості.

Загартована сталь після низькотемпературного відпускання зберігає високу зносостійкість. Тому що деталь довга й має великий перетин, відпускання роблять в тривалий період часу - 8-12 годин.

Таблиця 2.3 - Відхилення розмірів, та розташування поверхонь

№ з/п	Найменування поверхні	Квалітет	Відхилення розміру	Ra	Відхилення розташування	Примітка						
1	2	3	4	5	6	7						
1	Ø120	m6	+0,035 +0,013	0,8	<table border="1"> <tr> <td rowspan="2">◎</td> <td>0,02</td> <td>Гж</td> </tr> <tr> <td colspan="2">0,031</td> </tr> </table>	◎	0,02	Гж	0,031		пов. Ж	
◎	0,02	Гж										
	0,031											
2	Ø160	k6	+0,028 +0,003	0,8	<table border="1"> <tr> <td>○</td> <td colspan="2">0,031</td> </tr> <tr> <td>⊙</td> <td colspan="2">0,039</td> </tr> </table>	○	0,031		⊙	0,039		пов. Г
○	0,031											
⊙	0,039											
3	Ø220	12	-1	25	<table border="1"> <tr> <td>○</td> <td colspan="2">0,009</td> </tr> <tr> <td>⊙</td> <td colspan="2">0,009</td> </tr> </table>	○	0,009		⊙	0,009		пов. А
○	0,009											
⊙	0,009											
4	Ø260	12	-1	25								
5	Ø220	k6	+0,033 +0,004	0,8								
6	Ø210	h8	-0,09	1,25								
7	Ø30	12	+0,6	25								
8	Ø90	12	+0,8	25								
9	Ø200	спр	-1	25								
10	M20	H7										

КНУ.КМР.131.24.1-09.02.ТЕА

Арк.

Змн. Арк. № докум. Підпис Дата

Продовження таблиці 2.3

1	2	3	4	5	6	7
11	110	12		25		
12	160	12		25		
13	420	12		25		
14	49	12	-0,34	25/2,5	↗ 0,0 3	A
15	25	12	-0,6	25/2,5	↗ 0,0 3	A
16	65	12	+0,8	2,5/25		
17	196	12	+0,5 -0,5	2,5/-		
18	520	12	-2	-/25		
19	252	12	+0,6	25		
20	127	12	+0,8	2,5/25		
21	20	12		25/2,5		
22	100	12		25		
23	5	12		25		
24	Ø147,949	спр				
25	Ø126,782	спр				
26	32	12	+0,15 -0,15	2,5/2,5		
27	90	12	+0,5 -0,5			
28	92	12	-0,27	25		
29	170	12	-1	25		
30	105	12		25		
31	5	12		25		
32	38	12		25		
33	35	12		25		
34	1065	12		25		
35	15,875	спр				
36	R65	12		25		
37	Ø135	12		25		

Аналіз точності поверхонь показує, що вимоги до відносної точності складових витримано.

## 2.2 Аналіз якості поверхонь деталі

До основних поверхонь відносяться поверхні які є базами для даної деталі. До цих поверхонь пред'являються підвищені вимоги по точності й шорсткості, тому що від цього залежить точність обробки і якість поверхонь не

									Арк.
Змн.	Арк.	№ докум.	Підпис	Дата	КНУ.КМР.131.24.1-09.02.ТЕА				



допуски поверхонь, тому приймаємо, що всі поверхні на які не зазначено допуску виготовляємо по 12 квалітету точності.

Базові поверхні на робочому кресленні представлені правильно (зачерненим трикутником).

Лінійні розміри на кресленні проставлені двома способами: у вигляді ланцюга та координатним методом (від бази).

Поверхня Ø210h8 на кресленні проставлена із шорсткістю Ra 1,25 і метод досягнення даної шорсткості - «полірувати».

## 2.4 Аналіз технологічності деталі

### 2.1. Якісний аналіз технологічності

Деталь – шпindelь – виготовляється зі сталі 40Х ДСТУ 7806:2015. Поверхні можна обробляти прохідними різцями. Діаметральні розміри шийок вала убувають до кінців вала. Твердості валу досить для одержання високої точності при обробці. Всі поверхні шпindelю можна обробляти стандартним інструментом вони легко доступні при обробці. Отвір Ø90<sup>+0,8</sup> хоч і є глибоким L=520<sub>-2</sub>мм., але не вимагає додаткової обробки, (зенкерування й розгортання) після свердління. Радіуси закруглення при переході від одного діаметра до іншого можна одержати стандартним інструментом (виключення становить R65 при переході поверхні Ø135 до поверхні Ø160).

Базові поверхні деталі мають достатню довжину й діаметр для установки й закріплення деталі. Є гарна можливість вільного підведення різального інструменту. Шорсткість і точність більшості поверхонь невисока, що дозволяє застосовувати при обробці деталі стійки й оснащення нормальної точності.

### 2.2. Кількісний аналіз технологічності

Середня шорсткість:

$$Ш_{cp} = \frac{2,5 * N_1 + 25 * N_2}{N_i} \quad (2.1.)$$

$N_i$  - загальне число елементів деталі

$$Ш_{cp} = \frac{2,5 * 6 + 25 * 20}{26} = 19,8$$

Середня шорсткість відповідає 12 квалітету точності.

Коефіцієнт уніфікації:

$$K_{y_3} = \frac{Q_{y_3}}{Q_3} \quad (2.2.)$$

$Q_{y_3}$  - кількість уніфікованих елементів.

$Q_3$  - загальне число елементів.

$$K_{y_3} = \frac{4}{26} = 0,153$$

									Арк.
Змн.	Арк.	№ докум.	Підпис	Дата	КНУ.КМР.131.24.1-09.02.ТЕА				



Середня точність:

$$T_{cp} = \frac{6 * N_1 + 7 * N_2 + 8 * N_3 + 12 * N_4}{N_{\Sigma}} = \frac{6 * 3 + 7 * 1 + 8 * 1 + 12 * 21}{26} = 11$$

Коефіцієнт використання матеріалів:

$$K_M = \frac{m_o}{m_3} * 100\% \quad (2.3.)$$

$m_o$  - чиста вага деталі, кг.

$m_3$  - вага заготівлі, кг.

$$K_M = \frac{167,7}{278,8} * 100 = 60,15\% (0,6015)$$

Аналізуючи отримані результати можна зробити висновок, що точність обробки деталі не висока (11 квалітет), коефіцієнт використання матеріалу не високий, уніфікованих поверхонь не багато й середня шорсткість відповідає 11-12 квалітету точності. Але в цілому деталь є технологічною, і не вимагає застосування спеціальних інструментів і спеціальних точних методів обробки різанням і термообробки.

Недоліком деталі є її довжина (1065мм.) і вага (167,7кг.), що вимагає спеціального оснащення й пристосувань.

## 2.5 Вибір типу виробництва. Задачі проектування

Представляємо типовий технологічний процес обробки шпинделю.

Таблиця 2.4- Типовий технологічний процес

№оп.	Зміст операції	Верстат устаткування	Оснащення
1	2	3	4
005	Відрізати заготівлю.	Фрезерно-відрізний	Призматичні лещата.
010	Термообробка		
015	Фрезерувати торці в розмір 519 ±0,2 і центрувати із двох сторін одночасно	Фрезерно-центрувальний 2М94	Призми
020	Точити шейки Ø80q6 до Ø85, Ø90h7 до Ø95 і фаски.	Токарний 16К20Ф3	Чотирьохкулачковий патрон, Обертаючий центр

					КНУ.КМР.131.24.1-09.02.ТЕА	Арк.
Змн.	Арк.	№ докум.	Підпис	Дата		

## Продовження таблиці 2.4

1	2	3	4
025	Точити шийки Ø85доб до Ø90, Ø90h7 до Ø95 і фаски. Точити: шейки Ø80q6 до Ø80, Ø105f7 до Ø105,5h4, фаски, Ø90h6 до Ø90,5h4, проточити дві канавки В=5	Токарний 16К20Ф3	Чотирьохкулачковий патрон, обертаючий центр
030	Точити: шийки Ø80q6 до Ø80,5h4, Ø90h6 до Ø90,5h4, фаски, канавки В5.	Токарний 16К20Ф3	Чотирьохкулачковий патрон, обертаючий центр
035	Фрезерувати шпонковий паз б.	Шпонково--фрезерний 6930	Самоцентруючі лещата
040	Обробляти два різьбових отвори М10 на глибину 10.	Радіально-свердлильний 2А554	Пристосування
055	Зачистити заусениці.	Механізов. верстат.	
060	Шліфувати шийки Ø80q6 Ø90h7, Ø105f7, торець Д.	Круглошліфувальний 3М153ДФ2	Центра, повідок
065	Шліфувати шийки Ø85доб і Ø90h7	Круглошліфувальний 3М153ДФ2	Центра, повідок
070	Промити деталь.	Мийна машина.	
075	Технічний контроль.		
080	Нанесення покриття проти іржі.		

Типовий технологічний процес обробки великогабаритних валів включає операції по обробці отворів, токарні операції по обробці діаметральних розмірів і підрізуванню торців. Тому його можна взяти за основу технологічного процесу виготовлення шпинделя із внесенням коректувань по встаткуванню під розміри останнього й з додаванням операцій по свердлінню осевого й радіального отворів і по фрезеруванню лисок, а так само по обробці конусної різьбової поверхні.

Вибір типу виробництва здійснюється попередньо по масі й програмі випуску: Nz=2000 шт. і вага 167,7кг. - виробництво серійне. Розрахувавши кількість і коефіцієнт їхнього завантаження визначаємо тип виробництва за коефіцієнтом закріплення операцій:

					КНУ.КМР.131.24.1-09.02.ТЕА	Арк.
Змн.	Арк.	№ докум.	Підпис	Дата		

Вихідні дані	
Річна програма $N_p$ , шт	<b>2000</b>
Штучно-калькуляційний час, хв	
$T_{шт.-к.1}$	<b>9</b>
$T_{шт.-к.2}$	<b>132,44</b>
$T_{шт.-к.3}$	<b>22,925</b>
$T_{шт.-к.4}$	<b>16,993</b>
$T_{шт.-к.5}$	<b>4,49</b>
Йомвірний тип виробництва (ДС=1, СС=2, ВС=3)	<b>2</b>
Кількість змін	<b>1</b>

#### Коефіцієнт закріплення операцій

$$K_{з.о.} = \frac{\sum \Pi_{oi}}{\sum P_i}$$

де  $\sum \Pi_{oi}$  – сумарне число різних операцій за місяць з розрахунку на одного змінного  
 $\sum P_i$  – явочне число робітників ділянки, що виконують різні операції при роботі в одну

$$\Pi_{oi} = \frac{13182 \cdot \eta_H}{T_{шт.к.} \cdot N_M}$$

де  $\eta_H$  – плановий нормативний коефіцієнт завантаження верстата, прийнятий для велико-, середньо- та дрібносерійного виробництва відповідно рівним 0,75; 0,8; 0,9;

$$N_M - \text{місячна програма випуску заданої деталі, шт} \quad N_M = \frac{N_p}{s \cdot 12}$$

$$\Pi_{o1} = \frac{13182 \cdot 0,8}{9 \cdot 166,7} = 7,03$$

$$\sum P_i = P_1 + P_2 + \dots + P_n$$

$$\Pi_{o2} = \frac{13182 \cdot 0,8}{132,4 \cdot 166,7} = 0,478$$

$$P_i = 0,96 \cdot \eta_H = 0,96 \cdot 0,8 = 0,77$$

$$\Pi_{o3} = \frac{13182 \cdot 0,8}{22,93 \cdot 166,7} = 2,76$$

$$\sum P_i = 5 \cdot 0,768 = 3,84 = 4$$

$$\Pi_{o4} = \frac{13182 \cdot 0,8}{16,99 \cdot 166,7} = 3,724$$

$$K_{з.о.} = \frac{28,08}{4} = 7,02$$

Тип виробництва серійний.

					КНУ.КМР.131.24.1-09.02.ТЕА	Арк.
Змн.	Арк.	№ докум.	Підпис	Дата		

### 3 ПРОЕКТУВАННЯ ТЕХНОЛОГІЧНОГО ПРОЦЕСУ

#### 3.1 Вибір і техніко-економічне обґрунтування заготовок

Для техніко-економічного порівняння вибираємо два варіанти одержання заготівлі для даної деталі:

1. Кування на молотах.
2. Круглий прокат.

##### 3.1.1 Проектування кування

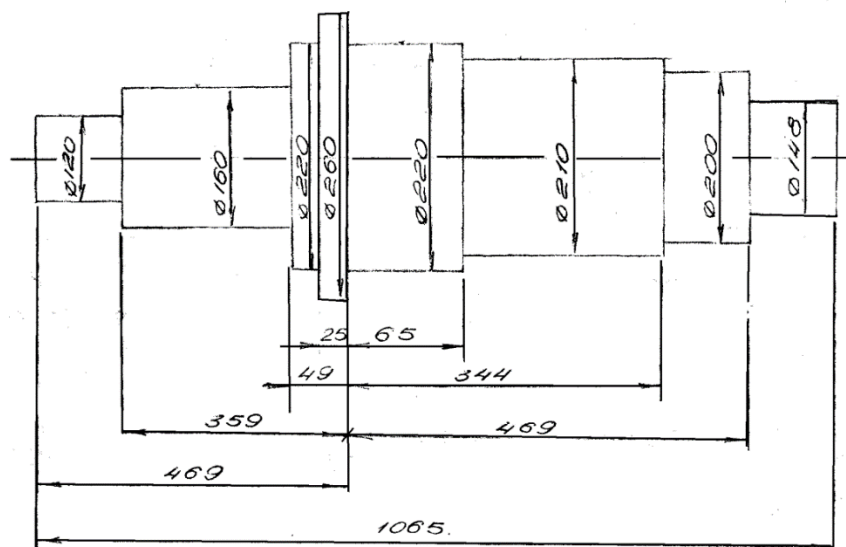


Рисунок 3.1 – Ескіз деталі

Таблиця 3.1 – Розрахунок припусків

Номинальний розмір деталі	Основний припуск	Допуск	Додатковий припуск	Розмір заготівлі	Прим.
Ø260	14	±4	6	Ø280±4	
Ø220	14	±4	3	-	
Ø220	14	±4	3	Ø237±4	
Ø210	14	±4	4	-	
Ø200	13	±4	4	Ø217±4	
Ø160	12	±3		Ø172±3	
Ø148	12	±3	6	Ø166±3	
Ø120	11	±3	8	Ø139±3	
L1065	35	±10		1100±10	
L469	28	±8		497±8	
L469	-	±6		469±6	
L359	21	±6		380±6	

					КНУ.КМР.131.24.1-09.03.ПТП			
Змн.	Арк.	№ докум.	Підпис	Дата				
Розроб.		Ковалевський			ПРОЕКТУВАННЯ ТЕХНОЛОГІЧНОГО ПРОЦЕСУ	Літ.	Арк.	Акрушів
Перевір.		Пивінла						
Н. Контр.		Нечаєв				Каф. ТМ, гр.ПМ-23м		
Зав. каф.		Рязанцев						

1	2	3	4	5	6
L344	-	±6		344±6	
L65	-	±6		-	
L49	21	±6		70±6	
L25	21	±6		46±6	

Основні припуски й допуски на діаметральні розміри призначаємо виходячи з діаметра основного перетину й максимальної довжини деталі.

Призначаємо додаткові припуски на всі перетини крім основного (перетин з максимальним діаметром 260) - це припуск на несоосність перетину. Припуск призначаємо залежно від різниці діаметрів розглянутого й максимального з урахуванням основних припусків.

Припуск на загальну довжину заготівлі приймаємо рівним

$$2,5 * (\delta \pm \frac{\Delta}{2}), \quad (3.1)$$

де  $\delta \pm \frac{\Delta}{2}$  - припуск і граничні відхилення призначені на перетин з максимальним діаметром.

$$L=1065 \text{ мм. } 2,5 * (14 \pm 4) = 35 \pm 10.$$

Припуск на довжину фланця приймаємо рівним

$$2 * (\delta \pm \frac{\Delta}{2}) \quad (3.2)$$

$$L=469 \text{ мм. } 2 * (14 \pm 4) = 28 \pm 8$$

Припуск на довжини: L=469 мм, L=344 мм., L=65 мм. не призначаємо, призначаємо тільки граничні відхилення

$$\pm 1,5 \frac{\Delta}{2} = \pm 1,5 * 4 = \pm 6 \quad (3.3)$$

Припуск на довжини L=359 мм., L=49 мм., L=25 мм.

Призначаємо

$$1,5 * (\delta \pm \frac{\Delta}{2}) \quad (3.4)$$

$$L=359 \text{ мм.}, 1,5 * (14 \pm 4) = 21 \pm 6$$

$$L=49 \text{ мм.}, 1,5 * (14 \pm 4) = 21 \pm 6$$

$$L=25 \text{ мм.}, 1,5 * (14 \pm 4) = 21 \pm 6$$

					КНУ.КМР.131.24.1-09.03.ПТП	Арк.
Змн.	Арк.	№ докум.	Підпис	Дата		









$C_1$  - годинні поточні затрати по експлуатації верстата, грн;  $C_1 = 0,003 \cdot C_0$

$K_5$  - коефіцієнт виконання норм ( $K_5 = 1,17$ )

$E_H$  - нормативний коефіцієнт ефективності ( $E_H = 0,15$ )

$Z_K$  - питомі капітальні затрати на операцію, грн

$$Z_K = \frac{16906 + 36968,8}{60} \cdot \frac{65,7}{\Phi} \cdot \frac{2000}{\eta_B}$$

16906	36968,8	65,7
$Z_K = \frac{(B + K_{ц})}{60} \cdot \frac{T_{шт}}{\Phi} \cdot \frac{B}{\eta_B}$		
72,7382	4015	0,202

$B$  - балансова вартість верстата, грн

$K_{ц}$  - вартість площі цеха, грн

$$K_{ц} = 500 \cdot 29,575 \cdot 2,5$$

$K_{ц} =$	$\Pi$	$\varphi$	$\gamma$
36968,8	500	29,575	2,5

$\Pi$  - вартість  $1m^2$  площі механічного цеха, грн

$\varphi$  - габаритні розміри верстата (довжина \* ширину),  $m^2$

$\gamma$  - коефіцієнт, який враховує додаткову площу

$\Phi$  - річний фонд часу роботи верстата, годин

$\eta_B$  - коефіцієнт використання верстата:

$$\eta_B = \frac{65,7 \cdot 2000}{60 \cdot 3975 \cdot 1,17 \cdot 1}$$

$\eta_B =$	$T_{шт}$	$B$		
0,47089	65,7	2000		
	60	$\Phi$	$K_5$	$m$
	3975	1,17	1	

$B$  - річна програма випуску деталей, шт

$m$  - кількість верстатів, зайнятих на одній операції

Порівнюючи вартість отримання заготовок куванням та вартість сортового прокату можна помітити, що не дивлячись на додаткові операції токарної обробки вартість заготівлі із сортового прокату дешевше, ніж вартість кованої заготівлі.

Тому в кінцевому результаті застосовуємо як заготовку сортовий прокат  
:круг  $\frac{250-B \text{ ДСТУ} 4738:2007}{40X-r \text{ ДСТУ} 7806:2015}$

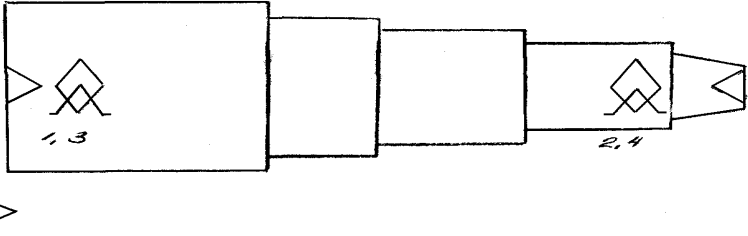
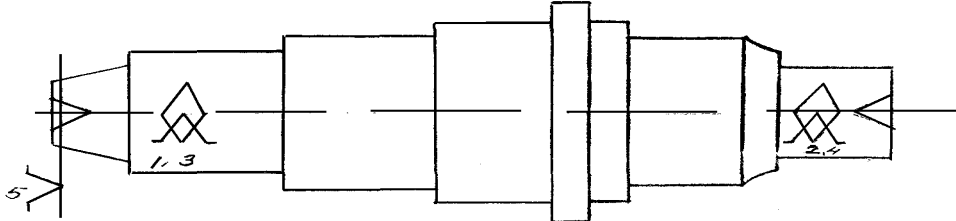
									Арк.
Змн.	Арк.	№ докум.	Підпис	Дата	КНУ.КМР.131.24.1-09.03.ПТП				

### 3.4 Вибір і обґрунтування баз

Деталь, відноситься по типу до тіл обертання, а по класу- до класу валів. Для валів вісь симетрії є подвійною напрямною базою, а один з торців вала - опорною базою.

Торець реалізує одну точку (ступінь волі), вісь - чотири точки. Шоста точка реалізується закріпленням по шпонці й тільки при необхідності.

Таблиця 3.2 – Теоретичні схеми базування

№ операції	Теоретична схема базування
1	2
010 1 установ	
2 установ	

Змн.	Арк.	№ докум.	Підпис	Дата

КНУ.КМР.131.24.1-09.03.ІТТІ

Арк.

Продовження таблиці 3.2

<p>015 (020) 1 установ</p>	
<p>025 1 установ</p>	
<p>2 установ</p>	
<p>030 1 установ</p>	
<p>2 установ</p>	
<p>040</p>	
<p>035</p>	

Змн.	Арк.	№ докум.	Підпис	Дата

КНУ.КМР.131.24.1-09.03.ПТП

Арк.

### 3.5 Вибір і обґрунтування послідовності обробки поверхонь

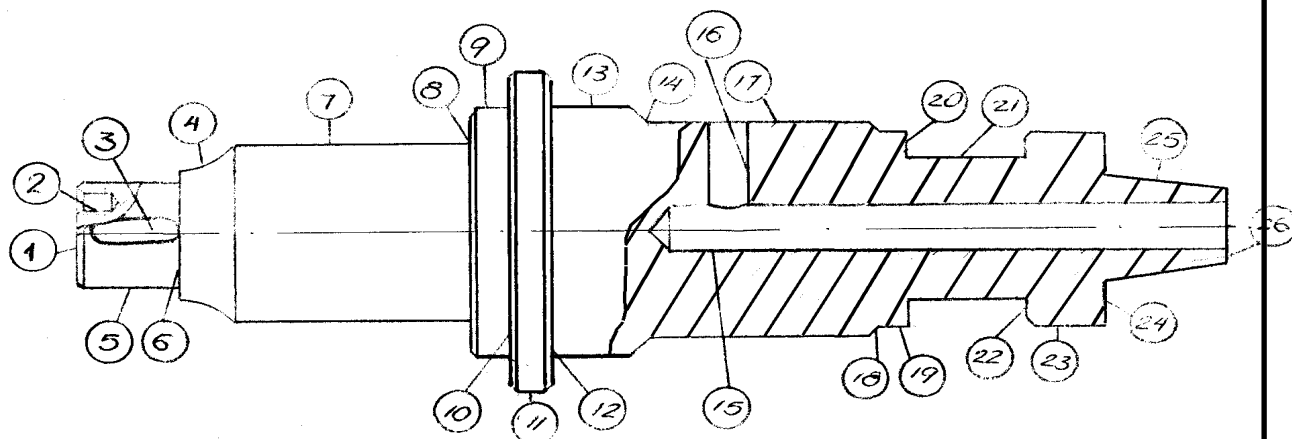


Рисунок 3.5 – Нумерація поверхонь для обробки

Таблиця 3.3 – Операції та переходи

№ з/п поверхні розмір	найменування операцій і переходів	Ra	Точн. JT	допуск Тмкм
1	2	3	4	5
1,26 L=1065	Фрезерно-центрувальна	25	12	1050
2 M207H	Свердління Зенкерування чорнове нарізування різьблення	12,5 3,2	10 8	84 33
3 155X32	Фрезерування двох шпонкових пазів	12,5	11	170
4 R65	Чорнове точіння	25	12	
5 Ø120m6	Токарна чорнова Токарна напівчистова Токарна чистова Шліфувальна	25 6,3 3,2 1,25	12 10 8 6	350 140 57 22
6 l=110	Чорнове підрізування торця	25	12	350
7 Ø 160k6	Чорнове точіння Напівчистове точіння Чистове точіння Шліфування	25 6,3 3,2 1,25	12 10 8 6	400 160 63 25
8 l=420	Чорнове підрізування торця Чистове підрізування	25 6,3	12 10	630 250
9 Ø220	Чорнове точіння	25	12	460
10 l=444	Чорнове підрізування торця	25	12	630
11 Ø260	Чорнове точіння	25	12	520

КНУ.КМР.131.24.1-09.03.ПТП

Арк.

Змн. Арк. № докум. Підпис Дата

Продовження таблиці 3.3

1	2	3	4	5
12 l=596	Чорнове підрізування	25	12	700
	Напівчистове підрізування	6,3	10	280
	Чистове підрізування	2,5	9	175
13 Ø 220k6	Чорнове точіння	25	12	460
	Напівчистове точіння	6,3	10	185
	Чистове точіння	3,2	8	72
	Шліфування	1,25	6	29
14 фаска 450				
15 Ø90+0,8	Свердління	25	12	800
16 Ø30	Свердління (Зотв.)	25	12	330
17 Ø 210h8	Чорнове точіння	25	12	460
	Напівчистове точіння	3,2	10	185
	Чистове точіння	1,2	8	72
18 фаска 5X450				
19,23 Ø200	Токарна чорнова	25	12	460
20,21,22 170-1	Фрезерування лисок	25	12	400
24 l=127	Чорнова,	25	12	400
	напівчистова,	6,3	10	160
	чистове підрізування	2,5	9	63
25	Чорнове точіння	25	12	
	Напівчистове точіння	6,3	10	
	Чистове точіння	3,2	8	
	Нарізування різьблення замкової 3-47 ДСТУ ГОСТ 244887:2018			

### 3.6 Розробка маршруту обробки деталі

Деталі - тіла обертання обробляються методом перекладання, змінюється тільки торець, а вісь залишається технологічною базою при будь-якій установці й закріпленні.

При установці технологічного маршруту необхідно врахувати деякі вимоги:

- завжди перша операція призначена для обробки поверхонь, службовців технологічними базами. При цьому встановлювати деталь потрібно на поверхні, які надалі не будуть оброблятися або з них буде зніматися мінімальний припуск;

- чорнову неопрацьовану поверхню як база можна використати тільки один раз;

					КНУ.КМР.131.24.1-09.03.ПТП	Арк.
Змн.	Арк.	№ докум.	Підпис	Дата		

- далі обробляються найбільш точні поверхні для того, щоб у випадку виявлення дефектів можна було відразу забракувати або виправити деталь;
- найбільш точні й чисті поверхні на чистових операціях обробляються в останню чергу для того, щоб не ушкодити їх.

Таблиця 3.4 – Послідовність операцій та переходів

№ поверхні розмір	Найменування операцій і переходів	Ra	Квалітет JT	допуск Тмкм
005	Фрезерно-центрувальна	1,26	7, 17, 8	2М942
010	Токарна чорнова 1 - установ. 2 - установ.	17, 14, 13, 12 25, 24, 19, 18 5, 4, 7, 6, 8, 9, 10, 11	5, 1, 26 26, 1, 23	16К20Ф3
015	Токарна напівчистова з ЧПК	-	-	-
020	Токарна чистова з ЧПК	-	-	-
025	Шліфувальна	5,7 13	1,26, 23 5,1, 26	3М161Е
030	Свердлильно-фрезерно-розточувальна 1 - установ. 2 - установ.	3, 21, 20, 22 2 (2 отв.) 16	7, 17, 1 7, 17, 26	2А622МФ2
035	Токарна (нарізування замкового різьблення)	25	1,5, 26	16К20Ф3
040	Свердлильно-фрезерно-розточувальна	15	7, 8, 17	2А622МФ2

### 3.7 Розробка технологічних операцій

Таблиця 3.5 – Технологічні операції та переходи

№ операцій і переходів	Назва операцій Верстат зміст переходів технологічних операцій	Верстатне пристосування	Інструмент: ріжучий, допоміжний, мірятьний
1	2	3	4
005	Фрезерно-центрувальна 2М942 фрезерувати торці 1, 26 розмір 1065, свердлити 2 центрувальні отвори	призми, притиск	фреза торцева ГОСТ 1092-80 свердло центрувальне ГОСТ 14952-75



1	2	3	4
035	Токарна з ЧПК (нарізування замкового різьблення) 16К20Ф3 нарізати різьблення замкове 3 - 147 ГОСТ 5285 - 58	Трикулачковий патрон, обертаючий центр	Різьбовий різець різьбові пластини GC4125 F а CoroThread 266 Sandvik Coromant
040	Свердлильно-фрезерно- розточувальна 2А622МФ2 свердлити отвір Ø 90+0,8 L520-2		Свердло збірне перовое з конічним хвостовиком ТУ 2-035- 741-81; Ø90

### 3.8 Розрахунок між операційних розмірів і припусків на обробку

#### 3.8.1 Розрахунок міжопераційних лінійних розмірів

Таблиця 3.7 - Міжопераційні розміри

Пов.	Зміст переходу	Ra	Точн. IT	Доп. Т.	Прип. t	Обозн. прип.
1065	Заготівля.	50	14	2625	5,0	
	Чорнове підрізування.	25	12	1052,5	2,5	Z9
	Чорнове підрізування 2 торці	25	12	1050	2,5	Z1
596	Заготівля.	50	14	1725	5,9	
	Чорнове підрізування.	25	12	700	2,5	Z5
	Напівчистове підрізування.	6,3	10	280	2,0	Z4
	Чистове підрізування.	2,5	9	175	1,4	Z3
420	Заготівля.	50	14	970	2,5	
	Чорнове точіння	25	12	630	2,5	Z2
127	Заготівля.	50	14	1000	5,0	
	Чорнове точіння.	25	12	400	2,5	Z8
	Напівчистове підрізування торця.	6,3	10	160	1,5	Z7
	Чистове підрізування.	2,5	9	100	1,0	Z6

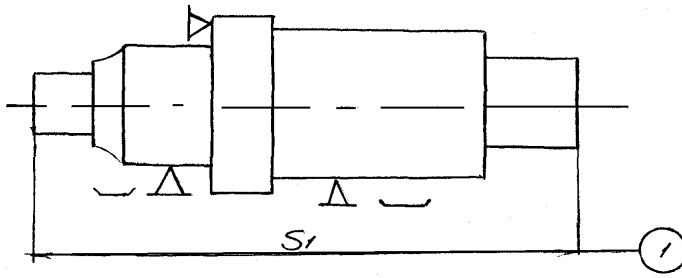
Послідовність обробки торців.

#### 1. Фрезерно-центрувальна

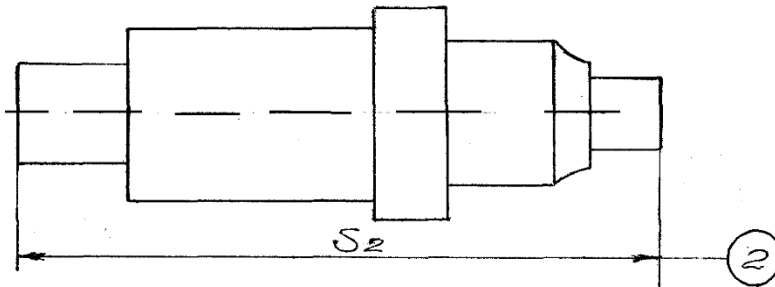
Фрезерувати торець 1 в розмір S1

					КНУ.КМР.131.24.1-09.03.ПТП	Арк.
Змн.	Арк.	№ докум.	Підпис	Дата		



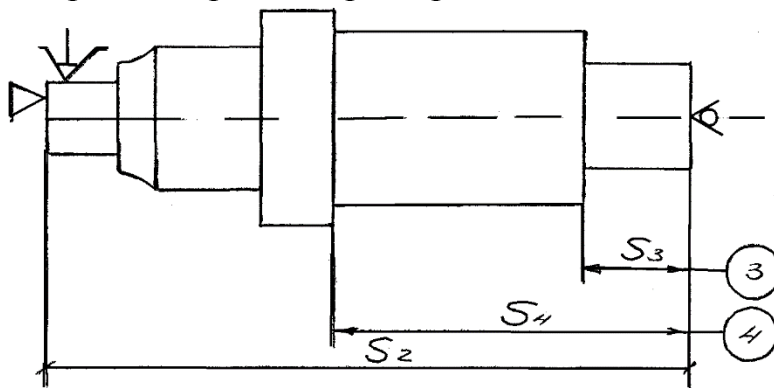


Фрезерувати торець 2 в розмір S2

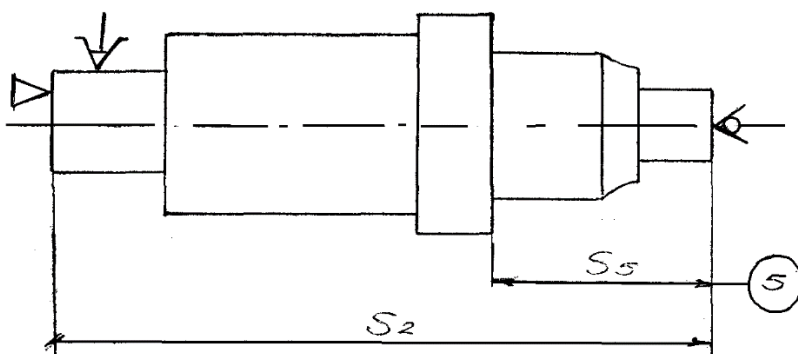


2. Токарна чорнова

1. Підрізати торець 3 в розмір S3



2. Підрізати торець 4 в розмір S4



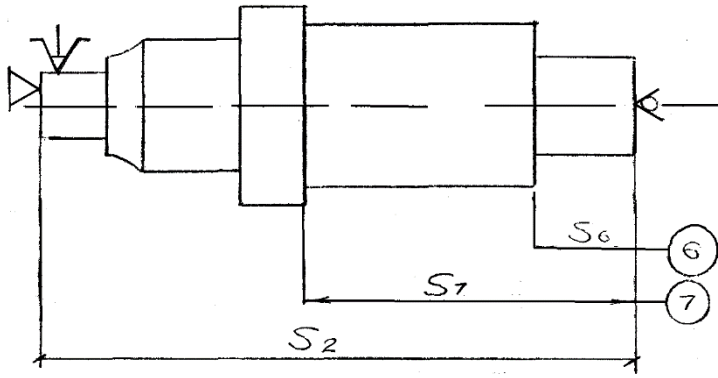
Підрізати торець 5 в розмір S5

Підрізати торець 6 в розмір S6

Змн.	Арк.	№ докум.	Підпис	Дата

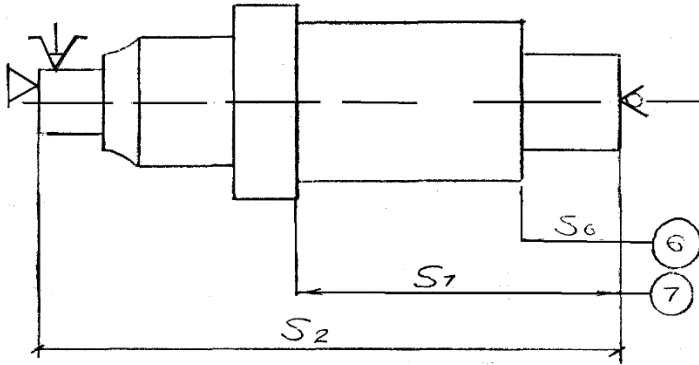
КНУ.КМР.131.24.1-09.03.ПТП

Арк.

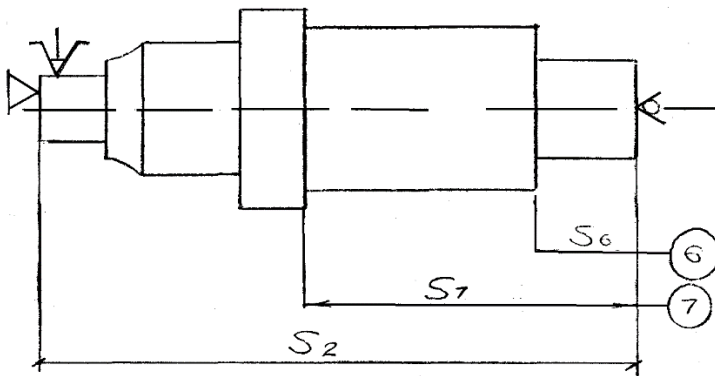


Підрізати торець 7 в розмір S7

3. Токарна напівчистова



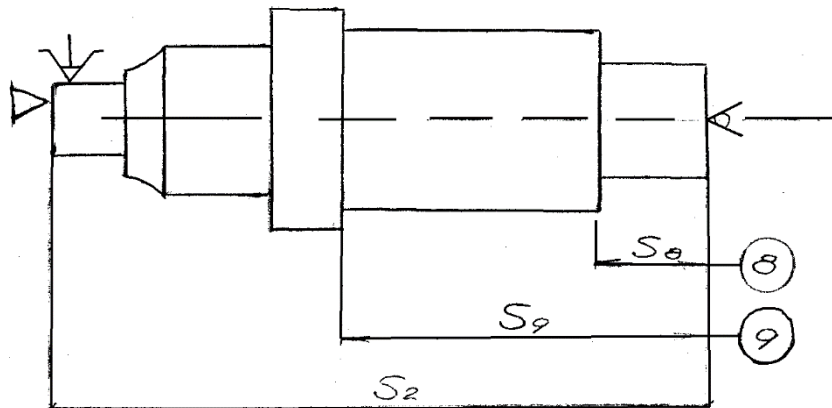
Підрізати торець 6 в розмір S6



Підрізати торець 7 в розмір S7

4. Токарна чистова

1. Точить торець 8 в розмір S8



Змн.	Арк.	№ докум.	Підпис	Дата

КНУ.КМР.131.24.1-09.03.ПТП

Арк.

## 2.Точить торець 9 в розмір S9

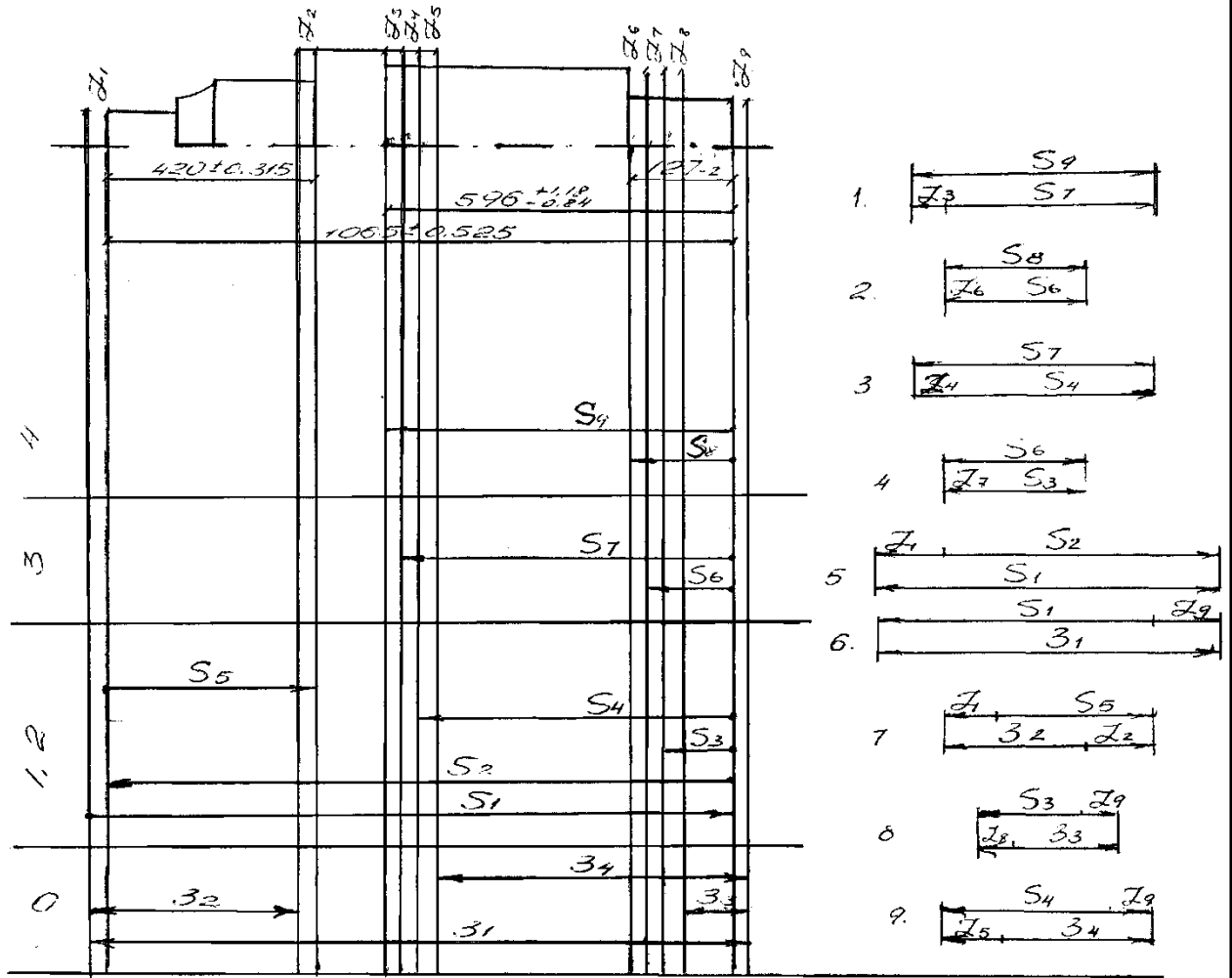


Рисунок 3.8 – Розмірні ланцюги

## 3.9 Вибір міжопераційних розмірів і припусків на обробку

Таблиця 3.8- Розрахунок розмірного ланцюга

					КНУ.КМР.131.24.1-09.03.ПТП	Арк.
Змн.	Арк.	№ докум.	Підпис	Дата		

1	2	3	4	5
---	---	---	---	---

№ з/п ланцюга	Вихідні дані	Розрахунок розмірного ланцюга	Між операційний розмір з відхиленням.	Уточнене значення припуску.
1	2	3	4	5
1	$S_9 = 596^{+1.18}_{-0.84}$ $Z_3 = 1.4$	$S_7 = S_9 - Z_3$ $S_7 = 596 - 1.4 = 594.6$	$S_7 = 594.6^{+0.28}$	$Z_3 = S_9 - S_7 = 596^{+1.18}_{-0.84} - 594.6^{+0.28} = 1.4^{+1.18}_{-1.12}$ Збільшуємо $Z_3 = 2.5^{+1.18}_{-1.12}$ $S_1 = 593.5^{+0.28}$
2	$S_8 = 127_{-2}$ $Z_6 = 1.0$	$S_6 = S_8 - Z_6$ $S_6 = 127 - 1 = 126$	$S_6 = 126^{+0.16}$	$Z_6 = S_8 - S_6 = 127_{-2} - 126^{+0.16} = 1_{-2.16}$ Збільшуємо $Z_6 = 2.5_{-2.5}$ $S_6 = 124.5^{+0.16}$
3	$S_7 = 593.5^{+0.28}$ $Z_4 = 2.0$	$S_4 = S_7 - Z_4$ $S_4 = 593.5 - 2 = 591.5$	$S_4 = 591.5^{+0.7}$	$Z_4 = S_7 - S_4 = 593.5^{+0.28} - 591.5^{+0.7} = 2.0^{+0.28}_{-0.7}$
4	$S_6 = 124.5^{+0.16}$ $Z = 1.5$	$S_3 = S_6 - Z_7$ $S_3 = 124.5 - 1.5 = 123$	$S_3 = 123^{+1.0}$	$Z_7 = S_6 - S_3 = 124.5^{+0.16} - 123^{+1.0} = 1.5^{+0.16}_{-1.0}$
5	$S_2 = 1065^{+0.525}_{-0.525}$ $Z_1 = 2.5$	$S_1 = S_2 + Z_1$ $S_1 = 1065 + 2.5 = 1067.5$	$S_1 = 1067.5^{+1.3125}_{-1.3125}$	$Z_1 = S_1 - S_2 = 1067.5^{+1.3125}_{-1.3125} - 1065^{+0.525}_{-0.525} = 2.5^{+1.8375}_{-1.8375}$ Збільшуємо $Z_1 = 4.5^{+1.8375}_{-1.8375}$ $S_1 = 1069.5^{+1.3125}_{-1.3125}$
6	$S_1 = 1069.5^{+1.3125}_{-1.3125}$ $Z_9 = 2.5$	$Z_9 = S_1 - Z_9$ $Z_9 = 1069.5 + 2.5 = 1072$	$Z_9 = 1072^{+1.3125}_{-1.3125}$	$Z_9 = Z_9 - S_1 = 1072^{+1.3125}_{-1.3125} - 1069.5^{+1.3125}_{-1.3125} = 2.5^{+2.625}_{-2.625}$ Приймаємо $Z_9 = 5.5^{+2.625}_{-2.625}$ $Z_1 = 1075^{+1.3125}_{-1.3125}$
7	$S_3 = 123^{+1}$ $Z_8 = 2.5$ $Z_8 = 5.5^{+2.625}_{-2.625}$	$Z_3 = S_3 + Z_9 - Z_8$ $Z_3 = 123 + 5.5 - 2.5 = 126$	$Z_3 = 126^{+1.0}$	$Z_8 = S_3 + Z_9 - Z_3 = 123^{+1.0} + 5.5^{+2.625}_{-2.625} - 126^{+1.0} = 2.5^{+3.625}_{-3.625}$ Приймаємо $Z_8 = 7.5^{+3.625}_{-3.625}$ $Z_3 = 121^{+1.0}$

					КНУ.КМР.131.24.1-09.03.ПТТ		Арк.
Змн.	Арк.	№ докум.	Підпис	Дата			

8	$S_5 = 420^{+0,315}_{-0,315}$ $Z_2 = 2,5$ $Z_1 = 4,5^{+1,8735}_{-1,8375}$	$Z_2 = S_5 + Z_1 - Z_2$ $Z_2 = 420 + 4,5 - 2,5 =$ $= 422$	$Z_2 = 422^{+0,97}$	$Z_2 = S_5 + Z_1 - Z_2 = 420^{+0,315}_{-0,315} +$ $+ 4,5^{+1,8375}_{-1,8375} - 422^{+0,97} = 2,5^{+2,1525}_{-3,1225}$ <b>Приймаємо</b> $Z_2 = 5,5^{+2,1525}_{-3,1225}$ $Z_2 = 419^{+0,97}$
9	$S_9 = 591,5^{+0,7}$ $Z_9 = 5,5^{+2,625}_{-2,625}$ $Z_5 = 2,5$	$Z_4 = S_4 + Z_9 - Z_5$ $Z_4 = 591,5 + 5,5 - 2,5 =$ $= 594,5$	$Z_4 = 594,5^{+0,8625}_{-0,8625}$	$Z_8 = S_3 + Z_9 - Z_3 = 123^{+1,0} +$ $+ 5,5^{+2,625}_{-2,625} - 126^{+1,0} = 2,5^{+3,625}_{-3,625}$ <b>Приймаємо</b> $Z_5 = 8^{+4,1875}_{-3,4875}$ $Z_4 = 589^{+0,8625}_{-0,8625}$

Таблиця 3.9- Зведена таблиця між операційних розмірів і припусків

№з/п пов	Найменування переходу	Ra	Квал ітет ІТ	Допуск Т	Припуск t	Міжопераційний розмір з допусками
1	2	3	4	5	6	7
1,26	Фрезерно-центрувальна.	25	12	1050	10	$1065^{+0,525}_{-0,525}$
2	Свердління. Зенкерування. Нарізування різьблення М20-7Н	12, 5 3,2	10 8	84 33	9 1	$\varnothing 18^{+0,084}$ $\varnothing 20_{-0,033}$ М2-7Н
3	Фрезерування шпонкових пазів: чорнове. Чистове	25 12, 5	12 11	170	3,0	152 * 29 155 * 32
4	Чорнове точіння.	25	12			
5	Чорнове точіння. Напівчистове точіння. Чистове точіння. Тонке точіння.	25 6,3 3,2 1,2 5	12 10 8 6	350 140 57 22	2,5 2,0 1,7 1,0	$124,7^{+0,175}_{-0,175}$ $122,7^{+0,07}_{-0,07}$ $121 \pm 0,0285$ $120m6^{(+0,035)}_{(+0,013)}$
6	Чорнове підрізування торця.	25	12	350	2,5	$110_{-0,35}$
7	Чорнове точіння. Напівчистове точіння. Чистове точіння. Тонке точіння.	25 6,3 3,2 1,25	12 10 8 6	400 160 63 25	2,2 2,2 2,1 0,6	$160^{+1,2}_{+0,8}$ $160^{+0,54}_{+0,38}$ $160^{+0,185}_{+0,122}$ $160^{+0,028}_{+0,03}$
8	Чорнове підрізування торця.	25	12	630	2,5	$420 \pm 0,315$
9	Чорнове точіння.	25	12	460	2,0	$\varnothing 220_{-0,46}$

										Арк.
Змн.	Арк.	№ докум.	Підпис	Дата	КНУ.КМР.131.24.1-09.03.ПТП					



$S=0.32...0.35\text{мм/об.}$

Приймаємо  $S=0.34\text{мм/об.}$

### 3. Швидкість різання

$$v = \frac{C_v * D^q}{T^m * S^y} * K_v \quad (3.26)$$

де  $T = 50\text{хв}$  - стійкість інструмента;  $C_v=9,8$ ;  $q=0,40$ ;  $y=0,50$ ;  $m=0,2$

$K_v$ - загальний поправочний коефіцієнт на швидкість різання

$$K_v = K_{uv} * K_w * K_{ev} \quad (3.27)$$

$K_w$  – коефіцієнт на оброблюваний матеріал

$$K_w = K_r * \left(\frac{750}{G_b}\right)^w \quad (3.28)$$

де  $K_r = 0.85$

$w=0.9$

$G_b=980$

$$K_w = 0,85 * \left(\frac{750}{980}\right)^{0,9} = 0,67$$

де  $K_{uv}=1.0$  – коефіцієнт на інструментальний матеріал

$K_{ev}=1.0$  – коефіцієнт враховуючу глибину свердління

$K_v = 0.67 * 1.0 * 1.0 = 0.67$

$$v = \frac{9,8 * 30^{0,4}}{50^{0,2} * 0,34^{0,5}} * 0,67 = 20,073\text{м/мин}$$

### 4. Крутний момент і осьова сила

$$M_{кр} = 10 * C_m * D^q * S^y * K_p$$

$$P_o = 10 * C_p * D^q * S^y * K_p \quad (3.29)$$

де  $C_m = 0,0345$

$C_p = 68$

$q = 2,0$

$q = 1,0$

$y = 0,8$

$y = 0,7$

$K_p$  – коефіцієнт, що враховує фактичні умови обробки, у цьому випадку залежить тільки від матеріалу оброблюваної заготовки,  $K_p=K_{mp}$

$$K_{mp} = \left(\frac{C_6}{750}\right)^n \quad (3.30)$$

$n = 0.75$

$$K_{mp} = \left(\frac{980}{750}\right)^{0,75} = 1,222$$

$K_p = 1,222$

$$M_{кр} = 10 * 0,0345 * 30^2 * 0,34^{0,8} * 1,22 = 160,072\text{Нм}$$

$$P_o = 10 * 68 * 30 * 0,34^7 * 1,222 = 11714,847\text{Н}$$

Потужність різання

					КНУ.КМР.131.24.1-09.03.ЛТТІ	Арк.
Змн.	Арк.	№ докум.	Підпис	Дата		

$$Ne = \frac{M_{kp} * n}{9750} \text{ (кВт)} \quad (3.31)$$

$$n = \frac{1000v}{PD}$$

де n- частота обертання інструмента.

$$n = \frac{1000 * 20.073}{3.14 * 30} = 213.09 \text{ об/хв}$$

$$Ne = \frac{160.072 * 213.09}{9750} = 3.5 \text{ кВт}$$

$$N_{cm} = 15 \text{ кВт}$$

6. Основний час.

$$T_o = \frac{DL}{DnS} = \frac{70}{0.34 * 214} = 1 \text{ мин.} \quad (3.32)$$

Для свердління трьох отворів час повинне бути збільшене в три рази  
 $T_e = 3 \text{ хв.}$

Для всіх інших поверхонь режими різання й нормування робимо  
табличним методом (табл.3.10).

Таблиця 3.10 – Зведена таблиця режимів різання з нормами часу

№ оп.	Зміст переходу	Модель верстага	Поверхня	Припуск	v м/хв.	K <sub>1</sub>	K <sub>2</sub>	K <sub>3</sub>	v <sub>q</sub> м/хв.	S <sub>T</sub> мм/об.	П <sub>p</sub> обхв	П <sub>q</sub> об/хв	N <sub>p</sub> кВт	Час t	Інструмент
1	2	3	4	5	6	7	8	9	10	11	12	13	14	15	16
005	Фрезерування торців Центрування отворів	2М942	L=1065 2 отв. Ø10	10	37 21.6	1.0 0.5	0.5 1.1	1.0 1.0	20. 4 13. 7	S <sub>z</sub> = 0.12 0.22	49.8 435	50	1.5 3.6	0.12 0.16	Фреза торц.

					КНУ.КМР.131.24.1-09.03.ПТП					Арк.
Змн.	Арк.	№ докум.	Підпис	Дата						



Продовження таблиці 3.10

1	2	3	4	5	6	7	8	9	10	11	12	13	14	15	16
010	Токарна чорнова Підрізування торця L110 L420 L449 L127 L596 Чорнове точіння.	16К20П	L= 110 420 449 127 596 Ø= 120 160 220 260 220 210 200 148	5.5 5.5 5.5 7.5 8 2.5 2.5 2.5 2.5 2.5 2.5 2.5 2.5 2.5	22	0,5	0,8	1,0	8,8	0,45	17,5	20	3,6	3,6	Різець прохідний (швидкорізальна сталь)
015	Токарна напівчистова. Підрізування торця Чистове точіння.	16К20П	L= 127 596 Ø 120 160 220 210 140	1.5 2.0 1.5 1.5 1.5 1.5 1.5 1.5	25	0,5	1,0	1,0	12,5	0,7	24,8	25	0,5	0,47	Різець прохідний Р6М5

Продовження таблиці 3.10

1	2	3	4	5	6	7	8	9	10	11	12	13	14	15	16
020	Токарна напівчисто ва. Підрізуван ня торця Напівчисто ве точіння.	16К20Ф3	L= 127 596 420 Ø 120 160 220 210 140	2.5 2.5 2.5 1.0 1.0 1.0 1.0 1.0	37	0,5	1,0	0,8	15	0, 6  0, 6	29,8	30	0, 5  0, 5	0, 42  59 ,2	Різець прохідний Р6М5
025	Шліфуванн я	3М151	Ø 120 160 220	0.5 0.5 0.5	37	0,6	1,1	0,8	20, 5	0, 6	40,7	45	0, 2	17 ,4	
030	Свердлиль но- фрезерно- розточувал ьна. Шпонка (2шт) Лиски (2шт) 2 отв. 3 отв.	2А622МФ2	R16 X10 5 100 X10 7 M1 0  Ø30	16 15 5 5 15	22 37 27, 6 7 20, 1	1,1 1,0 0,6 0,6 0,7 0,6 0,7	0,5 0,9 0,5 1,0 1,1 1,0	1,15 0,9 1,0 1,0	15, 3 18, 3 20, 64, 9 22, 6	0, 15 0, 1 0, 16 0, 5 0, 34	153 58,3 821, 3 156 213	15 5 60 84 0 15 6 24 0	62 0. 15 0. 6 0, 2 0, 45 0, 77 3, 0		
035	Токарна	16К20Ф3	РІЗЬОВІ ЗАМКОВА ДСТУГОСТ 75295-59	-	20	0,7 5	-	-	15	3, 3	32,5	35	3, 95	1, 1	Різець різьбовий Р6М5
040	Свердли- льно- фрезерно- розточуваль на.	2А622МФ2	Ø90 L52 0	45	26	0,6 5	1,1 5	0,8	15, 6	0, 4	55	55	1, 3	23 ,6	Свердло збірне перове Р6М5

Таблиця 3.11 - Нормування технологічних операцій

№ і найменування операцій	T <sub>о</sub>	T <sub>в</sub>			T <sub>оп</sub>	T <sub>об</sub>		T <sub>оп</sub>	T <sub>шт</sub>	T <sub>п.з</sub>	n	T <sub>штж</sub>
		T <sub>ус+Т<sub>з</sub></sub>	T <sub>доп</sub>	T <sub>из</sub>		T <sub>тех</sub>	T <sub>орг</sub>					
1	2	3	4	5	6	7	8	9	10	11	12	13
005 Фрезерно- центрувальна	0,28	0,134	0,2	0,09	0,704	0,012	0,008	0,04	0,84	30	10	3,84
010 Токарна чорнова	62,8	0,478	0,17	3,31	66,758	1,75	1,14	3,34	72,788	31,2	10	76,108
015 Токарна напівчистова	61,07	0,478	0,25	3,31	65,10	1,697	1,1	3,26	71,16	31,2	10	74,28
020 Токарна чистова	59,62	0,478	0,25	3,31	63,658	1,65	1,08	3,18	69,577	31,2	10	12,697
025 Шліфування	17,4	0,478	0,25	0,99	19,11	0,725	0,33	0,96	21,13	27,7	10	23,90
030 Свердлильно- фрезерно- розточувальна. фрезерувати: 2 шпонки, 2 лиски свердлити: 3 отв. Ø30 2 отв. M20	0,6 4,6 3,0 0,45 0,77	0,332	0,23	2,23	12,212	6,05	0,55	0,225	19,037	27	10	27,737
035 Токарна	1,1	0,234	0,10	0,72	2,15	0,08	0,04	0,10	2,38	30,7	10	5,45
040 Свердлильно- фрезерно- розточувальна. свердлити: отв. Ø90 L=520	23,6	0,166	0,07	0,24	24,076	0,55	0,24	1,204	26,07	14	10	27,47

#### 4 ТЕХНІКО-ЕКОНОМІЧНЕ ОБҐРУНТУВАННЯ ВАРІАНТІВ МАРШРУТУ ТЕХНОЛОГІЧНОГО ПРОЦЕСУ

Розрахунок проводиться в математичній програмі з метою виявлення умов застосування верстату з ЧПК. Таким чином при однаковій заготовці та тривалості випуску деталей видно, що один верстат з ЧПК замінює 4 універсальні верстати.

Вихідні дані					
Дані	Базовий варіант				Новий варіант
	16K20П	16K20П	16K20П	16K20П	16K20Ф3
<i>Деталі</i>					
Річний обсяг випуску деталей N, шт.	1200				2000
Кількість запусків партій деталей в рік, шт	12				12
Тривалість випуску деталей Z, років	3				3
Штучний час обробки деталі $t_{шт}$ , хв.	120	120	120	120	103,37
Час наладки верстата, хв.	0	0	0	0	35,2
Розряд:	0				
контролера	5				0
верстатника	5	5	5	5	3
наладчика	3	3	3	3	3
наладчика інструменту		0			4
Кількість кадрів програми, шт.		0			100
Вартість заготовки $S_{заг}$ , грн.	13743				13743
Вартість комплекту спец. пристосувань Кпр, грн					
Оптова ціна на прокат одного УСП Ц <sub>усп</sub> , грн					
Середній час налагодження за прибором одного інструменту поза верстатом, хв.					20
Середній період стійкості інструменту, хв.	60	60	60	60	90
Середня кількість граней пластинки, шт.	1	1	1	1	3
Коефіцієнт, що враховує питому вагу основного часу в штучному $K_T$	0,083	0,083	0,083	0,083	0,083
Вартість одного кадру ПК, грн.		0			8,9

					КНУ.КМР.131.24.1-09.04.ТЕОВ		
Змн.	Арк.	№ докум.	Підпис	Дата			
Розроб.		Ковалевський			ТЕХНІКО- ЕКОНОМІЧНЕ ОБҐРУНТУВАННЯ ВАРІАНТІВ ВИБОРУ		
Перевір.		Пивінла					
Н. Контр.		Нечаєв			Літ.	Арк.	Акрушів
Зав. каф.		Рязанцев			Каф. ТМ, гр.ПМ-23м		

Вартість розробки ПК $K_{ПК}$ , грн.		0			340
Середньочасова зарплатня робітника, грн:					
верстатника $H_{ст}$	33,6	33,6	33,6	33,6	20,1
наладчика $H_{нал}$	33,6	33,6	33,6	33,6	34,3
наладчика інструмента $H_{ін}$					31,1
контролера $H_{к}$		29,8			29,8

### Верстати

Клас точності верстата	<b>H</b>	<b>H</b>	<b>H</b>	<b>H</b>	<b>A</b>
Маса верстата, т	<b>3</b>	<b>3</b>	<b>3</b>	<b>3</b>	<b>5</b>
Габарити верстата (довжина x ширина), м.	2,5 x 2,7	2,5 x 2,7	2,5 x 2,7	2,5 x 2,7	3,7 x 2,2
Габарити пристрою ЧПК, м					0,5 x 0,5
Тип пристрою ЧПК					FANUC 0iMF
Строк служби верстата до капітального ремонту $T_{рп}$ , років	7	7	7	7	8
Встановлена потужність всіх електродвигунів головного руху, кВт	10	10	10	10	20
Категорія складності ремонту верстата ЕРС:					
механічної частини $R_m$	<b>25</b>	<b>25</b>	<b>25</b>	<b>25</b>	<b>35</b>
електротехнічної частини $R_e$	<b>21</b>	<b>21</b>	<b>21</b>	<b>21</b>	<b>32</b>
Кількість верстатів, що обслуговує один робочий $d$ , шт	<b>1</b>	<b>1</b>	<b>1</b>	<b>1</b>	<b>2</b>
Оптова ціна верстата $\Pi$ , грн.	<b>11000</b>	<b>11000</b>	<b>11000</b>	<b>11000</b>	<b>23000</b>
Коефіцієнт завантаження верстата $\eta_z$	<b>0,75</b>	<b>0,75</b>	<b>0,75</b>	<b>0,75</b>	<b>0,8</b>
Площа верстата за габаритами $A$ , м. кв.	<b>25,0</b>	<b>25,0</b>	<b>25,0</b>	<b>25,0</b>	<b>50,0</b>

Площа верстата за габаритами $A$ , м. кв.	<b>25,0</b>	<b>25,0</b>	<b>25,0</b>	<b>25,0</b>	<b>50,0</b>
Площа пристрою ЧПК $A_y$ , м. кв.					<b>1,44</b>
Витрати на одну одиницю ЕРС верстата, грн.					
механічної частини $H_m$	<b>100</b>	<b>100</b>	<b>100</b>	<b>100</b>	<b>325</b>
електротехнічної частини $H_e$	<b>86</b>	<b>86</b>	<b>86</b>	<b>86</b>	<b>60</b>
Норматив річних витрат на поточне обслуговування та ремонт ПЧПК $Q$ , грн.					<b>11950</b>

Змн.	Арк.	№ докум.	Підпис	Дата

КНУ.КМР.131.24.1-09.04.ТЕОВ

Арк.

Коеф., що враховує додаткову площу верстата, $\gamma$	4,5	4,5	4,5	4,5	4
Коеф., що враховує клас точності верстата, $\mu$	1	1	1	1	1,2
Ефективний річний фонд часу роботи верстата $\Phi_{об}$ , год	4055	4055	4055	4055	3950

Виробничі та інші площі					
Вартість 1 м. кв. площі механічної $\Pi_{пл.зд.}$ , грн	500				500
Вартість 1 м. кв. площі, що займають службово-побутові приміщення $\Pi_{сл. поб.}$ , грн	1000				1000
Площа службово-побутових приміщень, що приходяться на одного робочого $A_6$ , м. кв.	7				7
Витрати на утримання та амортизаційні витрати на 1 м. кв. цеху $H_{пл.}$ , грн.	180	180	180	180	180

Розрахунок допоміжних показників					
Дані	Базовий варіант				Новий варіант
	16К20П	16К20П	16К20П	4-ий верстат	16К20Ф3
Трудомісткість обробки $T_{шт}$ , год	2400	2400	2400	2400	3445,666667
Час наладки верстата впродовж року $T_n$ , год	0	0	0	0	7,04
Час наладки інструмента поза верстатом впродовж року $T_{н.ін}$ , год	0	0,00	0	0	265,44
Час контролю деталей впродовж року $T_k$ , год	254,5	199,2	199,2	199,2	125,2
Кількість верстатників $P_{ст}$ , чол. (розрах.)	0,80	0,80	1,29	1,29	0,93
(дійсна)	1	1	2	2	1
Кількість наладчиків верстатів $P_n$ , чол. (розрахункова)	0,0000	0,0000	0,0000	0,0000	0,0038
(дійсна)	0	0	0	0	1
Кількість наладчиків інструмента поза верстатом $P_{н.ін}$ , чол. (розрахункова)	0	0,0000	0	0	0,14271
(дійсна)	0	0	0	0	1

Змн.	Арк.	№ докум.	Підпис	Дата

КНУ.КМР.131.24.1-09.04.ТЕОВ

Арк.

Кількість контролерів $R_k$ , чол. (розрах.)	0,14	0,14	0,107	0,11	0,15
(дійсна)	1				1
Додаткова кількість робочих по обслуговуванню верстатів з ЧПК $R_{дод}$ , чол (розрахункова)	0,00	0,00	0,00	0,00	0,55
(дійсна)	0	0	0	0	1
Загальна кількість працівників на річну програму випуску деталей, чол.	2				1
Частка завантаження верстата обробкою деталі в обсязі річного випуску $\beta$	0,79	0,79	0,7891	0,789	2,00

#### Собівартість механічної обробки річного випуску деталей

$$C = I_z + I_n + I_{ин} + I_{пк} + I_{пр} + I_{усп} + I_a + I_{пл} + I_{сл} + I_p + I_y + I_k,$$

де  $I_z$  – зарплатня верстатника;

$I_{пл}$  – витрати на утримання приміщення, яке займає верстат;

$I_n$  – зарплатня за наладку верстата;

$I_{сл}$  – витрати на амортизацію і утримання службово-побутових приміщень;

$I_{ин}$  – зарплатня налагоджувальника інструмента поза верстатом  $I_p$  – витрати на ремонт та технічне обслуговування обладнання;

$I_{пк}$  – витрати на підготовку та поновлення керуючої програми;  $I_y$  – витрати на технічне обслуговування і ремонт ЧПК;

$I_{пр}$  – витрати на ремонт та утримання спеціальних пристосувань  $I_k$  – зарплатня контролера

$C_1$  на деталь = 571,31

$I_{усп}$  – витрати на прокат універсально-зорних пристосувань при їх використанні;

$C_2$  на деталь = 120,87

$I_a$  – амортизаційні відрахування на повне відновлення обладнання;

$I_z$	$I_n$	$I_{ин}$	$I_{пк}$	$I_{пр}$	$I_{усп}$	$I_a$	$I_{пл}$	$I_{сл}$	$I_p$	$I_y$	$I_k$														
$C_1 =$	533782	+	0,00	+	0,00	+	0,00	+	0	+	0	+	1527,79	+	63922,52	+	49000	+	13592,3	+	0,0	+	23744,64	=	685569,23
$C_2 =$	57557	+	379,71	+	8255,31	+	113,33333	+	0	+	0	+	2024,00	+	74073,60	+	35000	+	31908,0	+	23900,0	+	8522,51	=	241733,93

#### 1. Зарплатня верстатника (основна та додаткова) $I_z$

$$I_z = \text{Net.zag} \cdot T_{шт} / d$$

де  $\text{Net.zag}$  – середньочасова заробітна платня верстатників зі усіма нарахуваннями, грн;

$T_{шт}$  – час обробки деталей в обсязі їх річного випуску, год;

$d$  – кількість верстатів, які обслуговує один робочий

$$\text{Net.zag} = \text{Net} + Z_d + C_{відр} + C_{спрем}$$

де  $\text{Net}$  – тарифна ставка верстатника, грн;

$Z_d$  – додаткова заробітна платня, 8%

$C_{відр}$  – відрахування на соціальне страхування, 12%

$C_{спрем}$  – преміальні доплати, 35%

		Базовий варіант				Новий варіант					
		$I_z =$	$\text{Net.zag}$	$T_{шт}$	$d$			$I_z =$	$\text{Net.zag}$	$T_{шт}$	$d$
16K20П	134033	55,85	2400	1	16K20Ф3	57557	33,41	3446	2		
16K20П	131682	54,87	2400	1	<b>Всього <math>I_{z2}</math></b>	<b>57557</b>					
16K20П	134033	55,85	2400	1							
16K20П	134033	55,847232	2400	1							
<b>Всього <math>I_{z1}</math></b>	<b>533782</b>										

#### 2. Зарплатня за наладку верстата $I_n$

$$I_n = \text{Hнал.zag} \cdot T_n$$

де  $\text{Hнал.zag}$  – середньочасова зарплатня налащиків з усіма нарахуваннями, грн;

$T_n$  – час налашки верстата впродовж року, год

$$\text{Hнал.zag} = \text{Hнал} + Z_d + C_{відр} + C_{спрем}$$

де  $\text{Hнал}$  – тарифна ставка налащика, грн;

$Z_d$  – додаткова заробітна платня, 8%

$C_{відр}$  – відрахування на соціальне страхування, 12%

$C_{спрем}$  – преміальні доплати, 30%

$$T_n = t_n \cdot j_p / 60$$

де  $t_n$  – час налашки верстата для обробки партій деталей, хв;

$j_p$  – кількість запусків партій деталей за рік

		Базовий варіант			Новий варіант				
		$I_n =$	$\text{Hнал}$	$T_n$			$I_n =$	$\text{Hнал}$	$T_n$
16K20П	0,00	52,84	0	16K20Ф3	379,71	53,94	7,04		
16K20П	0,00	52,84	0	<b>Всього <math>I_{n2}</math></b>	<b>379,71</b>				
16K20П	0,00	52,84	0						
16K20П	0,00	52,84	0						
<b>Всього <math>I_{n1}</math></b>	<b>0,00</b>								

Змн.	Арк.	№ докум.	Підпис	Дата
------	------	----------	--------	------

КНУ.КМР.131.24.1-09.04.ТЕОВ

Арк.





7. Амортизаційні відрахування на повне відновлення обладнання **И<sub>а</sub>**

$$И_a = K_6 \cdot A$$

де **A** – норма амортизаційних відрахувань на повне відновлення верстата, що приймається:

- для верстатів масою до 10 т, які оброблюють деталі металевими та абразивними інструментами, відповідно – 0,053 та 0,056;
- для верстатів масою вище 10 т – 0,04 та 0,042 відповідно

		Базовий варіант			Новий варіант			
		$И_a = K_6 \cdot A$			$И_a = K_6 \cdot A$			
16К20П		381,95	9549	0,04	16К20Ф3	2024,00	50600	0,04
16К20П		381,95	9549	0,04	<b>Всього И<sub>а2</sub></b>	<b>2024,00</b>		
16К20П		381,95	9549	0,04				
16К20П		381,95	9549	0,04				
<b>Всього И<sub>а1</sub></b>		<b>1527,79</b>						

8. Витрати на утримання приміщення, яке займає верстат **И<sub>пл</sub>**

$$И_{пл} = Н_{пл} \cdot (A + A_у) \cdot \gamma \cdot \beta$$

де **Н<sub>пл</sub>** – вартість амортизації та утримання 1 м. кв. площі механічного цеху

- для верстатів класів точності Н та П – 180 грн
- для верстатів класів точності В та ОВ – 200 грн

		Базовий варіант						Новий варіант					
		$И_{пл} = Н_{пл} \cdot (A + A_у) \cdot \gamma \cdot \beta$						$И_{пл} = Н_{пл} \cdot (A + A_у) \cdot \gamma \cdot \beta$					
16К20П		15981,71	180	25,0023	0	4,5	0,79	16К20Ф3	74074	180	50	1,44	
16К20П		15980,27	180	25	0	4,5	0,79	<b>Всього И<sub>пл2</sub></b>	<b>74073,60</b>				
16К20П		15980,27	180	25	0	4,5	0,79						
16К20П		15980,27	180	25	0	4,5	0,79						
<b>Всього И<sub>пл1</sub></b>		<b>63922,52</b>											

9. Витрати на амортизацію і утримання службово-побутових приміщень **И<sub>сл</sub>**

$$И_{сл} = Н_{пл} \cdot A_6 \cdot (P_{ст} + P_n + P_{доп} + P_k)$$

		Базовий варіант						
		$К_{сл} = Ц_{пл.б} \cdot A_6 \cdot (P_{ст} + P_n + P_{доп} + P_k)$						
<b>Всього К<sub>сл1</sub></b>		49000	1000	7	6	0	0	1

		Новий варіант						
		$К_{сл} = Ц_{пл.б} \cdot A_6 \cdot (P_{ст} + P_n + P_{доп} + P_k)$						
<b>Всього К<sub>сл2</sub></b>		35000	1000	7	1	2	1	1

10. Витрати на ремонт та технічне обслуговування обладнання **И<sub>р</sub>**

$$И_r = (H_1 \cdot R_1 + H_2 \cdot R_2) \cdot \mu \cdot \beta$$

де **H<sub>1</sub>, H<sub>2</sub>** – витрати на одинокі ремонтні складові відповідно механічної та електротехнічної частин, грн;  
**R<sub>1</sub>, R<sub>2</sub>** – ремонтна складові відповідно механічної та електротехнічної часток, що приймається за паспортом верстата, а для деяких верстатів ЧПК;

**μ** – коефіцієнт, який враховує клас точності верстата, що приймається для класів точності Н, П, В, А, С – відповідно 1, 1,2; 1,5; 1,8; 2,2

		Базовий варіант							Новий варіант						
		$И_r = (H_1 \cdot R_1 + H_2 \cdot R_2) \cdot \mu \cdot \beta$							$И_r = (H_1 \cdot R_1 + H_2 \cdot R_2) \cdot \mu \cdot \beta$						
16К20П		3398,1	100	25	86	21	1	0,79	16К20Ф3	31908,0	325	35	60	32	1,2
16К20П		3398,1	100	25	86	21	1	0,79	<b>Всього И<sub>р2</sub></b>	<b>31908,0</b>					
16К20П		3398,1	100	25	86	21	1	0,79							
16К20П		3398,1	100	25	86	21	1	0,79							
<b>Всього И<sub>р1</sub></b>		<b>13592,3</b>													

11. Витрати на технічне обслуговування і ремонт ЧПК **И<sub>у</sub>**

$$И_u = Q \cdot \beta$$

де **Q** – річні витрати при експлуатації у дві зміни і повний загрузці верста з ЧПК, грн

		Базовий варіант			Новий варіант			
		$И_u = Q \cdot \beta$			$И_u = Q \cdot \beta$			
16К20П		0	0	0,79	16К20Ф3	23900,0	11950	2,00
16К20П		0	0	0,79	<b>Всього И<sub>у2</sub></b>	<b>23900,0</b>		
16К20П		0	0	0,79				
16К20П		0	0	0,79				
<b>Всього И<sub>у1</sub></b>		<b>0,0</b>						

Змн.	Арк.	№ докум.	Підпис	Дата
------	------	----------	--------	------

### 12. Зарплатня контролера Ік

$$I_k = N_k \cdot T_k$$

де  $N_k$  – середньочасова заробітна платня контролера 5-го розряду, грн.;

$T_k$  – час контролю деталей впродовж року, год.

Для базових верстатів:

$$T_{k1} = 0,083 \cdot T_{шт}$$

де 0,083 – середньостатистична частка трудомісткості контрольних операцій

Для обробки на верстатах з ЧПК

$$T_{k1} = 0,2 \cdot T_{шт}$$

Базовий варіант				Новий варіант			
16К20П	$I_k = N_k \cdot T_k$	5936,16	29,8	199,20	16К20Ф3	$I_k = N_k \cdot T_k$	285,99
16К20П	$I_k = N_k \cdot T_k$	5936,16	29,8	199,20	Всього Ік2	8522,511933	
16К20П	$I_k = N_k \cdot T_k$	5936,16	29,8	199,20			
16К20П	$I_k = N_k \cdot T_k$	5936,16	29,8	199,20			
Всього Ік1		23744,64					

### Капітальні вкладення споживача

$$K = K_6 + K_{зд} + K_{сл} + K_{вез} + K_{пр} + K_{пу}$$

де  $K_6$  – балансова вартість верстата, грн.;

$K_{зд}$  – вартість приміщення, яке займає верстат, грн.;

$K_{сл}$  – вартість службово-побутових приміщень, грн.;

$K_{вез}$  – обігові кошти в незакінченому виробництві, грн.;

$K_{пр}$  – вартість комплексу спеціальних пристосувань, які використовуються на верстатах при обробці деталей, грн.;

$K_{пу}$  – витрати на створення керуючої програми (КП), грн.

	$K_6$	$K_{зд}$	$K_{сл}$	$K_{вез}$	$K_{пр}$	$K_{пу}$							
$K_1 =$	38195	+	177563	+	49000	+	13284841	+	0	+	0	=	13549599
$K_2 =$	50600	+	205760,00	+	35000	+	13803433	+	0	+	340	=	14095133,48

### 1. Балансова вартість верстата $K_6$

$$K_6 = C \cdot \alpha \cdot \beta$$

де  $C$  – оптова ціна верстата, грн

$\alpha$  – коэф., що враховує витрати на доставку та встановлення верстата та приймається рівним 1,1;

$\beta$  – частка завантаження верстата

$$\beta = T_{шт} + T_k / (F_{об} \cdot \eta_p)$$

Базовий варіант					Новий варіант							
16К20П	$K_6 = C \cdot \alpha \cdot \beta$	9549	11000,00	1,1	0,79	16К20Ф3	$K_6 = C \cdot \alpha \cdot \beta$	50600	23000,00	1,1	2,00	
16К20П	$K_6 = C \cdot \alpha \cdot \beta$	9549	11000,00	1,1	0,79	Всього $K_62$	50600					
16К20П	$K_6 = C \cdot \alpha \cdot \beta$	9549	11000	1,1	0,79							
4-ий верстат	$K_6 = C \cdot \alpha \cdot \beta$	9549	11000	1,1	0,79							
Всього $K_61$		38195										

### 2. Вартість приміщень, які займає верстат $K_{сл}$

$$K_{сл} = C_{пл.м} (A + A_y) \cdot \gamma \cdot \beta$$

де  $C_{пл.м}$  – вартість 1 м. кв. площі механічного цеху;

$A$  – площа, яку займає верстат по габаритах, м. кв.;

$A_y$  – площа, яку займають вносні, допоміжні пристрої, м. кв.;

$\gamma$  – коефіцієнт, який враховує додаткову площу

Базовий варіант							Новий варіант								
16К20П	$K_{сл} = C_{пл.м} (A + A_y) \cdot \gamma \cdot \beta$	44394	500	25,002	0	4,5	0,79	16К20Ф3	$K_{сл} = C_{пл.м} (A + A_y) \cdot \gamma \cdot \beta$	205760	500	(50 + 50)	1,44	4	2,00
16К20П	$K_{сл} = C_{пл.м} (A + A_y) \cdot \gamma \cdot \beta$	44390	500	25	0	4,5	0,79	Всього $K_{сл2}$	205760,00						
16К20П	$K_{сл} = C_{пл.м} (A + A_y) \cdot \gamma \cdot \beta$	44390	500	25	0	4,5	0,79								
4-ий верстат	$K_{сл} = C_{пл.м} (A + A_y) \cdot \gamma \cdot \beta$	44390	500	25	0	4,5	0,79								
Всього $K_{сл1}$		177563													

### 3. Вартість службово-побутових приміщень $K_{сл}$

$$K_{сл} = C_{пл.б} \cdot A_6 \cdot (P_{ст} + P_n + P_{под} + P_k)$$

де  $C_{пл.б}$  – вартість 1 м. кв. службово-побутових приміщень, грн.;

$A_6$  – площа службово-побутових приміщень, яка приходить на одного робочого;

$P_{ст}$ ,  $P_n$ ,  $P_{под}$  – кількість відповідно верстатників, наладчиків та додаткових робочих по обслуговуванню верстатів з ЧПК;

$P_k$  – кількість контролерів

Базовий варіант						
$K_{сл} = C_{пл.б} \cdot A_6 \cdot (P_{ст} + P_n + P_{под} + P_k)$	49000	1000	7	6	0	0
Всього $K_{сл1}$	49000					
Новий варіант						
$K_{сл} = C_{пл.б} \cdot A_6 \cdot (P_{ст} + P_n + P_{под} + P_k)$	35000	1000	7	1	2	1
Всього $K_{сл2}$	35000					

										Арк.
Змн.	Арк.	№ докум.	Підпис	Дата						



## 5 РОЗРОБКА РОЗРАХУНКОВО-ТЕХНОЛОГІЧНОЇ КАРТИ ТА КЕРУЮЧОЇ ПРОГРАМИ НА ВЕРСТАТ З ЧПК

Розробка токарної з ЧПК за допомогою автоматизованого програмування у програмному модулі Delcam Power Shape.

Мета. Визначити траєкторію руху інструментів та розрахувати координати опорних точок. Створити візуалізацію траєкторії переміщення інструменту в зоні токарного верстату 16К20Ф3. Зміст операції :точіння зовнішніх циліндричних поверхонь, підрізання торців, зняття фасок, точіння поверхонь R 65, точіння конусної поверхні.

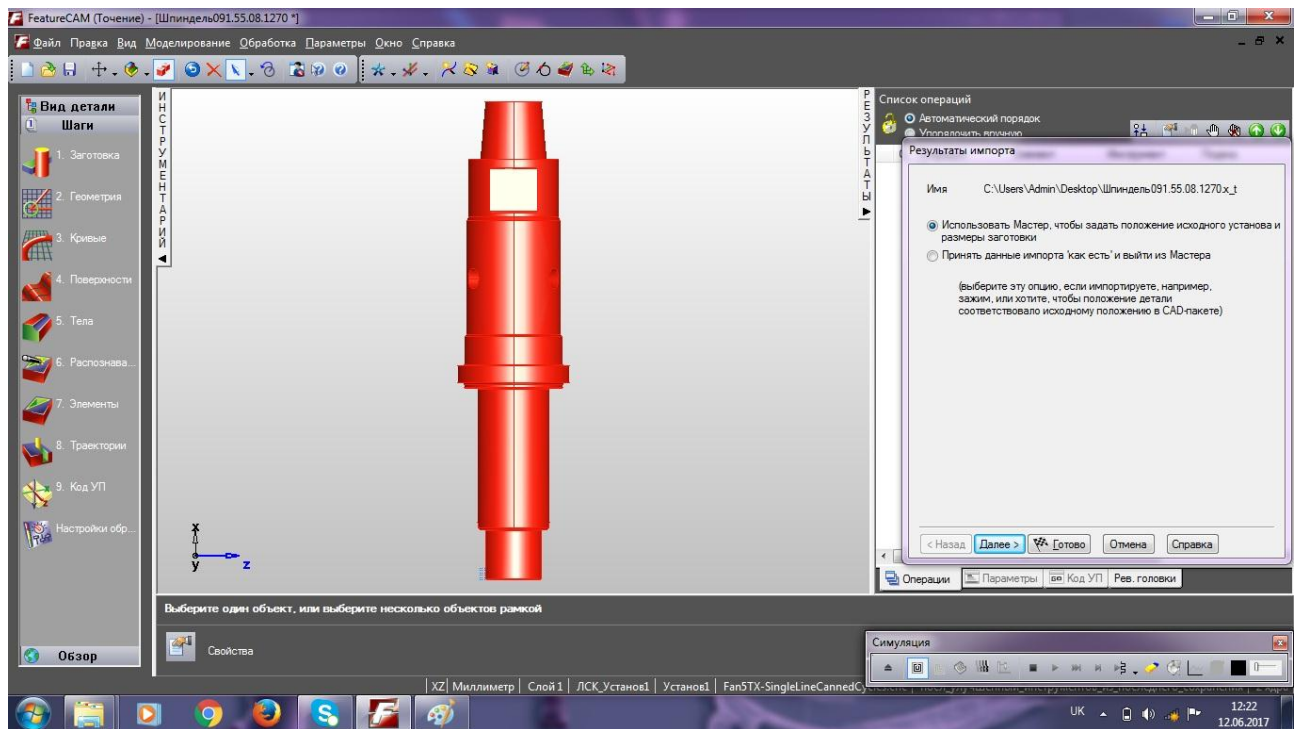


Рисунок 5.1-Імпорт деталі

КНУ.КМР.131.24.1-09.05.РРТК				
Змн.	Арк.	№ докум.	Підпис	Дата
Розроб.		Ковалевський		
Перевір.		Пивінла		
Н. Контр.		Нечаєв		
Зав. каф.		Рязанцев		
РОЗРОБКА РТК та КП				
Літ.    Арк.    Акрушів				
Каф. ТМ, гр.ПМ-23м				

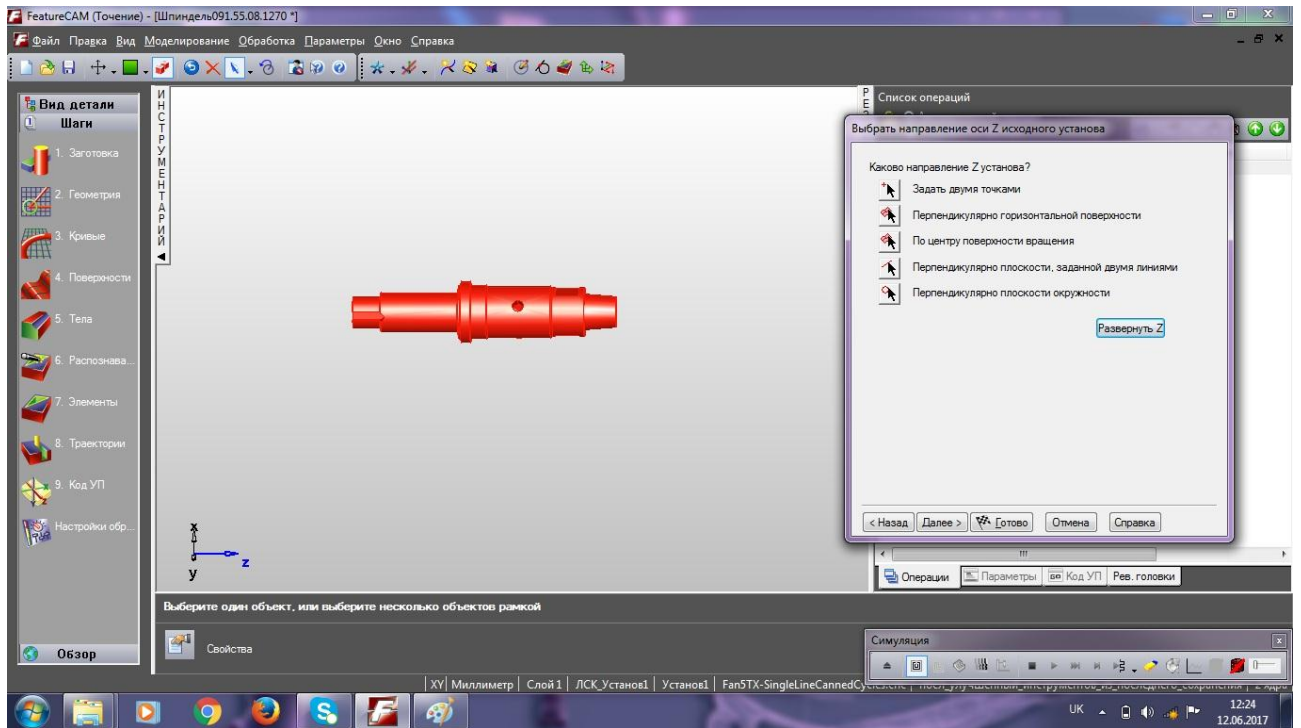


Рисунок 5.2- Вибір напрямку осі Z

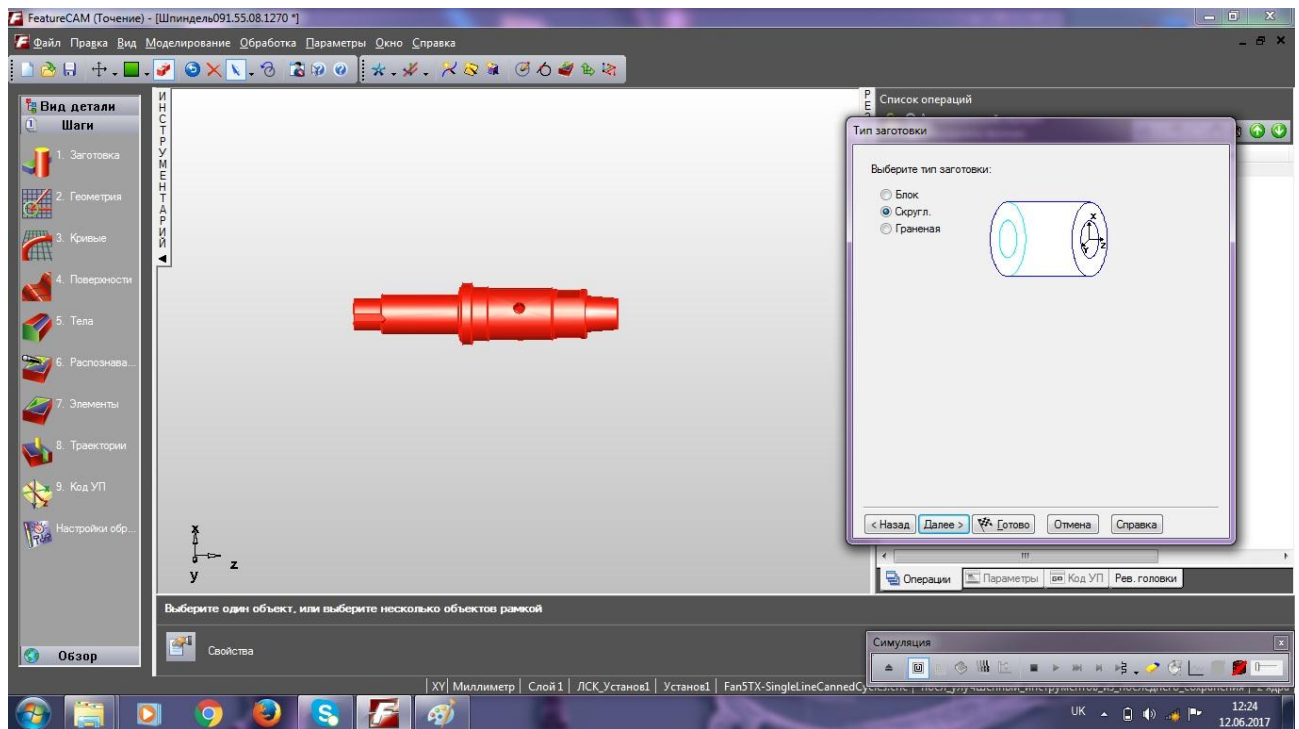


Рисунок 5.3- Вибір типу заготовки

Змн.	Арк.	№ докум.	Підпис	Дата

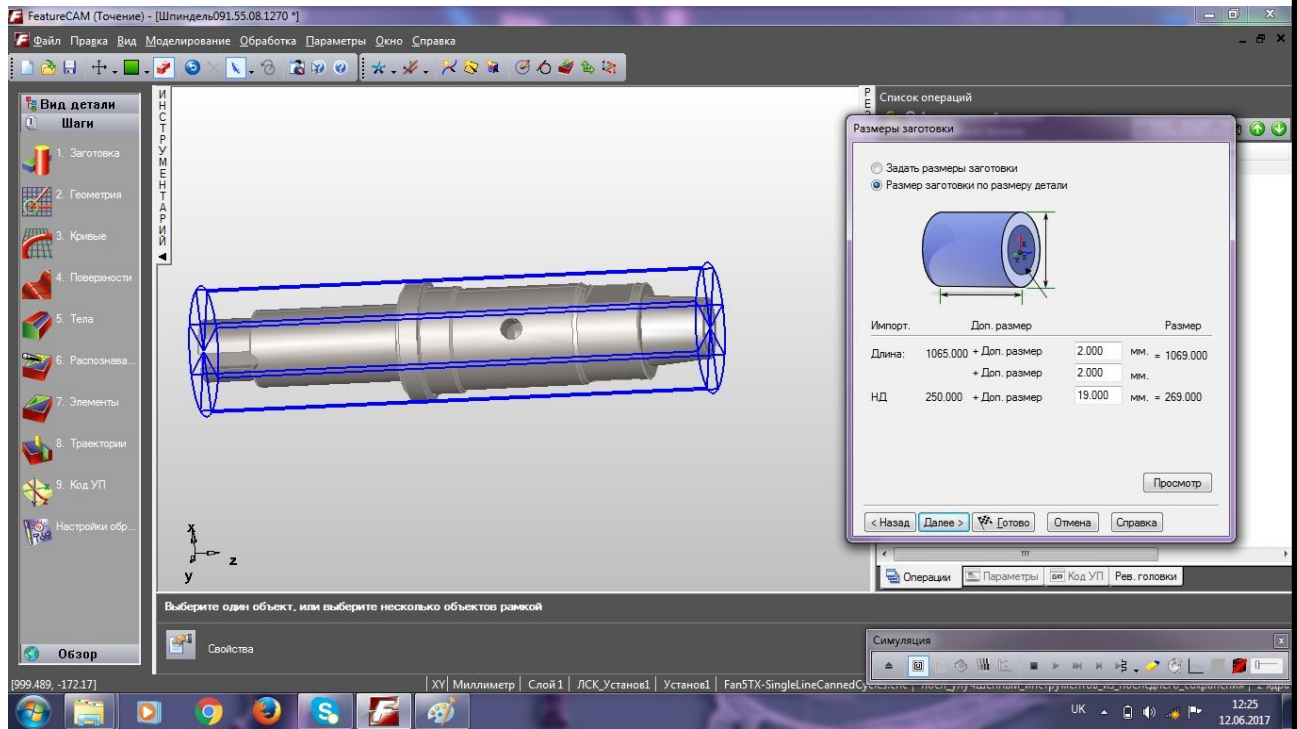


Рисунок 5.4- Установка размеров заготовки

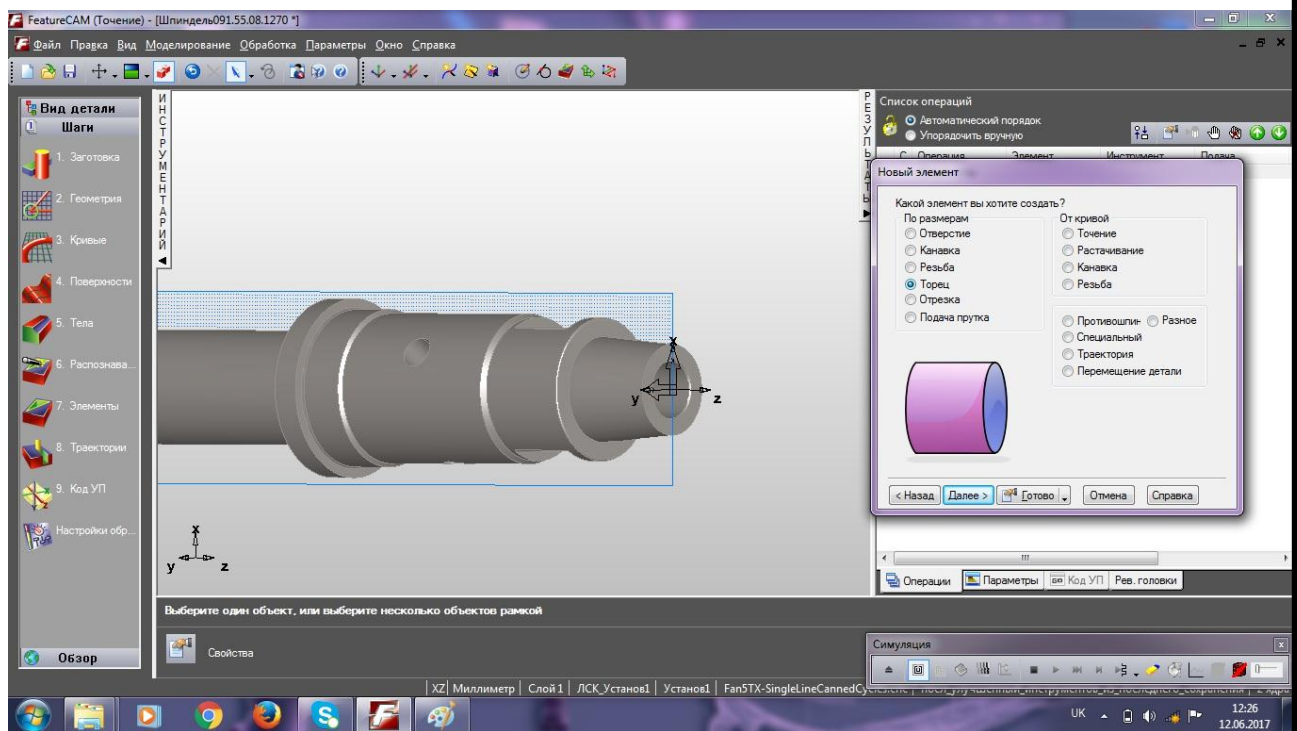


Рисунок 5.5- Элемент торець

						КНУ.КМР.131.24.1-09.05.РРТК	Арк.
Змн.	Арк.	№ докум.	Підпис	Дата			

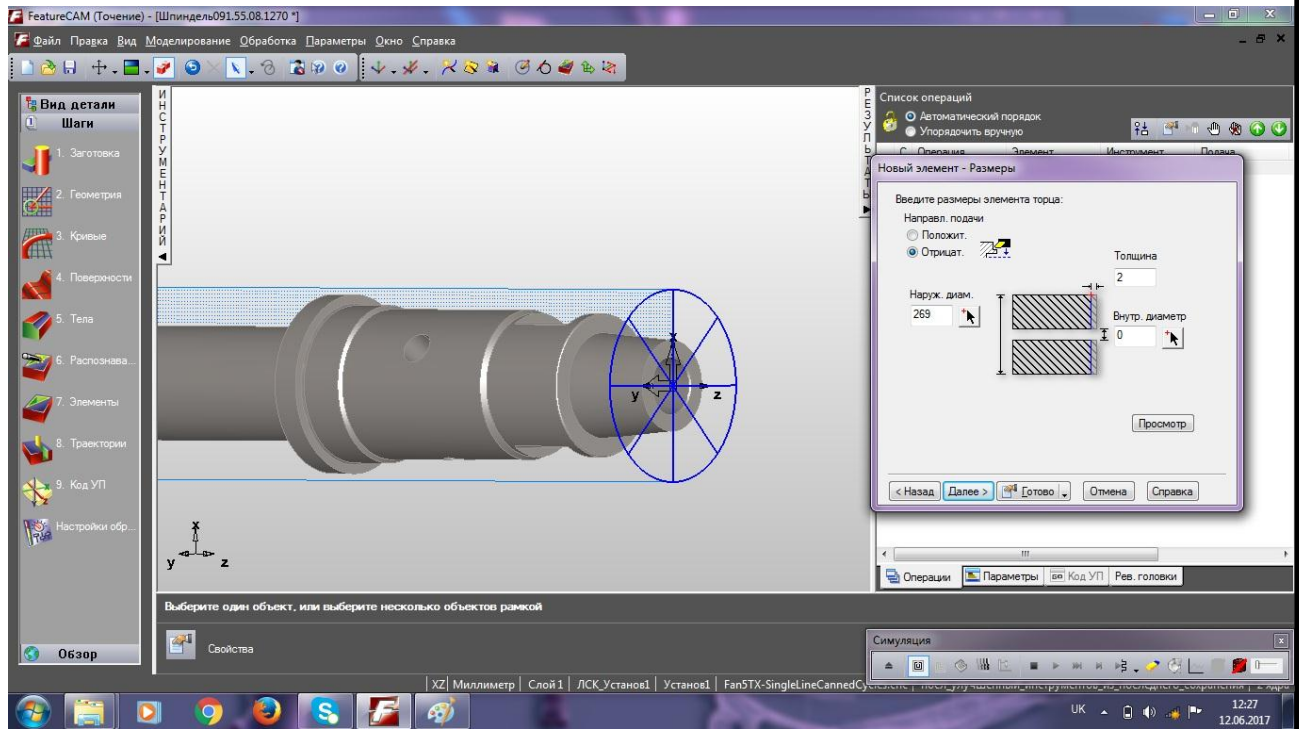


Рисунок 5.6-Элемент торець розміри

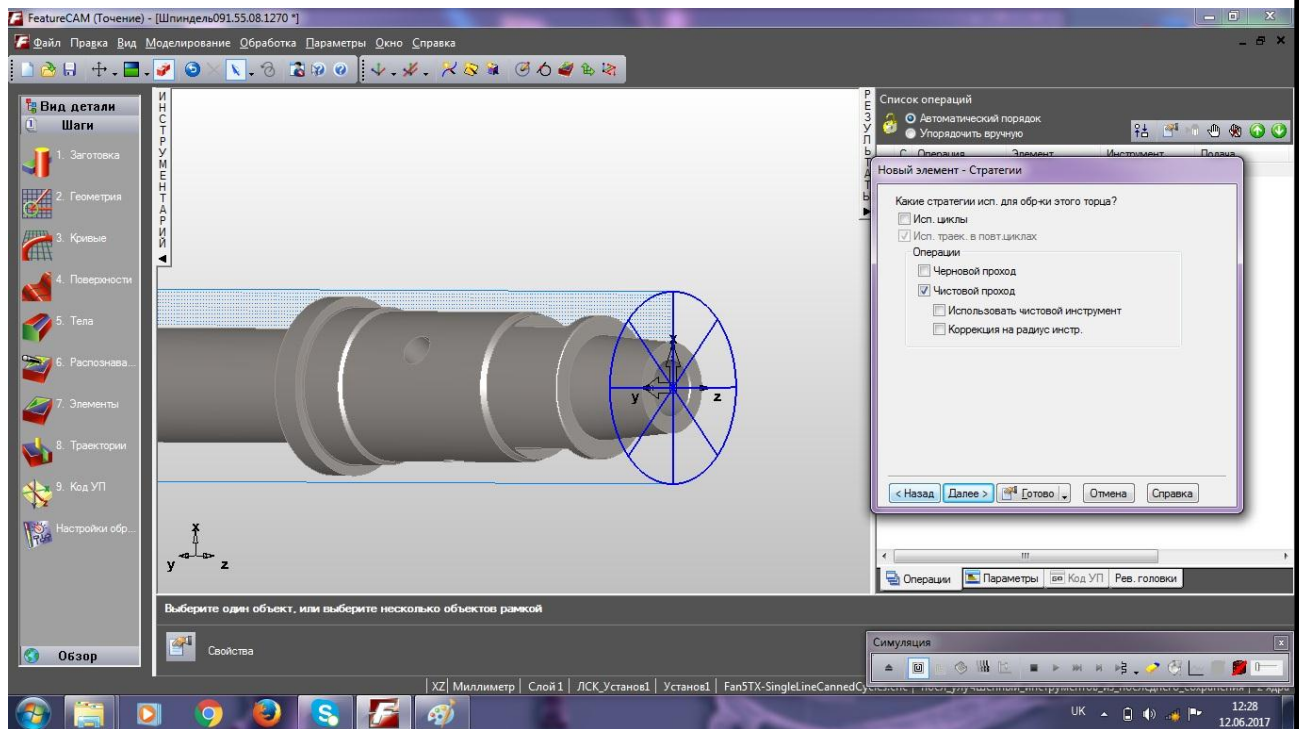


Рисунок 5.7- Стратегії обробки торця

									Арк.
Змн.	Арк.	№ докум.	Підпис	Дата					
КНУ.КМР.131.24.1-09.05.PPTK									

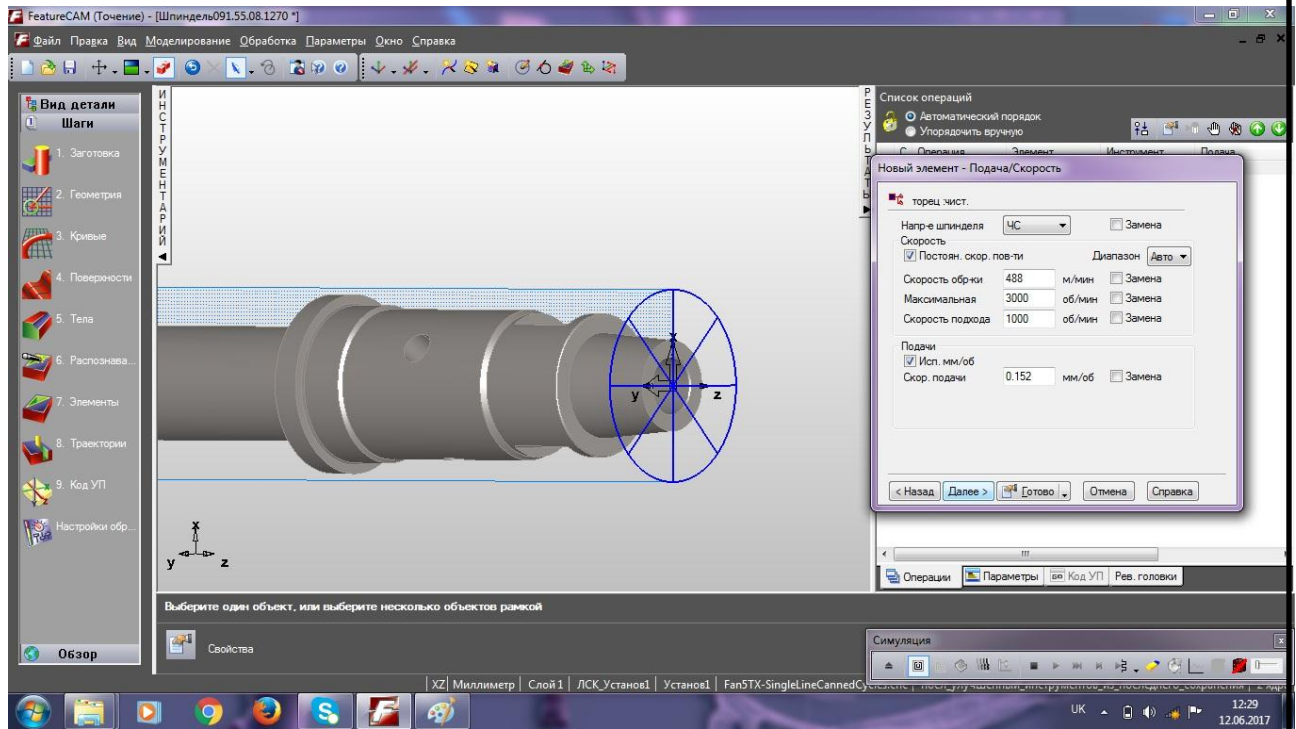


Рисунок 5.8- Режимы обработки торца

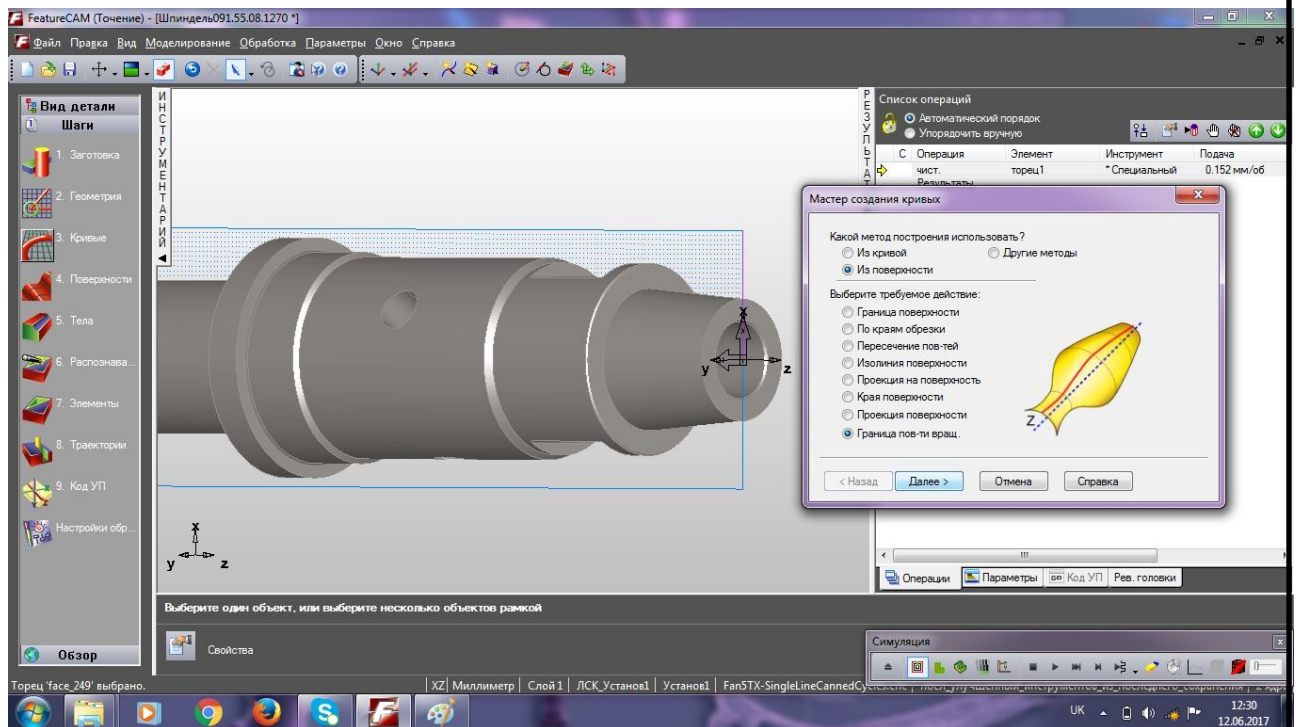


Рисунок 5.9- Створення кривих

Змн.	Арк.	№ докум.	Підпис	Дата





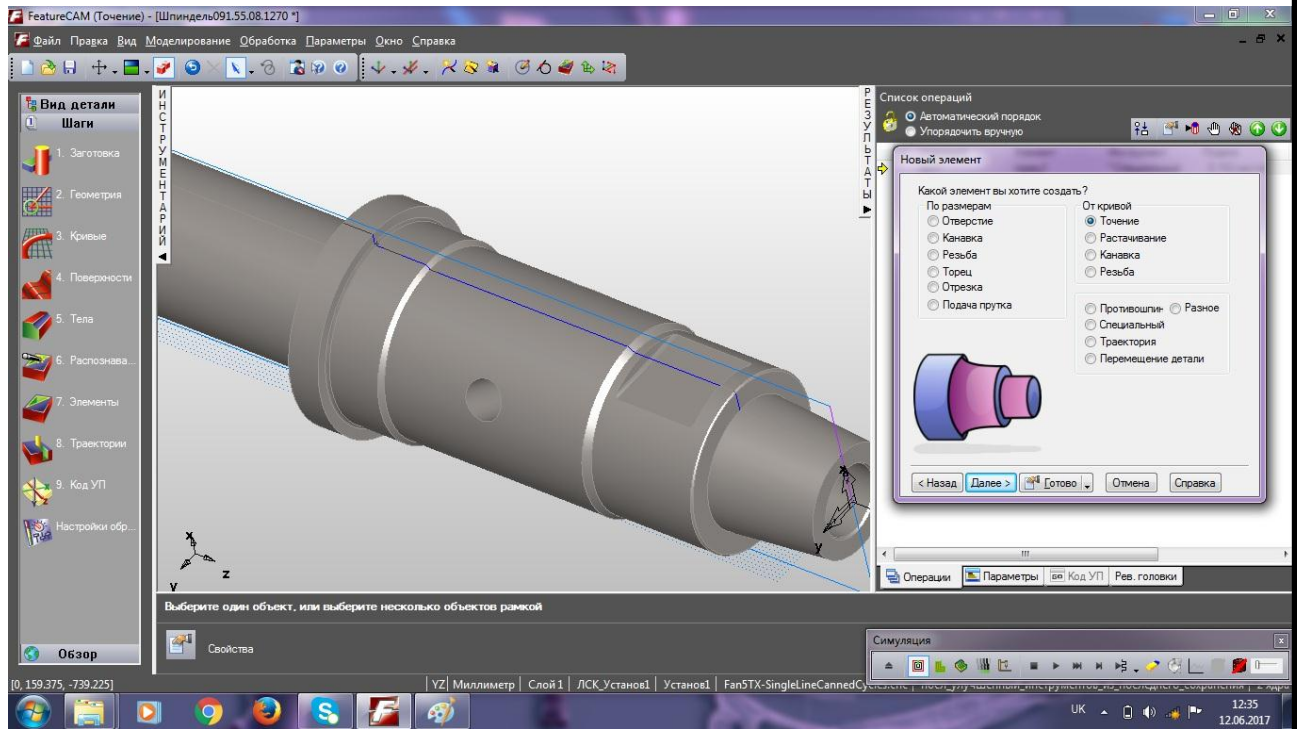


Рисунок 5.12- Элемент точіння

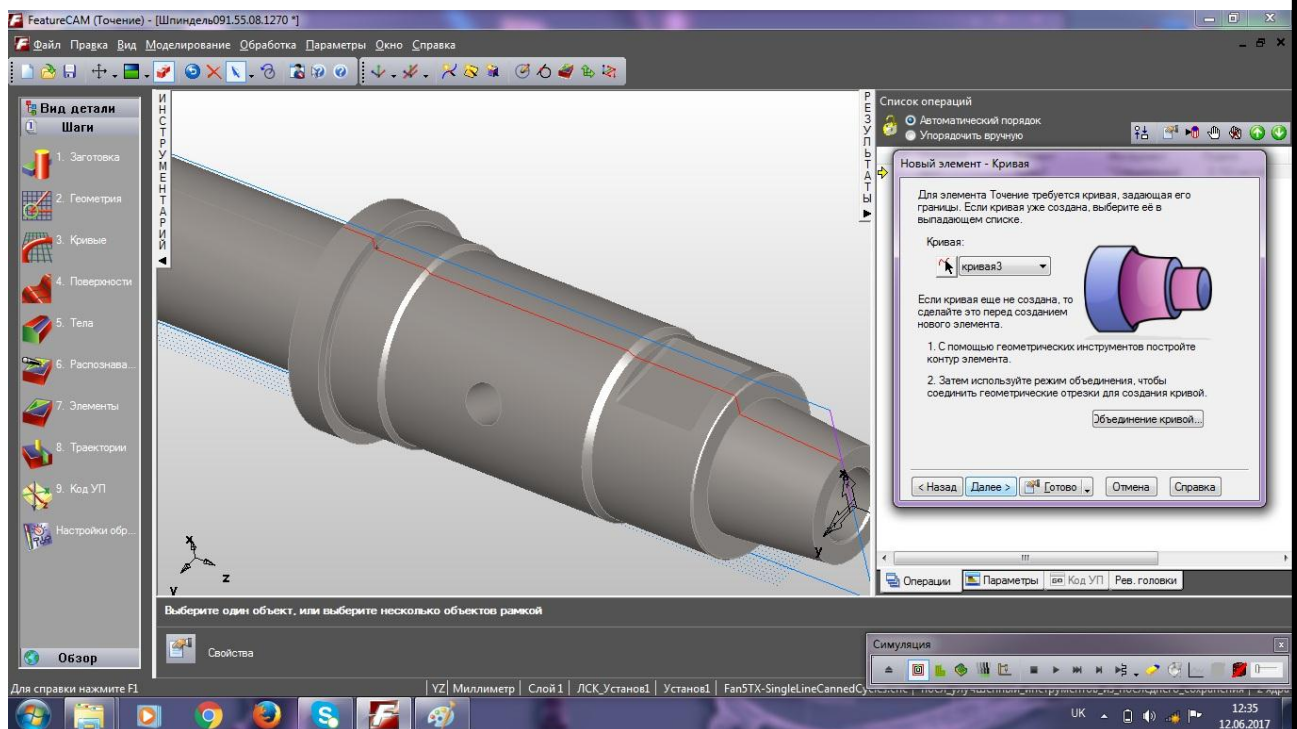


Рисунок 5.13 -Элемент крива

Змн.	Арк.	№ докум.	Підпис	Дата



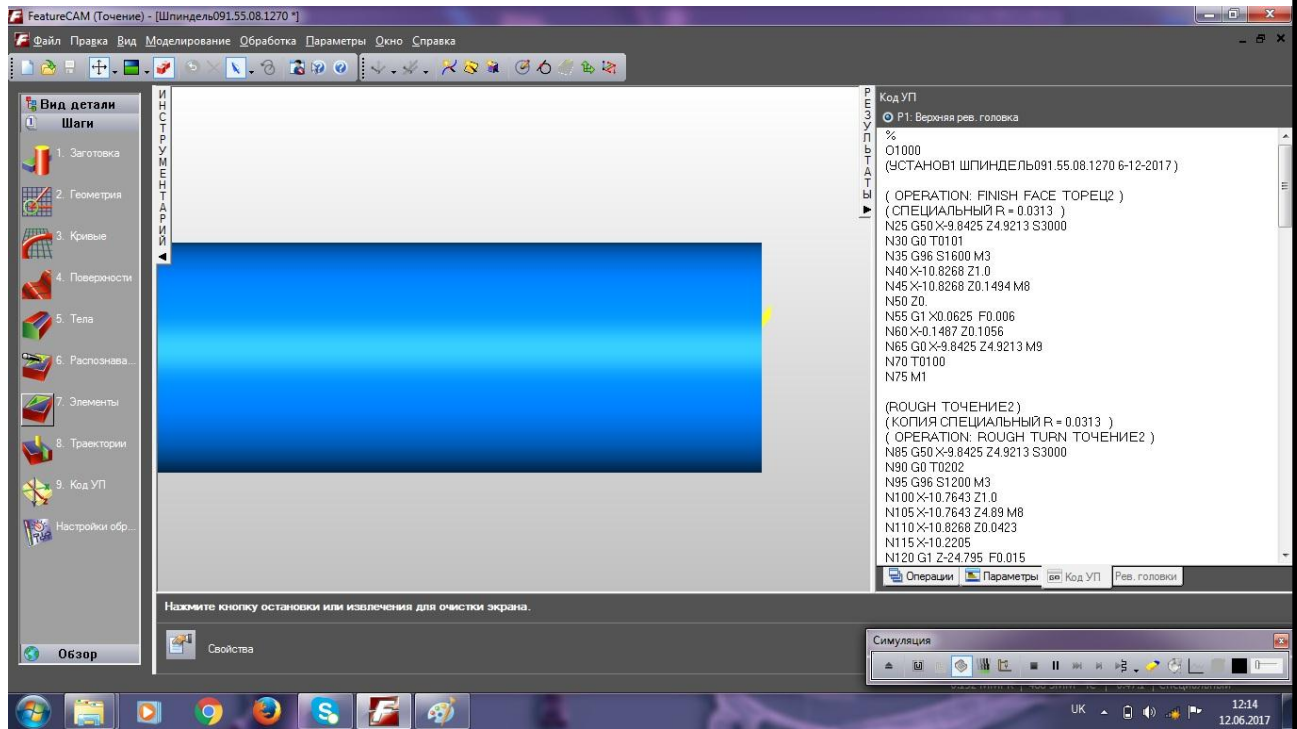


Рисунок 5.16- Підрізання торця

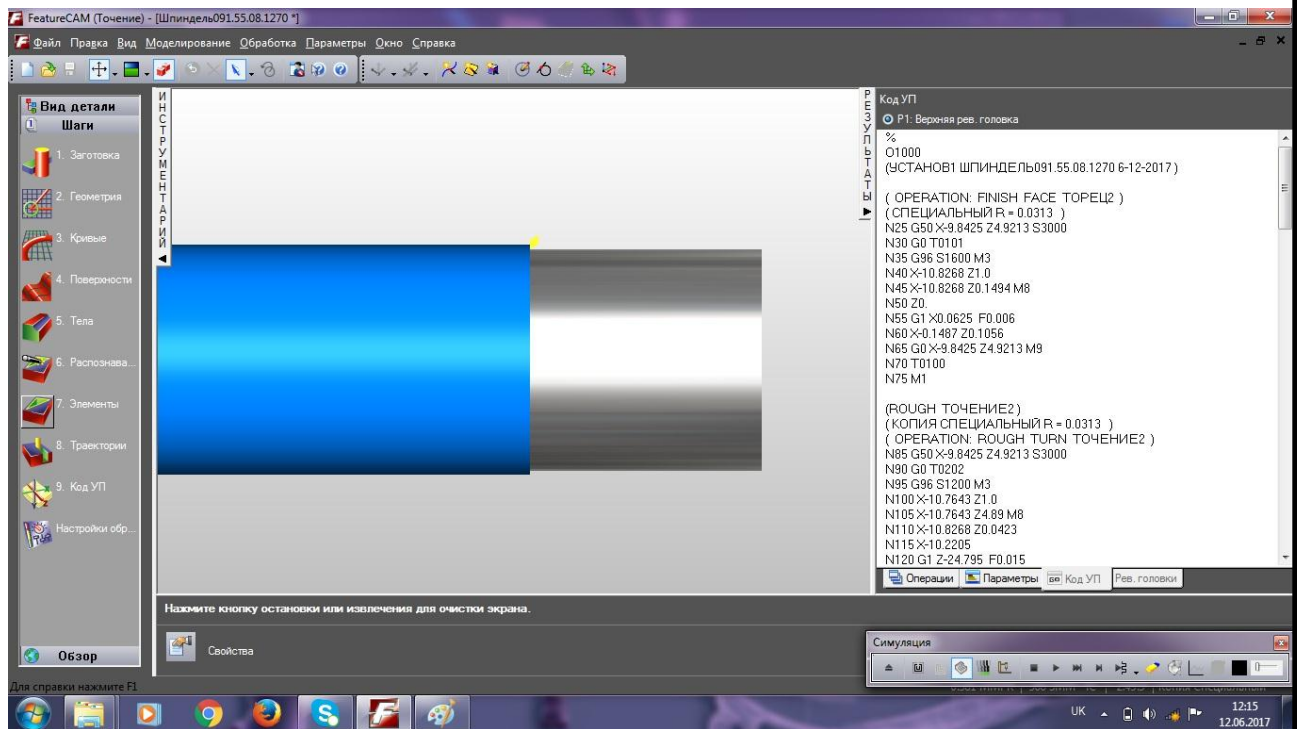


Рисунок 5.17 -Чорнове точіння циліндричної поверхні

						КНУ.КМР.131.24.1-09.05.РРТК	Арк.
Змн.	Арк.	№ докум.	Підпис	Дата			

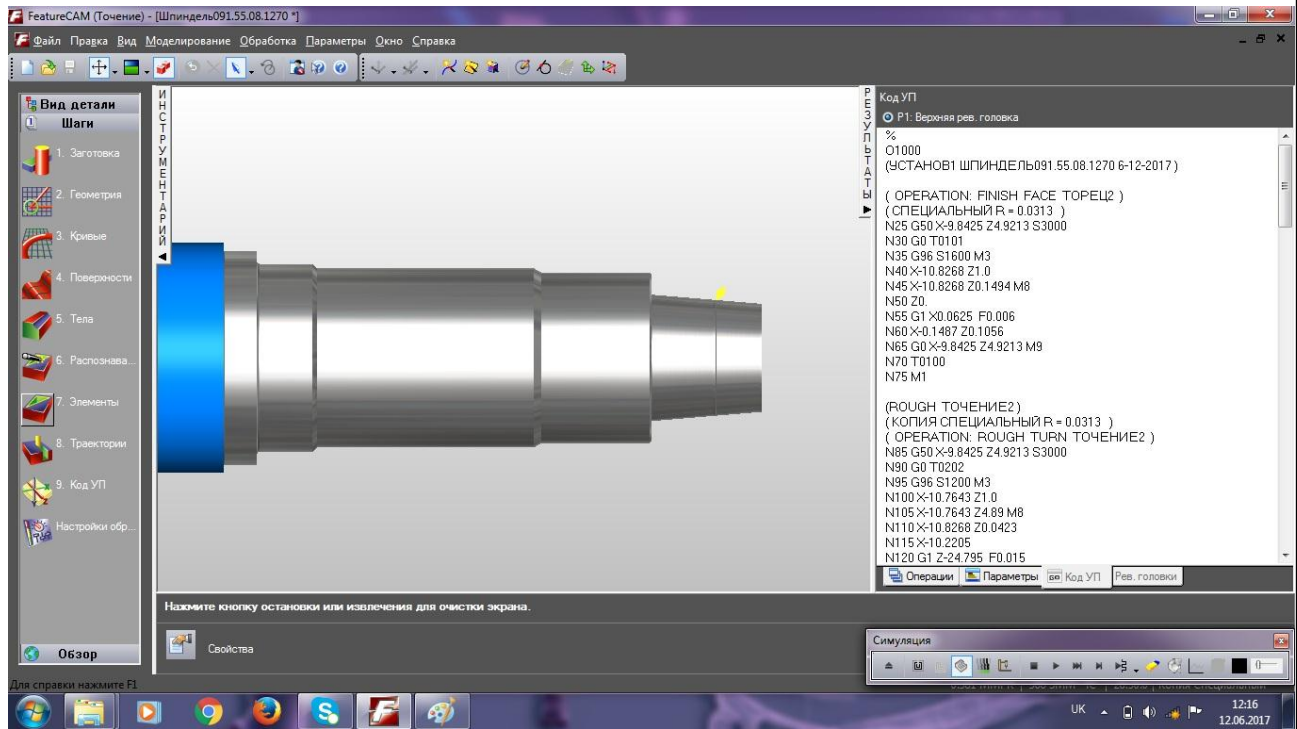


Рисунок 5.18- Кінець чорнового точіння

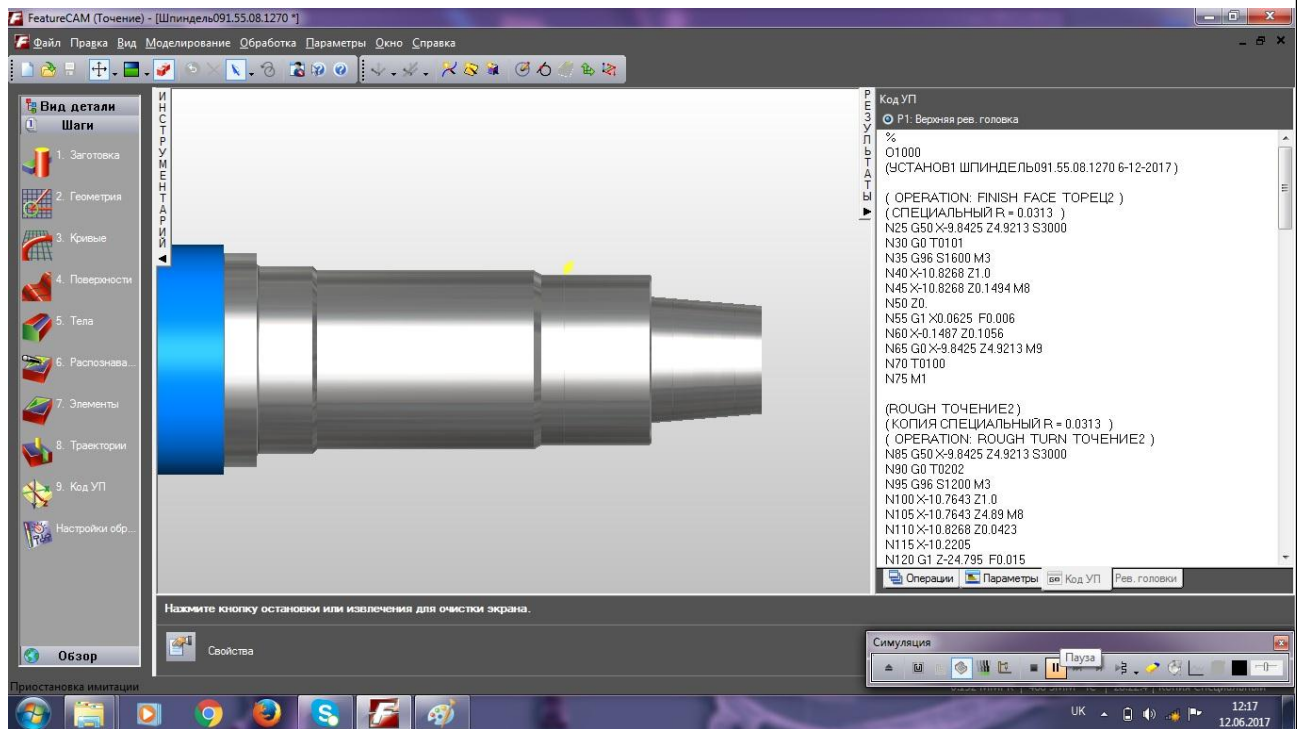


Рисунок 5.19- Чистове точіння

Керуюча програма

									Арк.
Змн.	Арк.	№ докум.	Підпис	Дата	КНУ.КМР.131.24.1-09.05.PPTK				

Таблиця 5.1-Керуюча програма

1	2
(ROUGH ТОЧІННЯ1) ( КОПІЯ СПЕЦІАЛЬНИЙ R = 0.0313 ) ( OPERATION: ROUGH TURN ТОЧІННЯ1 ) N85 G50 X-9.8425 Z4.9213 S3000 N90 G0 T0202 N95 G96 S1200 M3 N100 X-10.8268 Z1.0 N105 X-10.8268 Z4.9213 M8 N110 X-10.8893 Z0.0735 N115 X-10.2205 Z0.0397 N120 G1 G42 Z-24.7638 F0.015 N125 G40 X-10.6299 N130 G0 Z0.0397 N135 G1 G42 X-9.8504 N140 Z-24.7638 N145 G40 X-10.2598	N375 Z-5.0748 N380 G40 X-6.8403 N385 G0 Z0.0397 N390 G1 G42 X-6.0803 N395 Z-5.0748 N400 G40 X-6.48 N405 G0 Z0.0397 N410 G1 G42 X-5.72 N415 Z-4.4025 N420 X-5.832 Z-5.0748 N425 G40 X-6.1197 N430 G0 Z0.0397 N435 G1 G42 X-5.3597 N440 Z-2.2405 N445 X-5.72 Z-4.4025 N450 G40 X-5.7593
N150 G0 Z0.0397 N155 G1 G42 X-9.4567 N160 Z-23.2638 N165 X-9.8425 N170 G3 X-9.8504 Z-23.2677 R0.0039 N175 G1 G40 X-9.8898 N180 G0 Z0.0397 N185 G1 G42 X-9.063 N190 Z-23.2638 N195 G40 X-9.4961 N200 G0 Z0.0397 N205 G1 G42 X-8.6693 N210 Z-23.1496 N215 G2 X-8.8976 Z-23.2638 R0.1142 N220 G1 G40 X-9.1024 N225 G0 Z0.0397 N230 G1 G42 X-8.2756 N235 Z-20.5102 N240 X-8.667 Z-20.7059 N245 G3 X-8.6693 Z-20.7087 R0.0039 N250 G1 G40 X-8.7087	N455 G0 Z0.0397 N460 G1 G42 X-4.9993 N465 Z-0.0784 N470 X-5.3597 Z-2.2405 N475 G40 X-5.399 N480 G0 X-5.4613 Z0.0706

					КНУ.КМР.131.24.1-09.05.РРТК	Арк.
Змн.	Арк.	№ докум.	Підпис	Дата		

Продовження таблиці 5.1

1	2
	<p>( OPERATION: FINISH TURN ТОЧІННЯ1 )</p> <p>N490 G50S3000  N495 G96S1600M3  N500 X-5.1545 Z0.0307  N505 X-5.0922 Z0.0281  N510 G1 G42 X-4.9915 Z-0.0787 F0.006  N515 X-5.8248 Z-5.0787  N520 X-7.7165  N525 X-7.874 Z-5.1575  N530 Z-10.1709  N535 X-8.2677 Z-10.5118  N540 Z-20.5118  N545 X-8.6614 Z-20.7087  N550 Z-23.1496  N555 G2 X-8.8976 Z-23.2677 R0.1181  N560 G1 X-9.8425</p> <p>N565 Z-24.7638  N570 G40 X-10.0787  N575 G0 X-10.8893  N580 Z0.1494  N585 X-9.8425 Z4.9213 M9  N590 T0200  N595 M30  %</p>

					КНУ.КМР.131.24.1-09.05.РРТК	Арк.
Змн.	Арк.	№ докум.	Підпис	Дата		

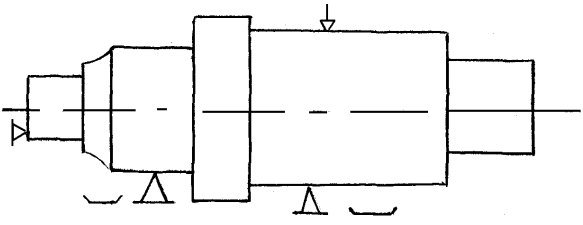
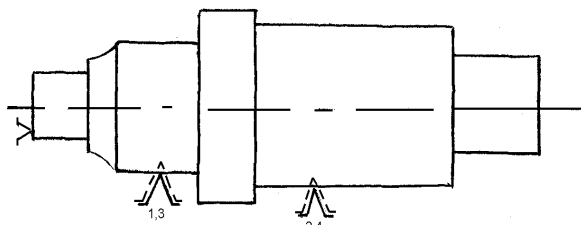
## 6 ПРОЕКТУВАННЯ ТЕХНОЛОГІЧНОГО ОСНАЩЕННЯ

### 6.1 Проектування верстатного пристосування

Пристосування розробляється для закріплення деталі шпindelь на верстаті 2А622МФ2 (свердлильно-фрезерно-розточувальної) для операції – свердління отвору  $\varnothing 90+0,8$  і  $L=520-2$  мм перовим свердлом.

Даний верстат має два шпindelі, вертикальний і горизонтальний. Різальний інструмент закріплюється в горизонтальному шпindelі, тому для установки деталі можна застосовувати схему базування на призмах з упором у торець і затискачем зверху. Схема пристосування буде мати вигляд.

Таблиця 6.1 - Схема пристосування

Умовна	Теоретична схема
	

Пристосування складається із плити, двох стандартних опорних призм за ДСТУГОСТ 12195-66, упору й затискача. Всі елементи пристосування до плити кріпляться болтами й гвинтами й від зрушення їх запобігають штифти.

Умови зрушення

$$P_3 = \frac{2 * K * H}{D_3 * (f_2 + f_1 / \sin 0.5\alpha)} \quad (\kappa H) \quad (6.1)$$

$K=2$  - коефіцієнт запасу.

$f_1=f_2=0,16$  – коефіцієнти тертя відповідно в місцях контакту заготівлі з опорами й ЗМ.

$D_3=210$  мм - це діаметр оброблюваної заготівлі.

$$M = 10 * C_m * D^q * S^y * K_p \quad (6.2)$$

$C_m=0,0345$  ;  $D=90$ мм;  $q=2$ ;  $y=0,8$ ;  $S=0.48*0.8=0.384$ мм/об;  $K_p=1$ ;

$$V = 10 * 0.0345 * 90^2 * 0.384^{0.8} * 1 = 1299.5 H / м$$

$$P_3 = \frac{2 * 1,5 * 1299,5}{210 * (0,16 + 0,16 / \sin 45^\circ)} = 3898,5 / 81,12 = 48,06 \kappa H$$

					КНУ.КМР.131.24.1-09.06.ПТО		
Змн.	Арк.	№ докум.	Підпис	Дата			
Розроб.		Ковалевський			Літ.	Арк.	Акрушів
Перевір.		Пивінла					
Н. Контр.		Нечаєв			Каф. ТМ, гр.ПМ-23м		
Зав. каф.		Рязанцев					
ПРОЕКТУВАННЯ ТЕХНОЛОГІЧНОГО ОСНАЩЕННЯ							



Сила різання - осьова сила

$$P_o = 10 * C_p * D^q * S^y * K_p \quad (6.3)$$

$$C_p = 68$$

$$q = 1$$

$$y = 0,7$$

$$P_o = 10 * 68 * 90 * 0,384^{0,7} * 1 = 31317,2H = 31,32кН$$

$$P_3 \geq P_o$$

$$48,06 > 31,32$$

Умова виконана.

## 6.2 Розрахунок пристосування на точність

При розрахунку пристосування на точність сумарна погрішність пристосування повинна бути менше або дорівнює допуску на оброблюваний розмір.

$$\Sigma \varepsilon \leq T \quad (6.4)$$

Сумарна погрішність складається з: погрішність установки  $\varepsilon_{yc}$   
 погрішність обробки  $\varepsilon_{обр}$   
 погрішність самого пристосування  $\varepsilon_{ін}$

$$\Sigma \varepsilon = \varepsilon_{yc} + \varepsilon_{обр} + \varepsilon_{ін} \quad (6.5)$$

Погрішність установки складається з погрішності базування й погрішності закріплення.

$$\varepsilon_{yz} = \sqrt{\varepsilon_{\delta}^2 + \varepsilon_3^2}$$

$$\varepsilon_{\delta} = 0,5 * T * \alpha * \frac{1}{\sin \alpha} \quad (6.6)$$

$T * \alpha = 0,09 \text{ мм.} = 90 \text{ мкм.}$  - допуск на зовнішній діаметр.

$$\varepsilon_{\delta} = 0,5 * 0,09 * \frac{1}{0,707} = 0,06364 \text{ мм.} \quad (6.7)$$

$$\varepsilon_3 = \left[ \left( K_{RZ} * RZ + \frac{K_{HB}}{HB} \right) + C_1 \right] * \left( \frac{Q}{19,6 * l} \right)^n$$

$$K_{RZ} = 0.005$$

$$RZ = 100$$

$$K_{HB} = 15$$

$$HB = 296$$

$$C_1 = 0.086 + \frac{8.4}{D_3} = 1,026 * 10^{-1} = 0,126 \text{ мм.}$$

$$Q = 48.06$$

$$l = 520$$

$$n = 0.7$$

$$\varepsilon_3 = \left[ \left( 0.005 * 100 + \frac{15}{296} \right) + 0.126 \right] * \left( \frac{48.06}{19.6 * 520} \right)^{0.7} = 0.016 \text{ мм}$$

					КНУ.КМР.131.24.1-09.06.ПТО	Арк.
Змн.	Арк.	№ докум.	Підпис	Дата		

Якщо прийняти що  $\varepsilon_{обр}$  й  $\varepsilon_{пр} = 0$ , то

$$\Sigma \varepsilon = \varepsilon_{yc} = \sqrt{0,06364^2 * 0,016^2} = 0,06562 \text{ мм}$$

$$\Sigma \varepsilon = 65,62 \text{ мкм}$$

$$Td = 80 \text{ мм}$$

$$\Sigma \varepsilon < Td$$

Умова виконана.

## 6.2 Проектування контрольного пристосування

Деталь, розглянута в роботі має поверхні, при неточному виготовленні яких змінюється її конструктивне призначення. Однієї з таких поверхонь призначена під посадку підшипника кочення (Ø160K6). Дана поверхня виготовляється по граничному відхиленню  $es=+0.028$  мм.,  $ei=+0.003$  мм., і шорсткість  $Ra=1.25$ .

Для контролю гладких циліндричних поверхонь у середньому й велико серійному виробництві використовуються листові скоби, які являють собою круглу пластину виїмку, що має. Виїмка має східчасту форму: одна частина є прохідний, а інша - непрохідний.

При контролі розмірів вала в прохідній частині скоби повинен проходити, а в непрохідній - не проходити в отвір скоби.

Прохідна й непрохідна частина скоби виготовляють як можна тонше й мають шорсткість  $Ra=0,8$ .

Отже, робимо конструювання листової робочої скоби для контролю гладкого циліндричного вала  $\text{Ø}160^{+0,028}_{+0,003}$ .

Мінімальний розмір вала

$$\alpha_{\min} = \alpha_H + ei = 160 + 0.003 = 160.003 \text{ мм.} \quad (6.8)$$

$$\alpha_{\max} = \alpha_H + es = 160 + 0.028 = 160.028 \text{ мм.} \quad (6.9)$$

максимальний розмір вала.

$$\alpha_1 = 0$$

$Z1=6$  мкм. – відхилення середини поля допуску прохідної робочої скоби від найбільшого розміру вала.

$B1=4$  мкм. – границя зношування прохідної робочої скоби від найбільшого розміру вала.

$H1=8$  мкм. – допуск на прохідну й непрохідну скобу.

$Hр=3,5$  мкм. - допуск на контрольний калібр.

Найменші припустимі розміри на виготовлення робітників прохідний, і непрохідний скоб і розмір зношеної скоби:

$$P-PP_{\min} = \alpha_{\max} - z1 - H1/2 = 160.028 - 0.006 - 0.008/2 = 160.018 \text{ мм.} \quad (6.10)$$

$$P-HE_{\min} = \alpha_{\min} + \alpha_1 - \frac{H_1}{2} = 160.003 + 0 - \frac{0.008}{2} = 159.999 \text{ мм.} \quad (6.11)$$

$$P-PP_{изм} = \alpha_{\max} + Y_1 - \alpha_1 = 160.028 + 0.004 - 0 = 160.032 \text{ мм.} \quad (6.12)$$

					КНУ.КМР.131.24.1-09.06.ПТО	Арк.
Змн.	Арк.	№ докум.	Підпис	Дата		

Найбільші припустимі розміри на виготовлення контрольних калібрів для скоб прохідний, непрохідний і зношений.

$$K - PP_{\max} = \alpha_{\max} - Z_1 + \frac{H_P}{2} = 160.028 - 0.006 + \frac{0.0035}{2} = 160.02375 \text{ мм.} \quad (6.13)$$

$$K - HE_{\max} = \alpha_{\max} + Y_1 - \alpha_1 + \frac{H_P}{2} = 160,028 + 0,004 - 0 + \frac{0.0035}{2} = 160,03375 \text{ мм.} \quad (6.14)$$

					КНУ.КМР.131.24.1-09.06.ПТО	Арк.
Змн.	Арк.	№ докум.	Підпис	Дата		

## 7 НАУКОВА ЧАСТИНА НА ТЕМУ: «ПІДВИЩЕННЯ ЕФЕКТИВНОСТІ РОТАЦІЙНОГО РІЗАННЯ ІНТЕНСИФІКАЦІЄЮ РЕЖИМІВ БУРІННЯ»

Збільшення продуктивності бурових установок пов'язане з інтенсифікацією режимів буріння, що, у свою чергу, обмежується вібраціями елементів бурової установки. Основним джерелом цих вібрацій є взаємодія бурового інструмента із забоем свердловини.

Під час роботи машини з ротаційним механізмом подачі (РМП) картриджного типу, крім поздовжніх і поперечних вібрацій, які визначають її стійкість, виникають крутильні вібрації. Параметри цих вібрацій здебільшого залежать від крутильної жорсткості шестигранного шпинделя та бурового штока, а також від електромеханічних характеристик приводу обертача. При цьому, якщо одна з власних частот динамічної системи приводу РМП близька або збігається з випадковою чи детермінованою частотою компонента спектра зовнішньої збурювальної дії, можуть виникати резонансні явища. Це призводить до зростання навантажень, виходу з ладу та передчасного зношування елементів металоконструкцій машини.

Щоб уникнути таких явищ, оператор бурової установки змушений працювати на ірраціональних режимах буріння, які знижують експлуатаційну продуктивність установки.

Довготривалі спостереження за роботою бурових установок у різних гірничо-геологічних та кліматичних умовах, а також низка досліджень і змін у коментарях, пропозиціях і побажаннях гірничих підприємств дозволили покращити конструкцію установок. Під час буріння вибухових свердловин у складних структурних масивах гірських порід однією з основних недоліків методу буріння за допомогою роликів конусів є збільшена вібрація бурового струни, що змушує операторів працювати в режимах, які нижчі за ті, що зазначені в паспорті установки.

Вібрація спричиняє утворення тріщин від втоми та руйнування конструктивних елементів, призводить до виходу з ладу обладнання, встановленого на рамі машини, має шкідливий вплив на обслуговуючий персонал та збільшує витрати на обслуговування машин. Зі збільшенням потужності до маси та динамічного навантаження приводу також зростають енергетичні втрати. При сильних вібраціях бурової установки частка енергії, що витрачається на створення корисного моменту, становить 30-50%. У результаті значна частина встановленої потужності приводу машини залишається не використаною.

Специфіка режимів роботи машини вимагає розглядати її привід не тільки як джерело механічної енергії, але й як елемент машини, який має вирішальний вплив на величину та характер сил, що діють у ньому, надійну та довговічну роботу в умовах, небезпечних для вібрацій.

					КНУ.КМР.131.24.1-09.07.НЧ		
Змн.	Арк.	№ докум.	Підпис	Дата	НАУКОВА ЧАСТИНА  Каф. ТМ, гр.ПМ-23м		
Розроб.	Ковалевський						
Перевір.	Пивінла						
Н. Контр.	Нечаєв						
Зав. каф.	Рязанцев						





Рисунок 7.1- Бурова установка СБШ-250МНА-32

Метою експериментальних досліджень машини СБШ-250МНА-32 з гідромеханічним обертачем, є:

а) визначення ефективності зменшення рівня вібрацій машини та динамічних навантажень у трансмісії обертача завдяки впровадженню коригуючої ланки;

б) перевірка працездатності та ефективності використання як коригуючої ланки гідравлічної машини з гідравлічними пневматичними акумуляторами, що працюють в режимі гальмування;

с) встановлення можливості інтенсифікації режимів буріння при використанні гідромеханічного обертача та визначення області раціональних робочих параметрів;

д) дослідження ефективності гідрофікованого ротаційно-подаючого механізму на основі гідромеханічного обертача;

е) оцінка впливу крутильних вібрацій трансмісії обертача на вертикальні вібрації машини;

ф) оцінка впливу введення динамічної коригуючої ланки в трансмісію обертача на довговічність інструмента.

Результатом експериментальних досліджень мають стати рекомендації щодо розрахунку та проектування обертачів і ротаційно-подаючих механізмів з динамічною коригуючою ланкою, а також вибору обсягів і зарядних тисків гідравлічно-пневматичних акумуляторів [12].

Для надійної оцінки ефективності та продуктивності використання гідромеханічного обертача програма досліджень передбачає тести в таких етапах:

Етап I. Підключення динамічної коригуючої ланки (гідравлічні машини з гідравлічно-пневматичними акумуляторами (Рис. 7.2).

Кінематична схема гідравлічного обертача (Рис. 7.2) включає електродвигун 1 (ДПВ-52), редуктор ( $Z = 40$ ,  $m = 3$ ), жорстко закріплений на його валу і з'єднаний через каркас 3 з сонячним колесом 4 ( $Z = 20$ ,  $m = 5$ ) диференціала, епіцикл 8 ( $Z = 82$ ,  $m = 5$ ), який жорстко з'єднаний з зубчастим

									Арк.
Змн.	Арк.	№ докум.	Підпис	Дата					



- струм привідного мотора;
- напруга привідного мотора;
- тиск в головці та зливних лініях гідравлічної машини;
- обертова швидкість бурового штанги або елемента трансмісії, що знаходиться в кінематичній мішені після планетарного редуктора;
- тиск в поршневих порожнинах гідравлічних циліндрів для подачі бурового штанги;
- швидкість подачі бурового штанга;
- довговічність роликів конусних бурів та характер зносу;
- продуктивність машини.

Усі вимірювання здійснюються за допомогою обладнання.

1. Реєстрація всіх параметрів проводиться за допомогою VIBXPERT II (Topaz і Quartz).

2. Електричні параметри привідного мотора вимірюються та реєструються за загальноприйнятими схемами без використання спеціальних датчиків.

3. Оберти бурової штанги (об/хв) та швидкість подачі вимірюються за допомогою VIBXPERT II (Topaz і Quartz). Тиски в основних лініях вимірюються за допомогою телеметричних датчиків тиску TMD-100, TMD-150, TMD-250. Прискорення на рамі машини вимірюються за допомогою датчиків VIBXPERT II (Topaz і Quartz) з комплектом обладнання для вимірювання вібрацій, що включає в себе вібраційний передатчик і епіграфічний вібраційний датчик.

Контроль зміни параметрів  $I_{ав}$ ,  $V_{ст}$ ,  $V_{ав}$ ,  $P_{ос}$  проводиться за допомогою шкальних вимірювальних приладів, встановлених в кабіні водія бурової установки, а після зміни тиску в лініях гідравлічної машини — за допомогою манометрів МН1, МН2, встановлених на гідравлічному блоці.

Змінні параметри під час експерименту:

- частота обертання стави. Діапазон зміни:  $50 \div 150$  об/хв;
- осьова сила. Діапазон зміни:  $10 \div 24$  тс;
- зарядний тиск гідравлічного акумулятора, встановленого в лінії високого тиску гідравлічної машини. Діапазон зміни:  $0,3 \div 0,9$  Рном.

Найбільшу кількість вимірювань слід проводити, коли швидкість обертання стави перевищує 100 об/хв, а осьовий тиск перевищує 20 тс, для надійного обґрунтування можливості буріння в примусових режимах.

Програма досліджень включає роботи, що виконуються в умовах заводу та відкритого кар'єра.

Наступні роботи виконуються в заводських (лабораторних) умовах:

- підготовка та калібрування телеметричних датчиків тиску, а також виготовлення відповідних гідравлічних арматур;
- статичне калібрування датчиків DUS-5 комплекту обладнання для вимірювання вібрацій VIBXPERT II (Topaz і Quartz);

					КНУ.КМР.131.24.1-09.07.НДЧ	Арк.
Змн.	Арк.	№ докум.	Підпис	Дата		



- встановлення та калібрування схем для вимірювання та реєстрації напруги і струму електричного мотора приводу обертача та швидкості подачі бурового штанга;
- калібрування VIBXPERT II (Topaz і Quartz) для вимірювання обертальної швидкості бурової штанги;
- розробка та виготовлення точок кріплення для VIBXPERT II (Topaz і Quartz) і датчиків DUS-5.

В умовах відкритого кар'єра на першому етапі випробувань передбачається виконання таких робіт:

- встановлення обертача та корпусу клапанів на машину СБШ-250МНА-32;
- підключення корпусу клапанів і гідравлічного мотора ІМР2.5 до гідросистеми машини;
- встановлення датчиків VIBXPERT II (Topaz і Quartz), датчиків прискорення та тиску;
- підключення вимірювального та реєструючого обладнання до електричної схеми панелі керування машини;
- перевірка та остаточне калібрування вимірювального та реєструючого обладнання.

Другий етап передбачає встановлення фланця блокування на проміжний вал трансмісії замість гідравлічного мотора ІМР2.5, тим самим фіксуючи проміжний вал нерухомо відносно корпусу обертача.

На кожному етапі, в одному з вибраних режимів проводяться вимірювання та реєстрація вібраційних параметрів відповідно до загальноприйнятої процедури.

Порядок експерименту:

1. Вимірювання та реєстрація параметрів під час буріння однієї свердловини проводяться:
  - під час буріння;
  - під час буріння з другим штоком;
  - наприкінці буріння на всю довжину стави.

2. Під час реєстрації одного виконання осцилограф реєструє в журналі спостережень контрольні показання шкальних вимірювальних приладів в кабіні водія та на гідравлічному блоці, а також продуктивність бурової установки.

Контрольний кластер свердловин був пробурений на відстані 7 м одна від одної, глибиною до 23 м по обкритому серпентиніту з азбестовими різаними. Буріння проводилося за допомогою пінових вібраційних бугів ТР-215.9.

Під час дослідження ефективності гідромеханічного обертача буріння здійснювалося в усьому діапазоні режимів, передбачених технічними характеристиками установки. Осьове навантаження підтримувалося в межах 6-14 т, що було оптимальним при бурінні 215,9 мм бурами в зазначених породах.

Швидкість обертання бурового інструмента варіювалася від 60 до 158 об/хв. Вимірювання вібрацій проводилися за допомогою комплексу обладнання для вимірювання вібрацій типу VIBXPERT II (Topaz і Quartz) або VI6-6TN

					КНУ.КМР.131.24.1-09.07.НДЧ	Арк.
Змн.	Арк.	№ докум.	Підпис	Дата		

Реєстрація змін тиску в падаючому механізмі та в лініях гідравлічної машини IMP2.5 проводилася за допомогою датчиків тиску типів TMD і TMG. Реєстрація числа обертів бурового штанга та двигуна здійснювалася за допомогою VIBXPERT II (Topaz і Quartz) типу TMG-Z0. Реєстрація показників датчиків проводилася на певних інтервалах глибини буріння на першому, другому та третьому штангах, що забезпечувало повну відповідність фізичних і механічних властивостей пробурених порід у всіх свердловинах на момент запису параметрів за допомогою осцилографа [13].

Під час випробувань було зафіксовано 24 режими, з яких 11 без гідравлічної машини з жорстко зафіксованим планетарним носієм, і 13 з гідравлічною машиною, вал якої з'єднаний з планетарним носієм, а лінії оснащені пневматичними акумуляторами.

Попередній аналіз VIBXPERT II (Topaz і Quartz), фрагменти яких показано на Рис. 3, 4, 5, показав, що при введенні гідравлічної машини обертача в трансмісію, в лініях якої були встановлені гідропневматичні акумулятори з заданими значеннями параметрів жорсткості та демпфування, природа зміни досліджуваних параметрів змінилася кардинально.

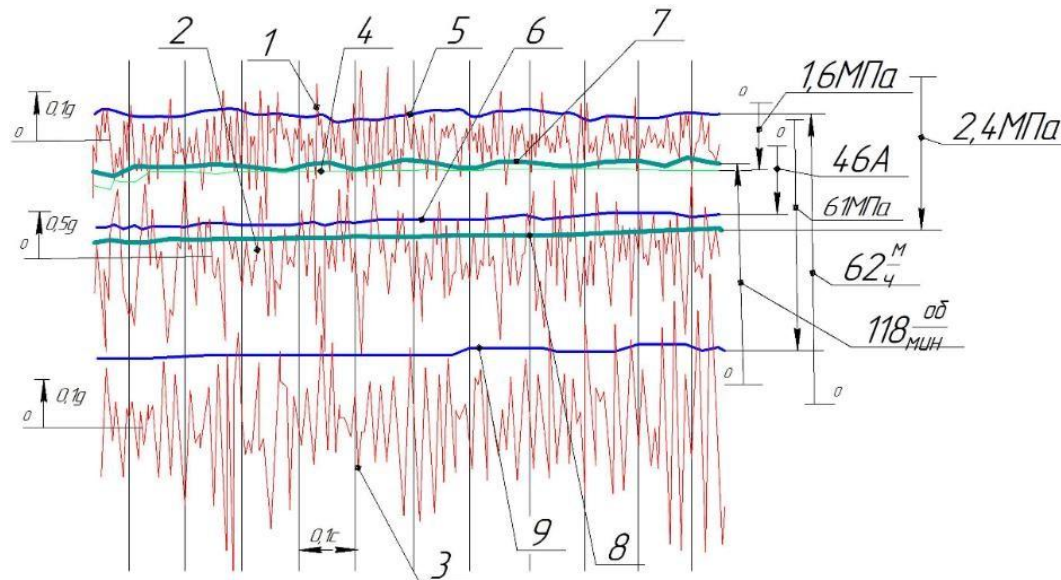


Рисунок 7.3- Робота бурової установки VIBXPERT II до встановлення гідромеханічного обертача: 1 - прискорення в горизонтальній площині (вздовж рами); 2 - прискорення у вертикальній площині; 3 - прискорення в горизонтальній площині (поперек рами); 4 - тиск в поршневій площині гідравлічного циліндра подачі; 5 - швидкість буріння; 6 - струм двигуна; 7 - швидкість обертання стави; 8 - тиск в лінії заповнення гідравлічної машини; 9 - тиск в лінії тиску гідравлічної машини.

										Арк.
Змн.	Арк.	№ докум.	Підпис	Дата	КНУ.КМР.131.24.1-09.07.НДЧ					

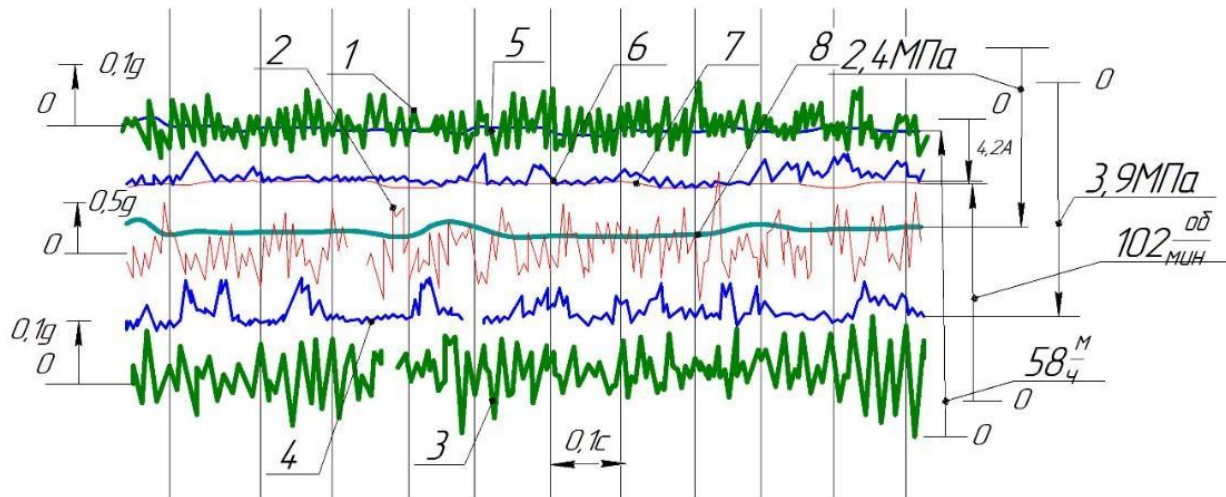


Рисунок 7.4-Робота бурової установки VIBXPERT II після встановлення гідромеханічного обертача: 1 - прискорення в горизонтальній площині (вздовж рами); 2 - прискорення у вертикальній площині; 3 - прискорення в горизонтальній площині (поперек рами); 4 - тиск у поршневій порожнині циліндрів подачі; 5 - швидкість буріння; 6 - струм двигуна; 7 - швидкість обертання стави; 8 - тиск у лінії заповнення гідравлічної машини.

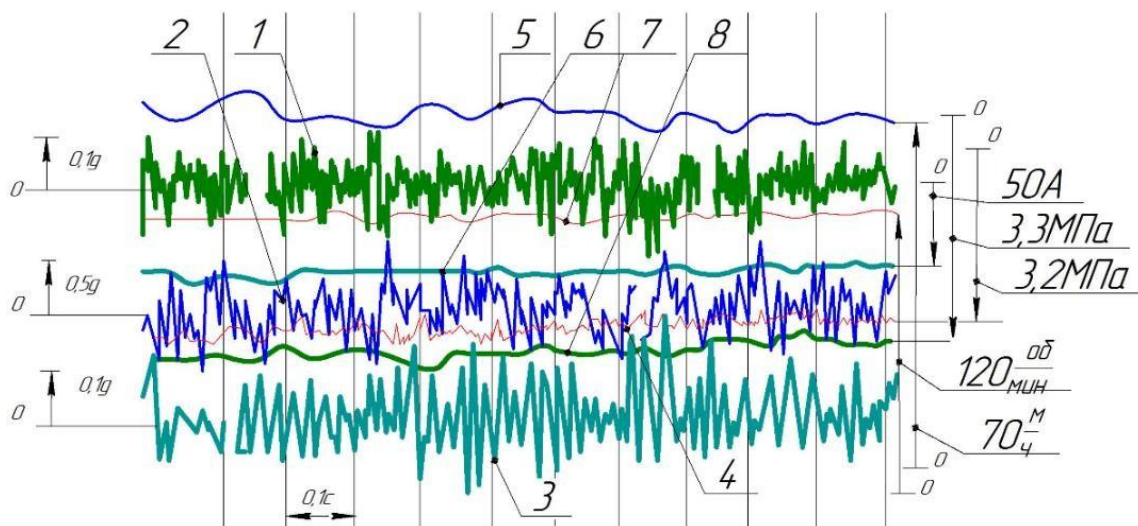


Рисунок 7.5-Робота бурової установки VIBXPERT II після встановлення гідромеханічного обертача: 1 - прискорення в горизонтальній площині (вздовж рами); 2 - прискорення у вертикальній площині; 3 - прискорення в горизонтальній площині (поперек рами); 4 - тиск у поршневій порожнині циліндрів подачі; 5 - швидкість буріння; 6 - струм двигуна; 7 - швидкість обертання стави; 8 - тиск у лінії заповнення гідравлічної машини.

Процес зміни вібраційних прискорень став більш випадковим, неперіодичним за своєю природою, а коливання виникають здебільшого через неоднорідність розробленого гірського масиву.

Максимальні значення вібраційного прискорення основи щогли у вертикальній площині  $Q_{\text{верт}}$  до встановлення гідравлічної машини становлять (Рис. 7.3)  $0.2 \div 0.9g$ ; при роботі з гідравлічною машиною (Рис. 7.5)  $0.2 \div 0.5g$  за однакового крутного моменту, що генерується електродвигуном, швидкості обертання та осьової сили бурового штанга.

									Арк.
Змн.	Арк.	№ докум.	Підпис	Дата					

Аналогічно, в горизонтальній площині (поперек рами машини) (Рис. 7.3), в першому випадку вони складають  $0.06 \div 0.27g$ , а в другому випадку  $0.04 \div 0.1g$ .

При роботі без гідравлічної машини вібрації з частотами 2, 6.4, 58 Гц в горизонтальній площині та 1.1, 2, 16, 71 Гц у вертикальній площині виражені чітко. При бурінні з гідравлічною машиною частоти 2 Гц у горизонтальній площині та 1.1 і 2 Гц у вертикальній площині відсутні, що дозволяє зробити висновок, що природна частота обертача зміщена до нижчого частотного діапазону завдяки введенню додаткової пружності і зменшенню реакції системи на збурювальні впливи в частотному діапазоні від 1 до 2 Гц.

Характерною є відносна зміна струму навантаження двигуна (крива 6) та тиску в лінії тиску гідравлічної машини (крива 9) до встановлення гідравлічної машини та тиску в лінії заповнення (крива 8) після її встановлення. Як струм збільшується, тиск зменшується, і навпаки, що пояснюється тим, що в момент збільшення навантаження на буровий шток і відповідного збільшення струму двигуна гідравлічна машина починає обертатися, що спричиняє зниження тиску в лінії заповнення. Частота зміни навантаження становить 1.8-2.6 Гц, що відповідає обертовій швидкості бурової штанги  $n_{ст}=108 \div 156$  об/хв. Водночас частота коливань швидкості буріння становить 5.4  $\div$  7.8 Гц, що відповідає трьом обертам бурової штанги, що спричинено рухом ріжучого елемента по трьохвильовому дні.

Таким чином, введення в механічну трансмісію ротора гнучкої динамічної ланки у вигляді гідравлічної машини з гідравлічно-пневматичними акумуляторами з регульованою жорсткістю в широкому діапазоні дозволило значно зменшити природну частоту приводу і, таким чином, реалізувати невідповідність між природними та збурювальними частотами. У результаті цього було досягнуто зменшення амплітуд вібраційних прискорень при тому ж навантаженні на електродвигун ротора на 25  $\div$  44% у вертикальній площині та на 33  $\div$  62% у горизонтальній площині.

					КНУ.КМР.131.24.1-09.07.НДЧ	Арк.
Змн.	Арк.	№ докум.	Підпис	Дата		

## ВИСНОВОК

Дана робота мала на меті проектування технологічного процесу виготовлення деталі шпindelь, який би підвищив ефективність виробництва в умовах ремонтних підприємств ГЗК .

Для визначення методу складання вузла був проведений конструкторський аналіз розмірних ланцюгів лінійних та кутових, визначена точність спряжених розмірів деталей .

Спроектвані заготовки поковка кована та прокат та рекомендований для підприємства прокат. Складений технологічний процес та розроблена документація. Використані CAD/CAM технології для підвищення продуктивності процесу складення керуючої програми на верстат з ЧПК.

Всі конструкторські розрахунки супроводжувались техніко – економічним аналізом для порівняння найбільш ефективних варіантів відносно базового на основі математичних програм.

Спроектване верстатне пристосування дозволить обробляти типові деталі.

В цілому проект реальний його розрахунки можуть бути впроваджені у виробництво.

					КНУ.КМР.131.24.1-09.В			
<i>Зм.</i>	<i>Арк.</i>	<i>№ докум.</i>	<i>Підпис</i>	<i>Дата</i>				
<i>Розроб.</i>		Ковалевський			ВИСНОВОК	<i>Літ.</i>	<i>Арк.</i>	<i>Аркушів</i>
<i>Перевір.</i>		Цивінда					1	1
<i>Т. Контр.</i>								
<i>Н. Контр.</i>		Нечаєв						
<i>Затверд.</i>		Рязанцев						
						Каф.ТМ, гр ПМ-23м		

## СПИСОК ВИКОРИСТАНИХ ДЖЕРЕЛ

1. ДСТУ 9078:2021 Підшипники кочення. Підшипники шарикові радіально-упорні однорядні. Типи і основні розміри.
2. <https://metinvest-smc.com/ru/products/krug/steel;st40kh/?srsltid=AfmBOoqOAzWIL005qyw5Rio4Y7eHzW8FNqXopL68JZpNuCWDG1Q13Mhl>
3. <https://polidecktech.com/all-catalogs/catalog-sandvik-coromant/>
4. С.Г. Бондаренко. Розмірні розрахунки механоскладального виробництва. – Київ, 1993.
5. Боженко, Л.І. Технологія виробництва заготовок у машинобудуванні [Текст] / Л.І. Боженко. – К.: НМК ВО, 1990. – 264 с.
6. ДСТУ 2974-95. Технологічне підготування виробництва. Основні терміни та визначення.
7. ДСТУ 2891-1994 Чавун для виливків. Терміни та визначення
8. ДСТУ 2232-93 Базування та бази в машинобудуванні. Терміни та визначення
9. Технологія обробки типових деталей (курсове проектування) Григурко О.І, Брендуля МФ., Доценко С.М, Навчальний посібник. Львів., Новий світ-2008, 576 с.
- 7.Кіяновський М.В., Цивінда Н.І., Цівко Ф.В. Довідник нормувальника машинобудівного виробництва. – Кривий Ріг: Видавничий центр КТУ, 2008
- 8.Кузнєцов Ю.М. Верстати з ЧПУ та верстатні комплекси. Частина 2.-К.-Тернопіль.ТОВ «ЗМОК» -ПП «Гнозіс», 2001.-298 с.
- 9.Руденко П.О. Проектування технологічних процесів у машинобудуванні. Навч. посібник - К.: Вища шк. 1993р. - 414с.
- 10.Залога В. О. Сучасні інструментальні матеріали у машинобудуванні Суми: СумДУ, 2013.
- 11.Сучасні методи аналізу технологічних процесів у машинобудуванні: [Текст] :
12. Кіяновський М.В., Цивінда Н.І. Електрофізичні та електрохімічні методи обробки поверхонь деталей у машинобудуванні: [навчальний посібник]. – Кривий Ріг: Видавничий центр КТУ, 2011.- 412с.Навчальний посібник / В.В. Душинський. – К.: ІСДО, 1994. – 216 с
13. Технологія машинобудування. Проектування технологічного спорядження: Посібник / Боженко Л.І.-Львів.Світ, 2001.-296 с.
- 14.Технологічна оснастка. Курс лекцій.: Навчальний посібник./Дичковський М.Г. – Херсон Олді – Плюс, 2008 – 328 с.
- 15.ДСТУ 3008:2015. Звіти у сфері науки і техніки. Структура та правила оформлювання

					КНУ.КМР.131.24.1-09.СВД		
Зм.	Арк.	№ докум.	Підпис	Дата			
Розроб.		Ковалевський			СПИСОК ВИКОРИСТАНИХ ДЖЕРЕЛ		
Перевір.		Цивінда					
Т. Контр.							
Н. Контр.		Нечаєв					
Затверд.		Рязанцев					
					Літ.	Арк.	Аркуші
						1	1
					Каф.ТМ, гр ПМ-23м		

МІНІСТЕРСТВО ОСВІТИ І НАУКИ УКРАЇНИ  
КРИВОРІЗЬКИЙ НАЦІОНАЛЬНИЙ УНІВЕРСИТЕТ  
ФАКУЛЬТЕТ МЕХАНІЧНОЇ ІНЖЕНЕРІЇ ТА ТРАНСПОРТУ  
КАФЕДРА ТЕХНОЛОГІЇ МАШИНОБУДУВАННЯ

**АЛЬБОМ КРЕСЛЕНЬ ТА ІНФОРМАЦІЙНО-ЗАСВІДЧУЮЧИХ АРКУШІВ**

до кваліфікаційної магістерської роботи

зі спеціальності 131 – Прикладна механіка

на тему: Підвищення ефективності виробництва вузлів опорних бурових верстатів за рахунок використання CAD/CAM технологій в проектуванні технологічного процесу виготовлення шпинделя.

Виконав магістрант гр. ПМ-23м

\_\_\_\_\_

(підпис)

Ковалевський А.В.

Керівник КМР

\_\_\_\_\_

(підпис)

Цивінда Н.І.

Нормоконтроль

\_\_\_\_\_

(підпис)

Нечаєв В.П.

Завідувач кафедри

\_\_\_\_\_

(підпис)

Рязанцев А.О.

Кривий Ріг  
2024 р.

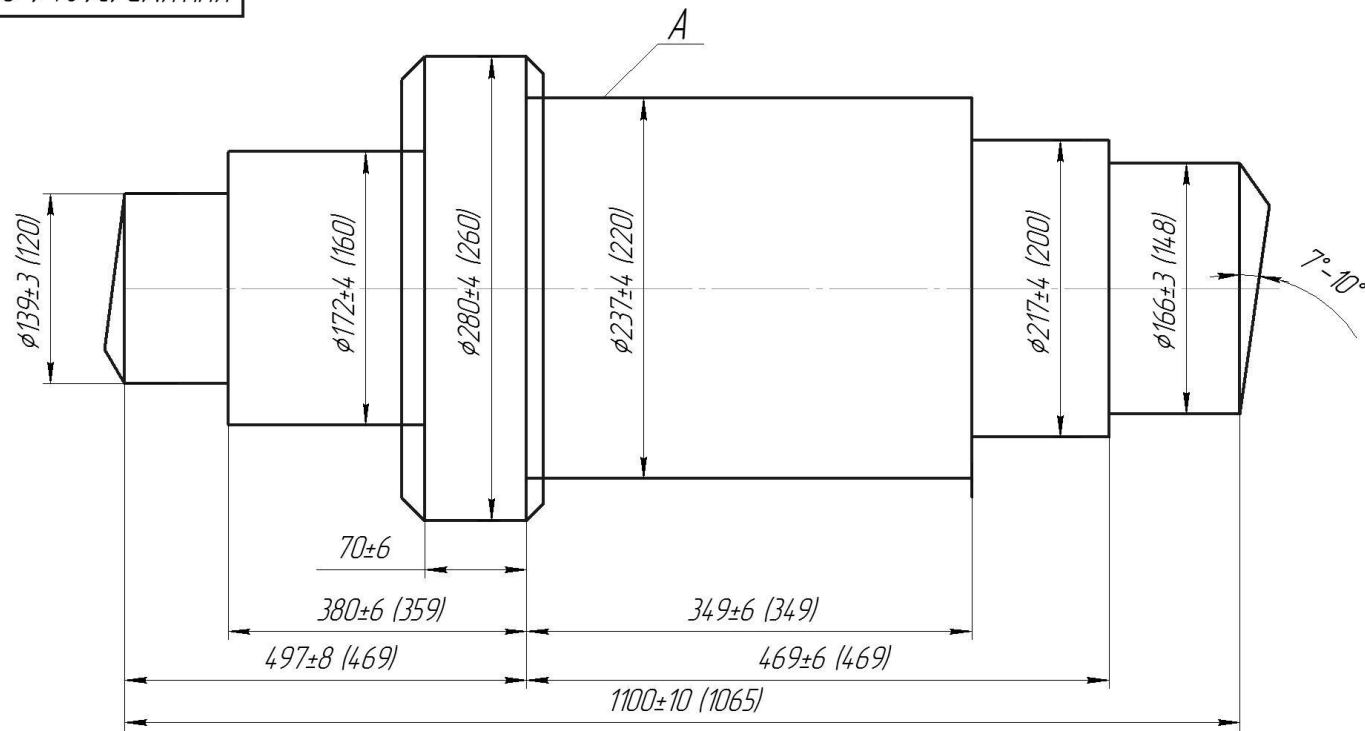






КНУ.КМР.131.24.1-09.ШП

√ Rz320



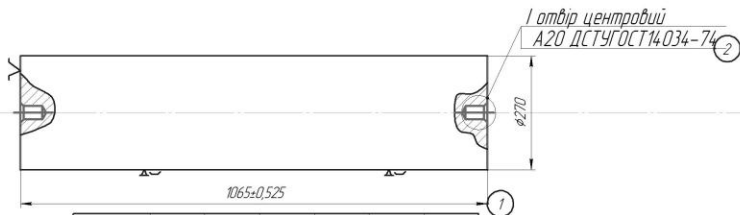
1. Можлива заміна сталі 40X на сталь 45X ДСТУ 7806:2015
2. Поверхню заготовки дробеструїть.
3. Поверхню заготовки відпалити до НВ 197.
4. Твердість заготовки виміряють на поверхні А.
5. На поверхні не допускаються раковини.
6. Контролювати 20% від партії.

Період, приміч.	
Спроба, №	
Підп. і дата	
Лист, №	
Взам. акт, №	
Підп. і дата	
Лист, №	

КНУ.КМР.131.24.1-09.ШП			
ШПИНДЕЛЬ (ПОКОВКА)		Лист	Масса
		Н	278.8
		Лист	1
		Листов	1
Сталь 40X ДСТУ 7806:2015		Каф. ТМ гр. ПМ-23М	
Копіював		Формат А3	

005 Фрезерно-центрувальна станок 2М942

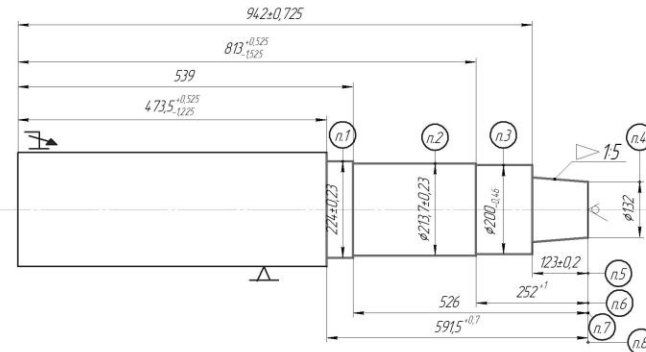
√ Ra25



Свердлили отб. 2	216	13,7	0,22	4,35	3,6	10
Фрезерувати пов. 1	37	20,4	0,12	50	15	2,84
Найменшання операци	$v_f, \text{ м/хв.}$	$v_b, \text{ м/хв.}$	$s, \text{ мм/об.}$	$n, \text{ об/хв.}$	$N_k, \text{ кВт.}$	$T_s, \text{ хв.}$

010 Токарна чорнава з ЧПК I - установка станок 16К20Ф3

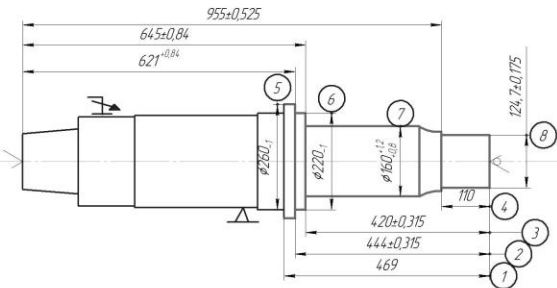
√ Ra25



Підрізання торців	22	0,5	0,8	10	8,8	0,45	20	3,6	2,016
Наружне точіння	22	0,5	0,8	10	8,8	0,9	20	3,6	3,315
Найменшання переходу	$v_f, \text{ м/хв.}$	$k_1$	$k_2$	$k_3$	$v_b, \text{ м/хв.}$	$s, \text{ мм/об.}$	$n, \text{ об/хв.}$	$N_k, \text{ кВт.}$	$T_s, \text{ хв.}$

010 Токарна чорнава з ЧПК II - установка станок 16К20Ф3

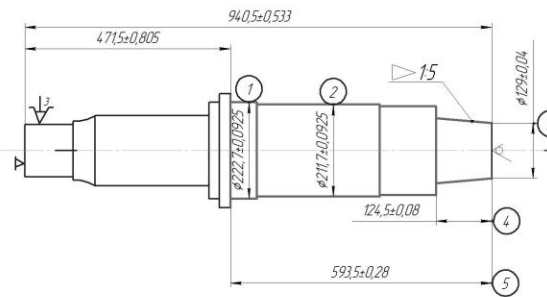
√ Ra25



Підрізання торців	22	0,5	0,8	10	8,8	0,45	20	3,6	0,26
Зовнішнє точіння 8,7,6,5	22	0,5	0,8	10	8,8	0,9	20	3,6	26,05
Найменшання переходу	$v_f, \text{ м/хв.}$	$k_1$	$k_2$	$k_3$	$v_b, \text{ м/хв.}$	$s, \text{ мм/об.}$	$n, \text{ об/хв.}$	$N_k, \text{ кВт.}$	$T_s, \text{ хв.}$

015 Токарна напівчистова з ЧПК станок 16К20Ф3

√ Ra25



Підрізання торців	25	0,5	1,0	1,0	12,5	0,7	25	0,5	33,5
Зовнішнє точіння	25	0,5	1,0	1,0	12,5	0,4	25	0,5	0,26
Найменшання операци	$v_f, \text{ м/хв.}$	$k_1$	$k_2$	$k_3$	$v_b, \text{ м/хв.}$	$s, \text{ мм/об.}$	$n, \text{ об/хв.}$	$N_k, \text{ кВт.}$	$T_s, \text{ хв.}$

Лист 1 з 1  
Лист 2 з 2  
Лист 3 з 3  
Лист 4 з 4  
Лист 5 з 5  
Лист 6 з 6  
Лист 7 з 7  
Лист 8 з 8  
Лист 9 з 9  
Лист 10 з 10  
Лист 11 з 11  
Лист 12 з 12  
Лист 13 з 13  
Лист 14 з 14  
Лист 15 з 15  
Лист 16 з 16  
Лист 17 з 17  
Лист 18 з 18  
Лист 19 з 19  
Лист 20 з 20  
Лист 21 з 21  
Лист 22 з 22  
Лист 23 з 23  
Лист 24 з 24  
Лист 25 з 25  
Лист 26 з 26  
Лист 27 з 27  
Лист 28 з 28  
Лист 29 з 29  
Лист 30 з 30  
Лист 31 з 31  
Лист 32 з 32  
Лист 33 з 33  
Лист 34 з 34  
Лист 35 з 35  
Лист 36 з 36  
Лист 37 з 37  
Лист 38 з 38  
Лист 39 з 39  
Лист 40 з 40  
Лист 41 з 41  
Лист 42 з 42  
Лист 43 з 43  
Лист 44 з 44  
Лист 45 з 45  
Лист 46 з 46  
Лист 47 з 47  
Лист 48 з 48  
Лист 49 з 49  
Лист 50 з 50  
Лист 51 з 51  
Лист 52 з 52  
Лист 53 з 53  
Лист 54 з 54  
Лист 55 з 55  
Лист 56 з 56  
Лист 57 з 57  
Лист 58 з 58  
Лист 59 з 59  
Лист 60 з 60  
Лист 61 з 61  
Лист 62 з 62  
Лист 63 з 63  
Лист 64 з 64  
Лист 65 з 65  
Лист 66 з 66  
Лист 67 з 67  
Лист 68 з 68  
Лист 69 з 69  
Лист 70 з 70  
Лист 71 з 71  
Лист 72 з 72  
Лист 73 з 73  
Лист 74 з 74  
Лист 75 з 75  
Лист 76 з 76  
Лист 77 з 77  
Лист 78 з 78  
Лист 79 з 79  
Лист 80 з 80  
Лист 81 з 81  
Лист 82 з 82  
Лист 83 з 83  
Лист 84 з 84  
Лист 85 з 85  
Лист 86 з 86  
Лист 87 з 87  
Лист 88 з 88  
Лист 89 з 89  
Лист 90 з 90  
Лист 91 з 91  
Лист 92 з 92  
Лист 93 з 93  
Лист 94 з 94  
Лист 95 з 95  
Лист 96 з 96  
Лист 97 з 97  
Лист 98 з 98  
Лист 99 з 99  
Лист 100 з 100

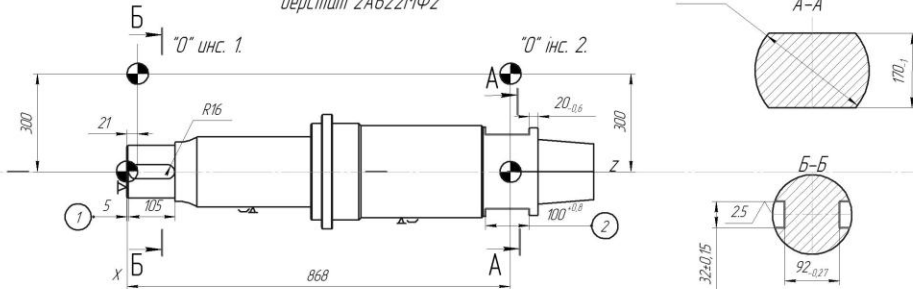
КНУ.МВР.131.24.1-09.0Е

Лист	Місяц	Рік
14		74

ОПЕРАЦІЙНИ ЕСКІЗИ

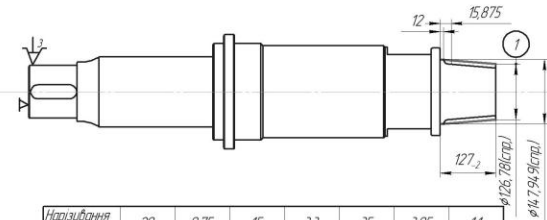
Код: 114  
Формат: А1

030 Свердлильно-фрезерно-розточувальна з ЧПК  
I - установка  
верстат 2А622МФ2



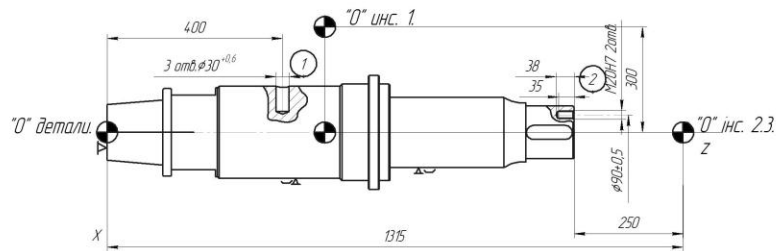
Фрезерування шпон. пазів:	22	11	0.55	1.15	15.3	0.15	155	1.2	0.6
лисак:	37	1.0	0.55	0.9	18.3	0.1	90	0.15	4.6
Найменування переходу:	$v_1$ , м/хв.	$k_1$	$k_2$	$k_3$	$v_6$ , м/хв.	$s$ , мм/об.	$n$ , об/хв.	$N_6$ , кВт.	$T_6$ , хв.

035 Токарна з ЧПК  
верстат 16К20Ф3



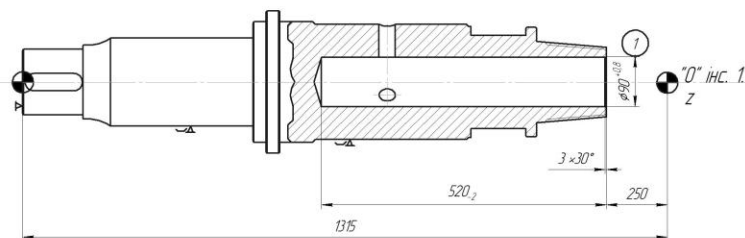
Нарізання різьблення:	20	0.75	15	3.3	35	3.95	11
Найменування переходу:	$v_1$ , м/хв.	$k_v$	$v_6$ , м/хв.	$s$ , мм/об.	$n$ , об/хв.	$N_6$ , кВт.	$T_6$ , мин.

030 Свердлильно-фрезерно-розточувальна з ЧПК  
II - установка  
верстат 2А622МФ2



M20	Нарезание резьбы:	7	0.7	$k_2$	$k_3$	4.9	0.5	156	0.5	0.77
	Сверлильная:	27.6	0.65	1.0	1.0	20.64	0.16	84.0	0.6	0.9
$\phi 30$	Сверлильная:	20.1	0.67	1.15	1.0	22.6	0.34	24.0	3.5	3.0
$\phi$ -р	Найменування переходу:	$v_1$ , м/хв.	$k_1$	-	-	$v_6$ , м/хв.	$s$ , мм/об.	$n$ , об/хв.	$N_6$ , кВт.	$T_6$ , хв.

040 Свердлильно-фрезерно-розточувальна з ЧПК  
верстат 2А622МФ2



Сверлильная отборка 1:	26	0.65	1.15	0.8	15.6	0.4	55	1.3	23.6
Найменування переходу:	$v_1$ , м/хв.	$k_1$	$k_2$	$k_3$	$v_6$ , м/хв.	$s$ , мм/об.	$n$ , об/хв.	$N_6$ , кВт.	$T_6$ , хв.

Лист 1 з 1  
Лист 2 з 2  
Лист 3 з 3  
Лист 4 з 4  
Лист 5 з 5  
Лист 6 з 6  
Лист 7 з 7  
Лист 8 з 8  
Лист 9 з 9  
Лист 10 з 10  
Лист 11 з 11  
Лист 12 з 12  
Лист 13 з 13  
Лист 14 з 14  
Лист 15 з 15  
Лист 16 з 16  
Лист 17 з 17  
Лист 18 з 18  
Лист 19 з 19  
Лист 20 з 20  
Лист 21 з 21  
Лист 22 з 22  
Лист 23 з 23  
Лист 24 з 24  
Лист 25 з 25  
Лист 26 з 26  
Лист 27 з 27  
Лист 28 з 28  
Лист 29 з 29  
Лист 30 з 30  
Лист 31 з 31  
Лист 32 з 32  
Лист 33 з 33  
Лист 34 з 34  
Лист 35 з 35  
Лист 36 з 36  
Лист 37 з 37  
Лист 38 з 38  
Лист 39 з 39  
Лист 40 з 40  
Лист 41 з 41  
Лист 42 з 42  
Лист 43 з 43  
Лист 44 з 44  
Лист 45 з 45  
Лист 46 з 46  
Лист 47 з 47  
Лист 48 з 48  
Лист 49 з 49  
Лист 50 з 50  
Лист 51 з 51  
Лист 52 з 52  
Лист 53 з 53  
Лист 54 з 54  
Лист 55 з 55  
Лист 56 з 56  
Лист 57 з 57  
Лист 58 з 58  
Лист 59 з 59  
Лист 60 з 60  
Лист 61 з 61  
Лист 62 з 62  
Лист 63 з 63  
Лист 64 з 64  
Лист 65 з 65  
Лист 66 з 66  
Лист 67 з 67  
Лист 68 з 68  
Лист 69 з 69  
Лист 70 з 70  
Лист 71 з 71  
Лист 72 з 72  
Лист 73 з 73  
Лист 74 з 74  
Лист 75 з 75  
Лист 76 з 76  
Лист 77 з 77  
Лист 78 з 78  
Лист 79 з 79  
Лист 80 з 80  
Лист 81 з 81  
Лист 82 з 82  
Лист 83 з 83  
Лист 84 з 84  
Лист 85 з 85  
Лист 86 з 86  
Лист 87 з 87  
Лист 88 з 88  
Лист 89 з 89  
Лист 90 з 90  
Лист 91 з 91  
Лист 92 з 92  
Лист 93 з 93  
Лист 94 з 94  
Лист 95 з 95  
Лист 96 з 96  
Лист 97 з 97  
Лист 98 з 98  
Лист 99 з 99  
Лист 100 з 100

КНУ.КМР.131.24.1-09.0Е

Лист	Маса	Масштаб
14		
ОПЕРАЦІЙНИ ЕСКІЗИ		
Код: 114		
до ПМ-23М		
Формат: А1		

Корисний





Рис. 1 Новий проект



Рис. 2 Нова деталь



Рис. 3 Вид з нахилом осі



Рис. 4 Тип заготовки

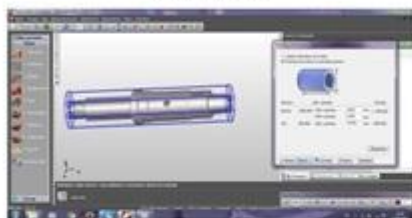


Рис. 5 Розкріт заготовки



Рис. 6 Елемент торця



Рис. 7 Розкріт торця

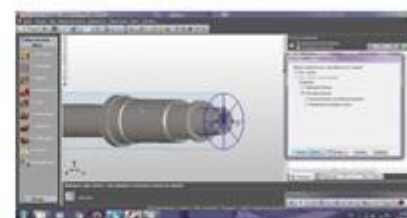


Рис. 8 Стратегія підготовки торця



Рис. 9 Розкріт підготовки торця



Рис. 10 Сторони кривої



Рис. 11 Криві на поверхні обробки



Рис. 12 Об'єднані криві

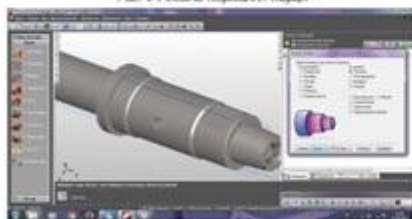


Рис. 13 Елемент поверхні

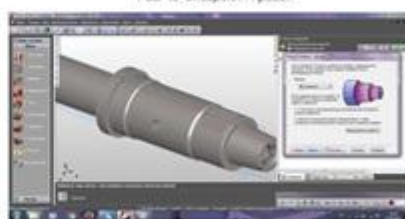


Рис. 14 Елемент кривої

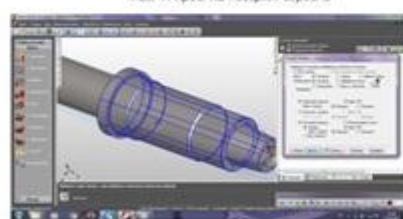


Рис. 15 Стратегія обробки

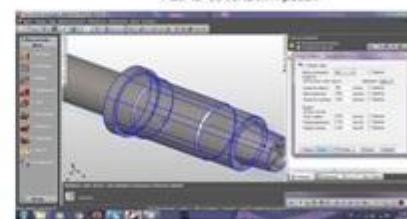


Рис. 16 Розкріт розкріт



Рис. 17 Підготовка торця



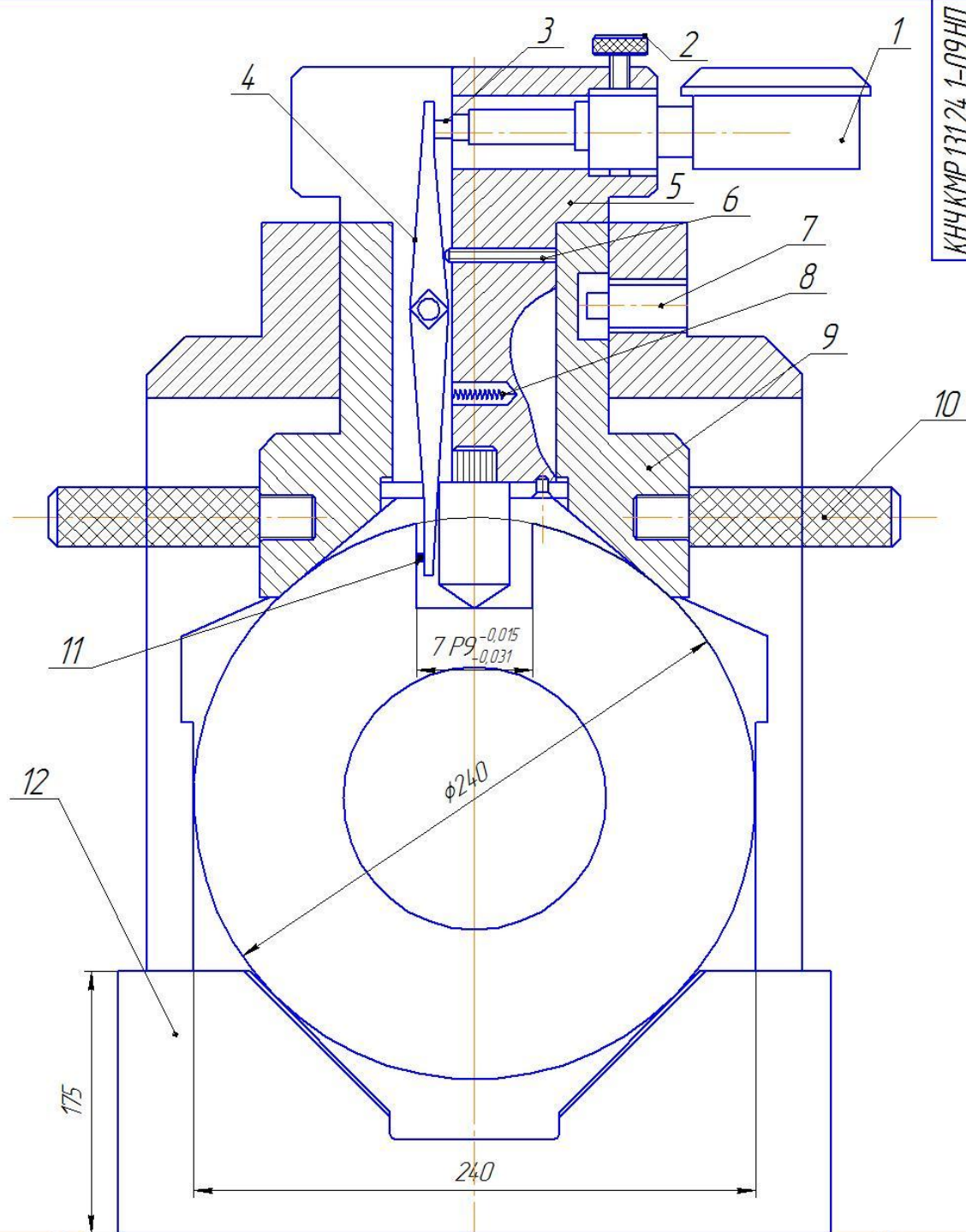
Рис. 18 Чисельне позначення циліндричної поверхні



Рис. 19 Чисельне позначення поверхні



КНУ.КМР.13124.1-09.НП



Лист прорис.  
Сараб. №

Лист и дата  
Изм. № листа  
Изм. № докум.  
Лист и дата  
Изм. № листа

				<b>КНУ.КМР.13124.1-09.НП</b>			
Изм.	Лист	№ докум.	Подп.	Дата	Лит.	Масса	Масштаб
Разраб.		Кабалевський			Н		2:1
Проб.		Цибінда			Лист 1 / Листов 1		
Т.контр.					Каф. ТМ гр.ГМ-23М		
Н.контр.		Нечасів			Формат А3		
Утв.		Рязанцев			Копировал		